

2023.08.25 「新版RC設計規範之精進內容與程式介紹」(高雄場)研討會

主辦單位：中華民國結構技師公會全國聯合會、台南市結構工程技師公會  
、高雄市結構工程技師公會、台灣省結構工程技師公會

# 我國鋼筋混凝土梁柱接頭耐震 設計細則之修訂

with contribution of NCREE, RuenTex, and YunTech



李宏仁

國立雲林科技大學 教授兼研發長  
美國ACI 318J 接頭委員會委員  
土木401規範委員會委員

Supported by

 **NSTC** 國家科學及技術委員會  
National Science and Technology Council

 **YunTech** 國立雲林科技大學  
National Yunlin University of Science & Technology



# 簡報大綱



- 我國規範修訂之背景說明
- 接頭最小深度 (土木401-112 18.5.2)
- 接頭橫向鋼筋 (土木401-112 18.5.3)
- 接頭剪力強度 (土木401-112 18.5.4)
- 受拉錨定長度 (土木401-112 18.5.5)
- 結語



[土木401-112]

# 混凝土工程設計規範與解說

與新版國家「建築物混凝土結構設計規範」

內容一致 同步發行



中國土木水利工程學會 編著



中國土木水利工程學會 混凝土工程委員會

## 混凝土工程設計規範與解說

(土木 401-112)

引用本規範條文為工程契約文件時，應充分瞭解工程與本規範之適用性，針對工程特性妥訂特別條款

### 設計規範編審小組

王承順	王勇智	王炤烈
王韡蒨	吳子良	李宏仁
李姿瑩	兼幹事 李翼安	兼幹事 林佳蓁
林炳昌	邱建國	柯鎮洋
洪崇展	胡銘煌	兼幹事 翁樸文
耿益民	高健章	張大鵬
陳式毅	陳君弢	陳清泉
彭康瑜	黃然	黃世建
黃炳勳	詹文宗	詹穎雯
廖文正	廖肇昌	劉光晏
召集人 歐昱辰	蔣啟恆	鄭敏元
兼幹事 蕭輔沛	顏聖益	(按姓氏筆劃序)

中華民國一一二年八月

## 目錄

- 第一章 總則
- 第二章 符號與名詞定義
- 第三章 參考標準
- 第四章 結構系統要求
- 第五章 載重
- 第六章 結構分析
- 第七章 單向版
- 第八章 雙向版
- 第九章 梁
- 第十章 柱
- 第十一章 牆
- 第十二章 橫隔板
- 第十三章 基礎
- 第十四章 純混凝土
- 第十五章 梁柱與版柱接頭
- 第十六章 構材間之接合部
- 第十七章 混凝土結構用錨栓
- 第十八章 耐震結構物
- 第十九章 混凝土：設計與耐久性要求
- 第二十章 鋼筋性質、耐久性及埋置物
- 第二十一章 強度折減因數
- 第二十二章 斷面強度
- 第二十三章 壓拉桿方法
- 第二十四章 使用性要求
- 第二十五章 鋼筋細節
- 第二十六章 設計圖說及檢驗

土木401-110年4月初版

土木401-112年8月

內政部審議後修訂版

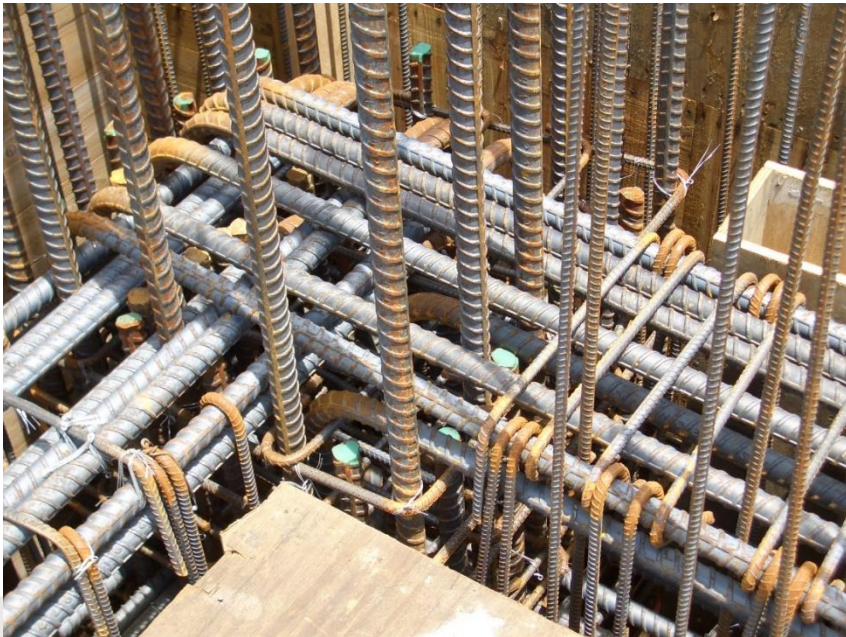
內政部審議後修訂部頒版112  
年下旬公告113.1.1起實施





# 背景

- 我國RC設計規範以美國ACI 318規範為藍本更新
  - 大樓慣用特殊抗彎構架SMF或二元系統
  - 地處強震區、地質條件不佳、地震力效應大
  - 建築師和消費者偏好較結實、緊湊的梁柱斷面
- = RC構造鋼筋密度高導致組裝立和澆置困難，品質=?





# 美日紐陸陸續開放490~550 MPa等級鋼筋作為耐震結構用主要鋼筋

規範	耐震構架抵抗軸力、彎矩之縱向鋼筋設計降伏強度最大值 $f_y$
日本AIJ規範 (2010)	490 MPa (更高強度要特別認可)
紐西蘭NZS規範 (2006)	500 MPa
美國ACI規範 (2019)	550 MPa (2014版前為420 MPa)
我國新版混凝土結構設計規範 (2021→2023)	550 MPa (現行規範為420 MPa)

註：此表是耐震抗彎矩構架梁柱縱向主筋之最高設計降伏強度等級  
橫向圍束箍筋之降伏強度等級為690 MPa。



# 簡報大綱

- 我國規範修訂之背景說明

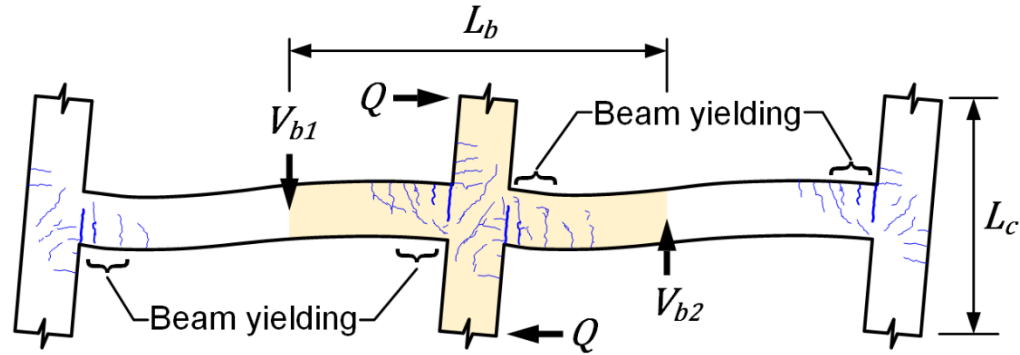


- 接頭最小深度 (土木401-112 18.5.2)
- 接頭橫向鋼筋 (土木401-112 18.5.3)
- 接頭剪力強度 (土木401-112 18.5.4)
- 受拉錨定長度 (土木401-112 18.5.5)
- 結語



# 特殊抗彎矩構架之接頭

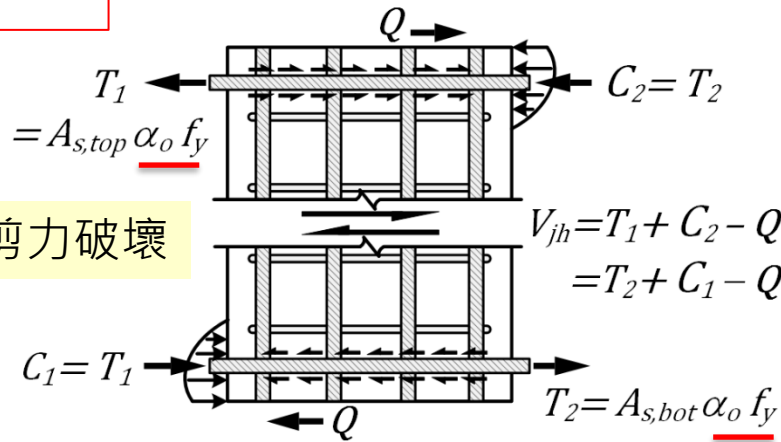
M.C.E. 作用下



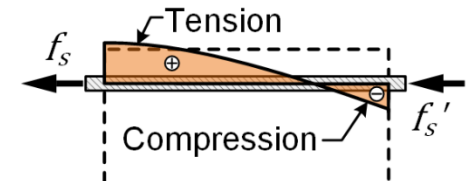
(a) Isolated beam-column unit of a moment-resisting frame

## @18.5.2.1

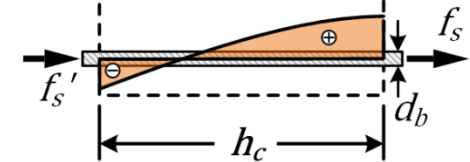
梁縱向鋼筋於接頭面之力，應假設撓曲拉力鋼筋應力為  $1.25f_y$  計算之。



高剪力可能導致剪力破壞



握裹劣化可能導致鋼筋滑移



(b) Horizontal forces acting on an interior joint (c) Stresses along beam bars



# Joint damage in prior earthquakes

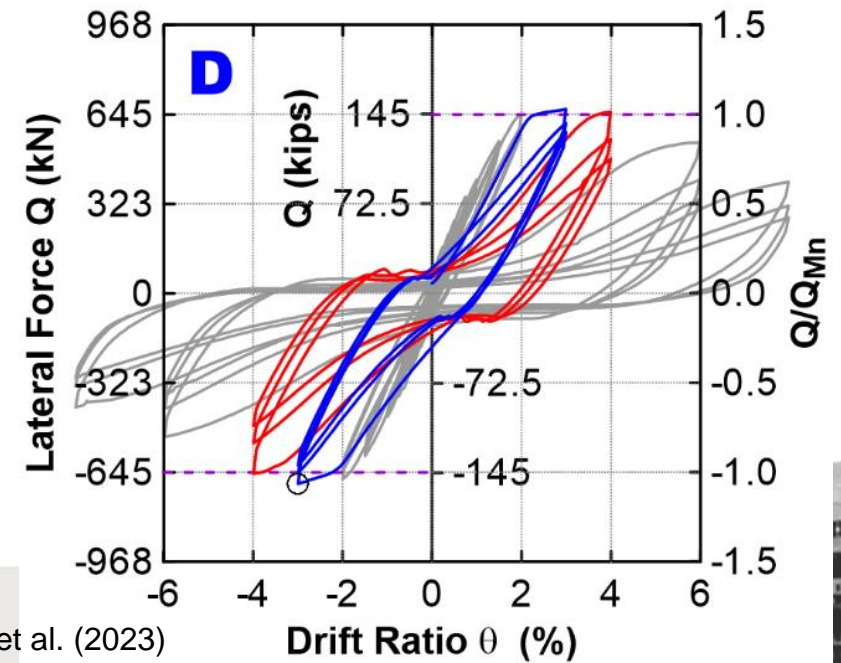
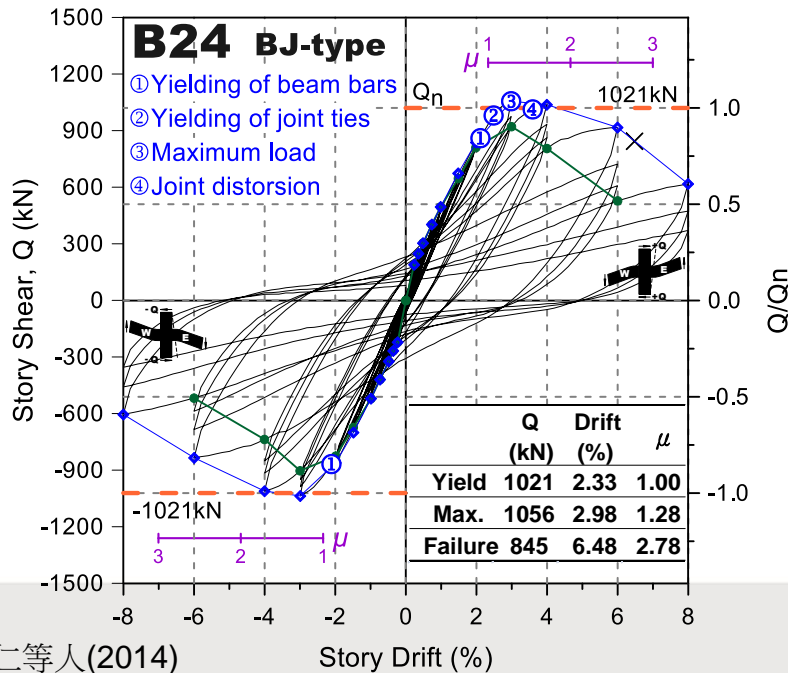
1999 Chi-Chi earthquake, Touliu



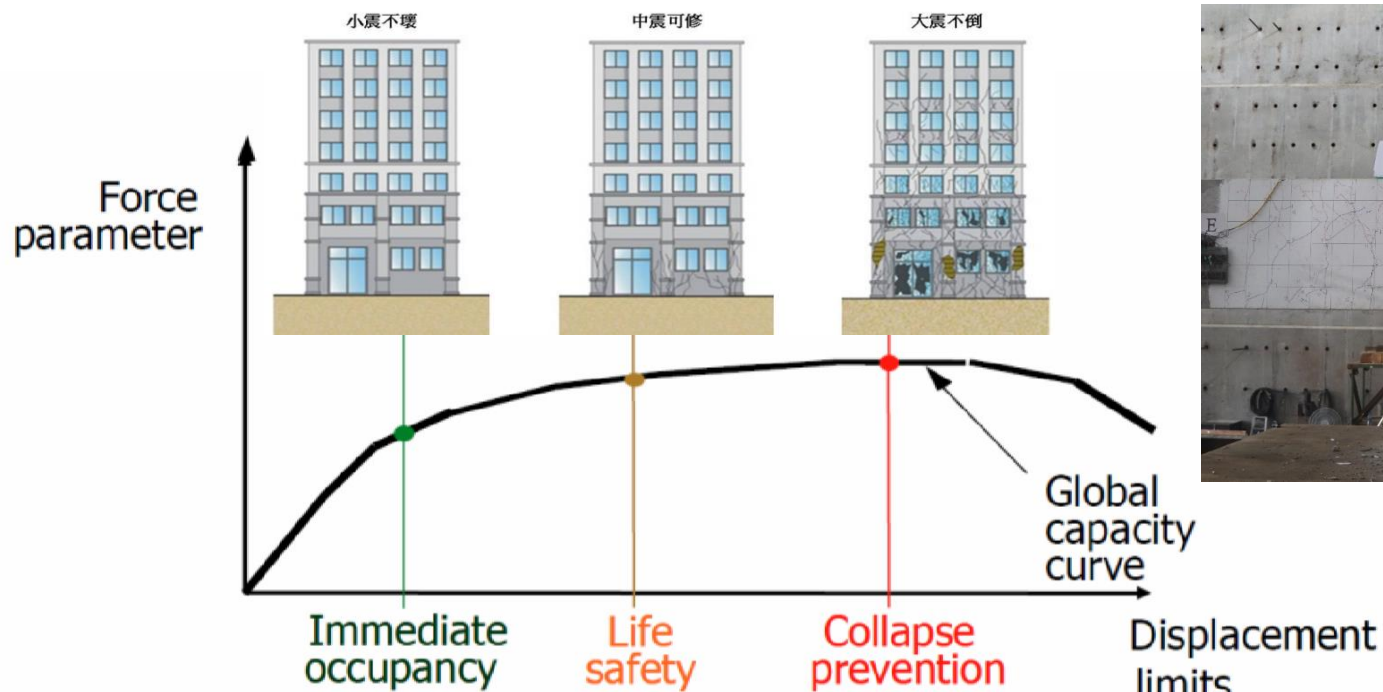
Collapse



# Beam yielding with Joint Shear or Bond Failure

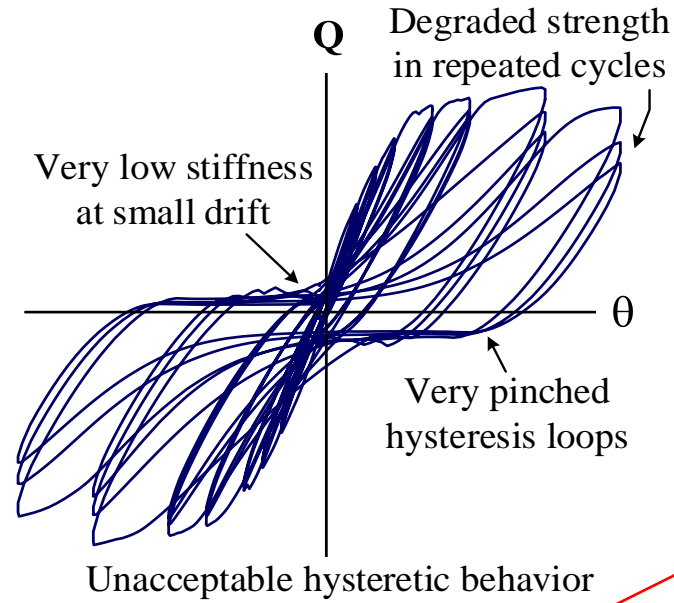
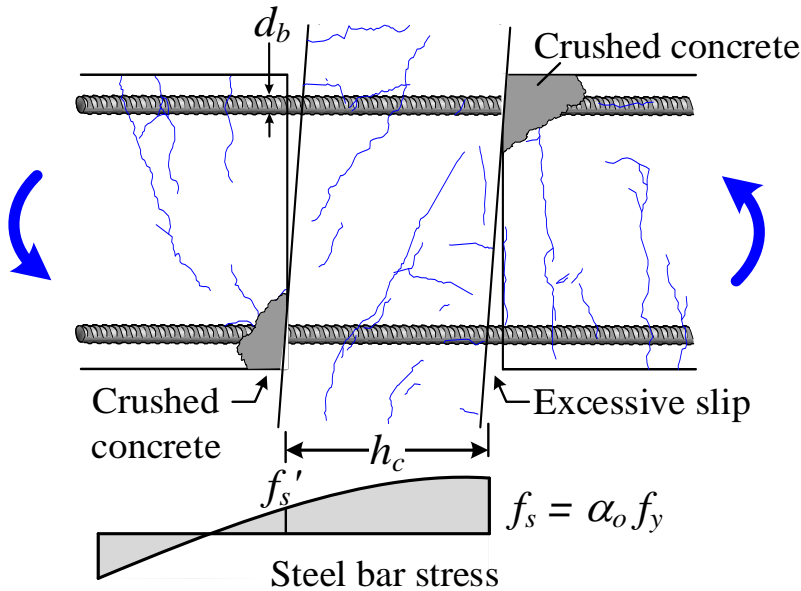


# 應在2%, 3%, or 4% drift 內避免握裹破壞否？

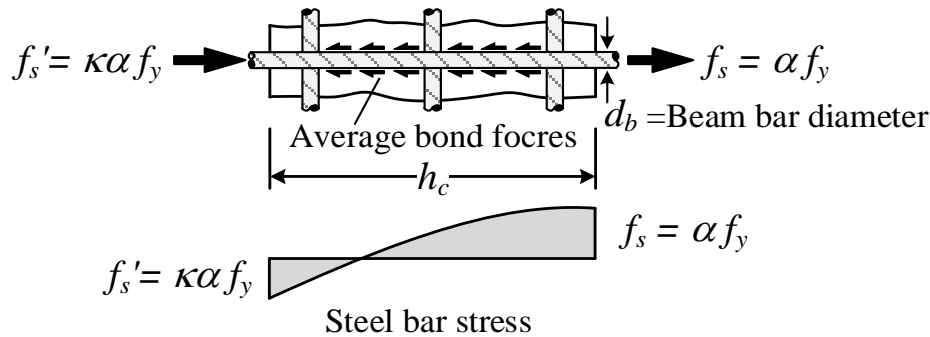




# 梁主筋貫穿接頭握裹破壞



Average bond strength



$$\pi d_b h_c * \alpha_p u_b \geq \frac{\pi d_b^2}{4} (\alpha f_y + \kappa \alpha f_y)$$

移項

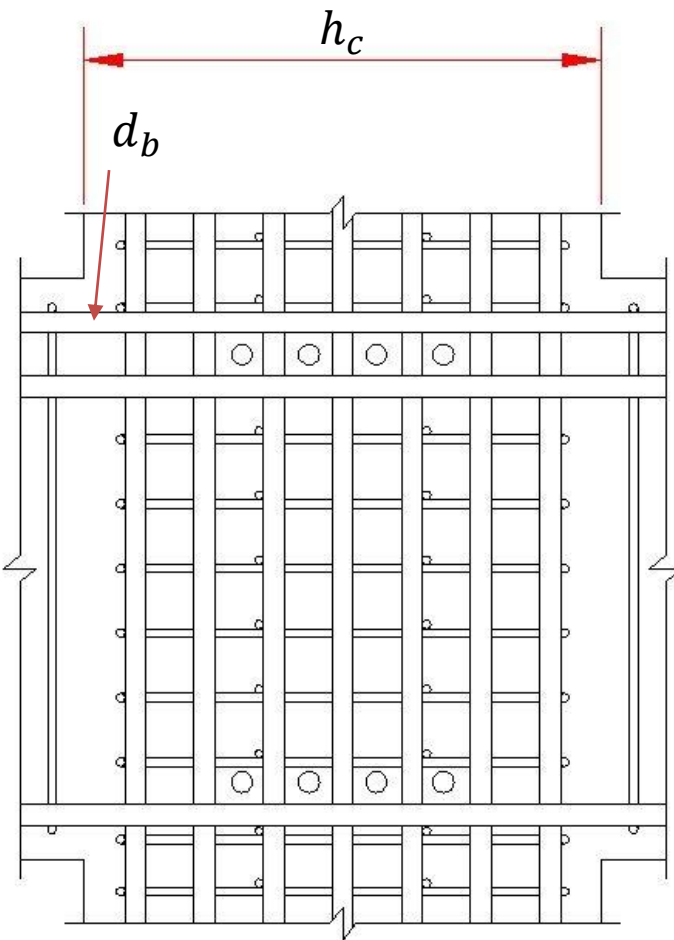
$$h_c \geq \frac{(\alpha + \kappa \alpha)}{4 \alpha_p u_b} f_y d_b \approx \alpha_3 \frac{f_y}{\sqrt{f_c'}} d_b$$

係數與混凝土抗張強度、圍束條件有關

# SMF梁主筋貫穿接頭之最小柱深

18.5.2.3 當縱向梁鋼筋貫穿梁柱接頭時，若使用常重混凝土，則平行於梁縱向鋼筋方向之接頭深度 $h_c$ 應至少為...

$$h_c \geq \max \left\{ \begin{array}{l} 20d_b (SD420W), 23d_b (SD490W), 26d_b (SD550W) \\ h_b/2 \end{array} \right.$$



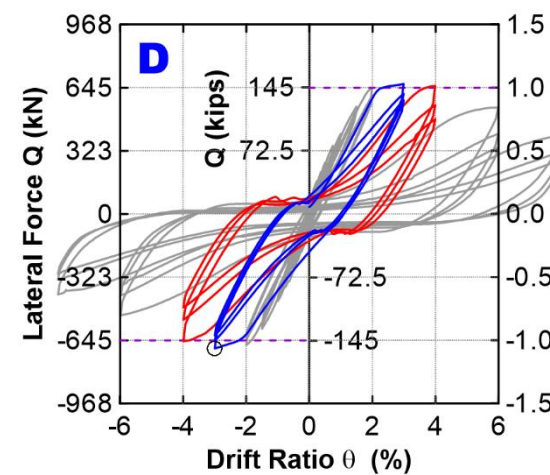
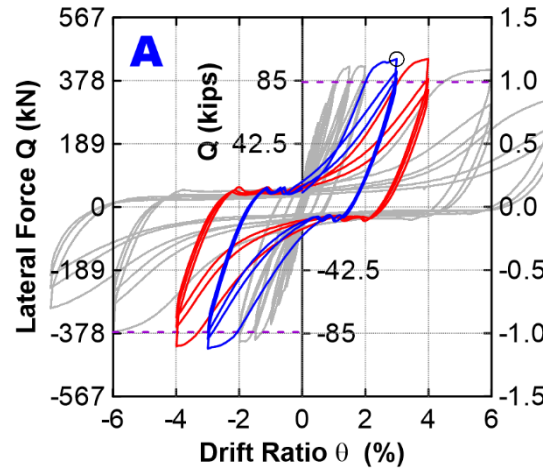
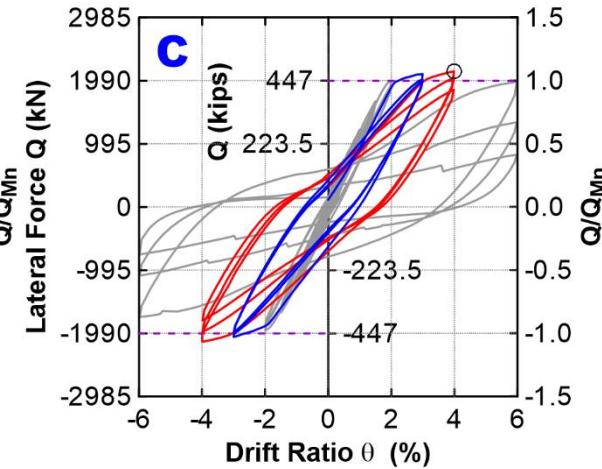
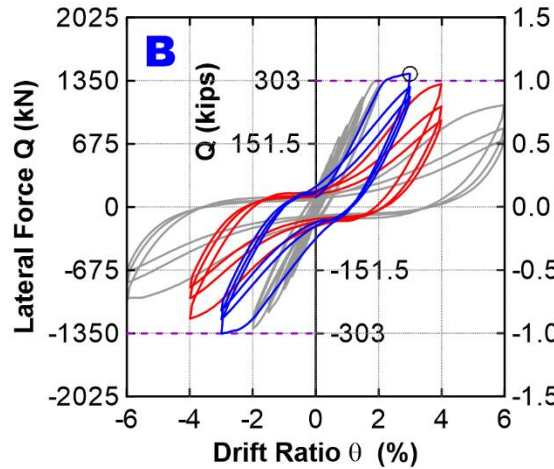
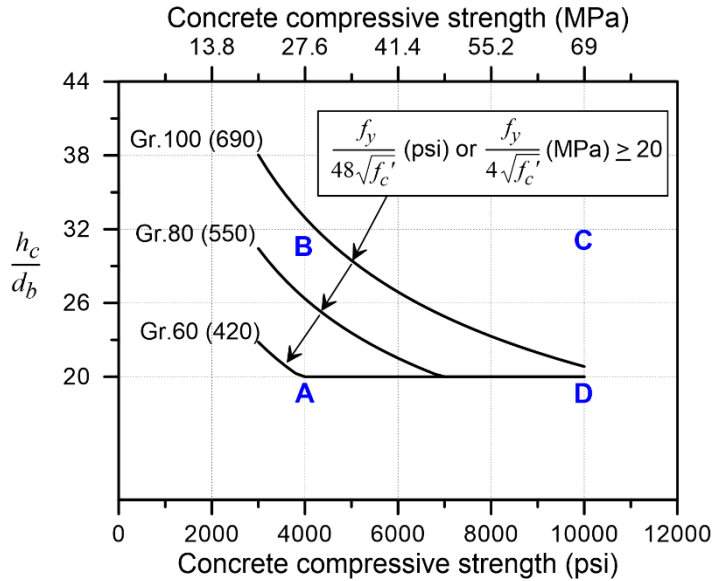
ACI code criterion

$f_y$ psi	$f'_c$ psi	$h_c = \frac{1}{48} \frac{f_y}{\sqrt{f'_c}} d_b$
60,000	4000	20
70,000	4000	23
80,000	4000	26

Since 1992, ACI Code require SMF joint with  $h_c \geq 20d_b$ . This requirement is aimed at limiting bar slip in joints subjected to interstory drift demands of up to 3% without requiring excessively large and uneconomical columns, but it does not prevent bar slip.

此一準則當初是依據 Zhu and Jirsa (1983) 整理的 60 ksi 級鋼筋和普通強度混凝土接頭試驗資料庫的。並未考慮軸力及高強度混凝土之效益。

# 台美合作最新實驗研究之建議



Eq.3

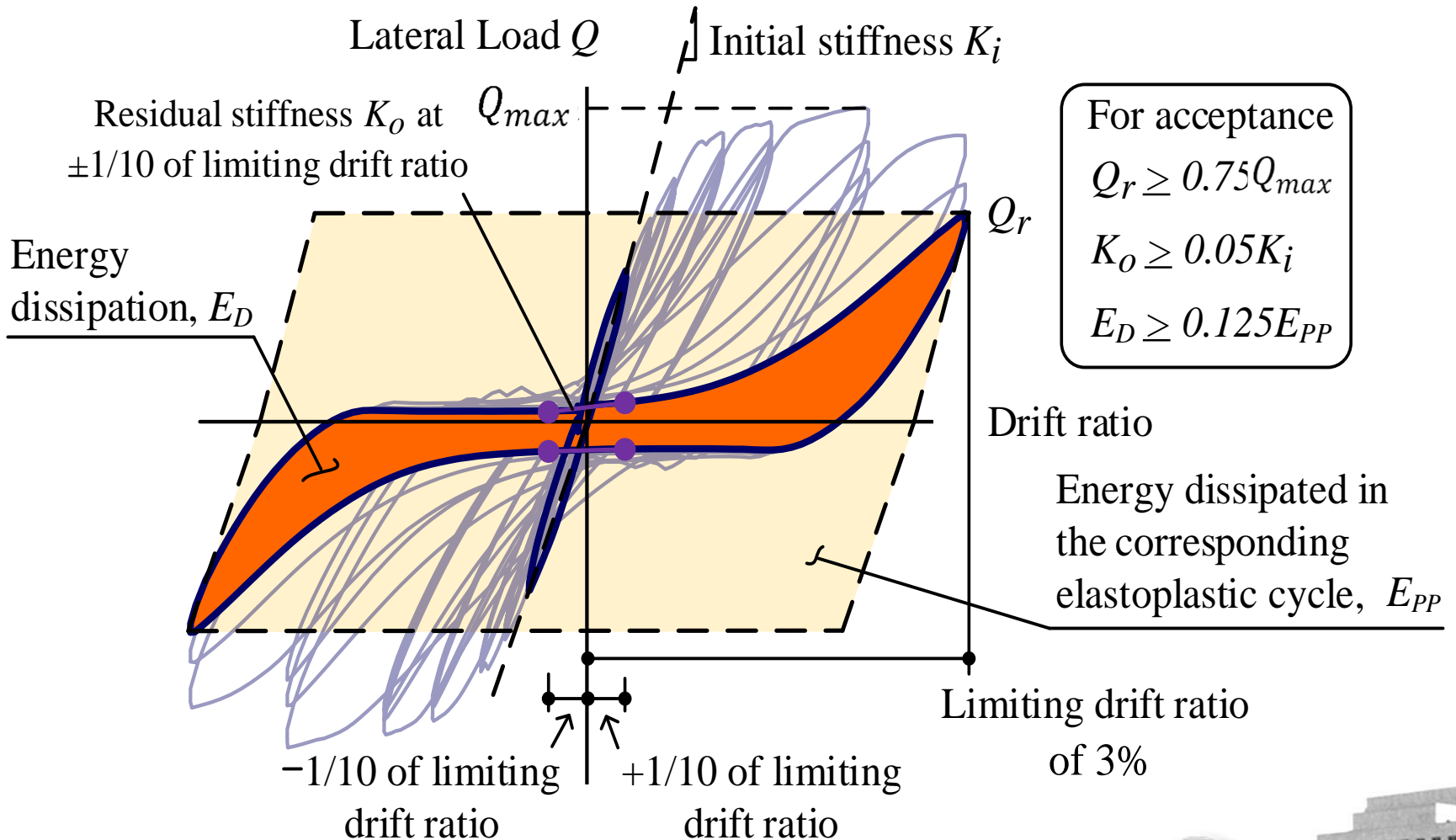
$$h_c = \frac{1}{48} \frac{f_y}{\sqrt{f'_c}} d_b \quad (\text{psi unit})$$

不能排除3% drift cycle 出現握裹滑移，但何種程度的損壞可接受呢？

Lee, H.-J.; Lequesne, R.; Lepage, A.; Lin, J.-X.; Wang, J.-C.; Yin, S. Y.-L., Minimum Joint Depth for Special Moment Frames with High-Strength Reinforcement. *ACI Structural Journal* **2023**, 120, (1), 225-239.



# Acceptance criteria for testing components of special moment frames in ACI 374.1-05

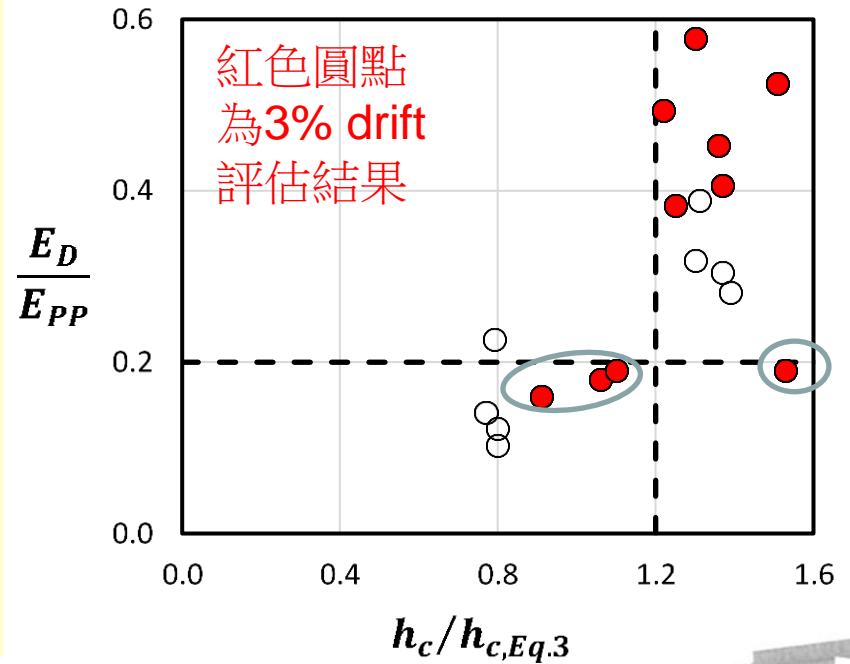
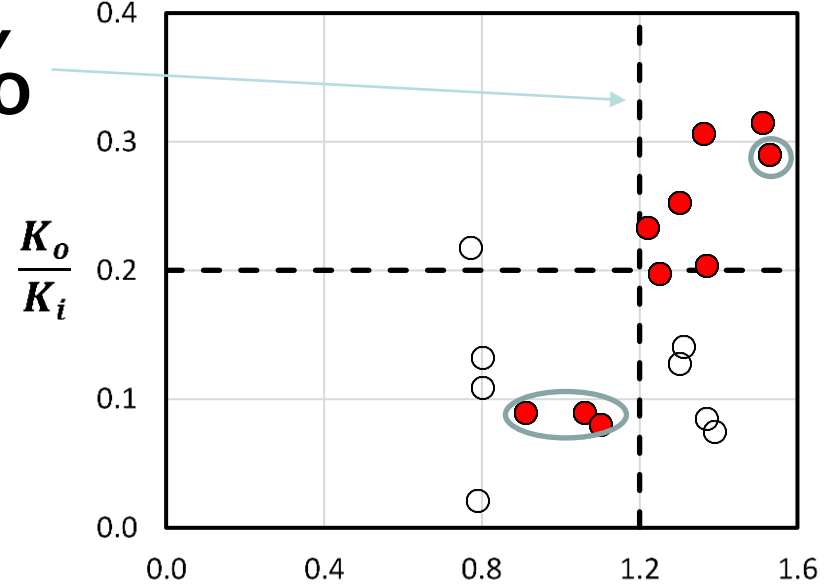
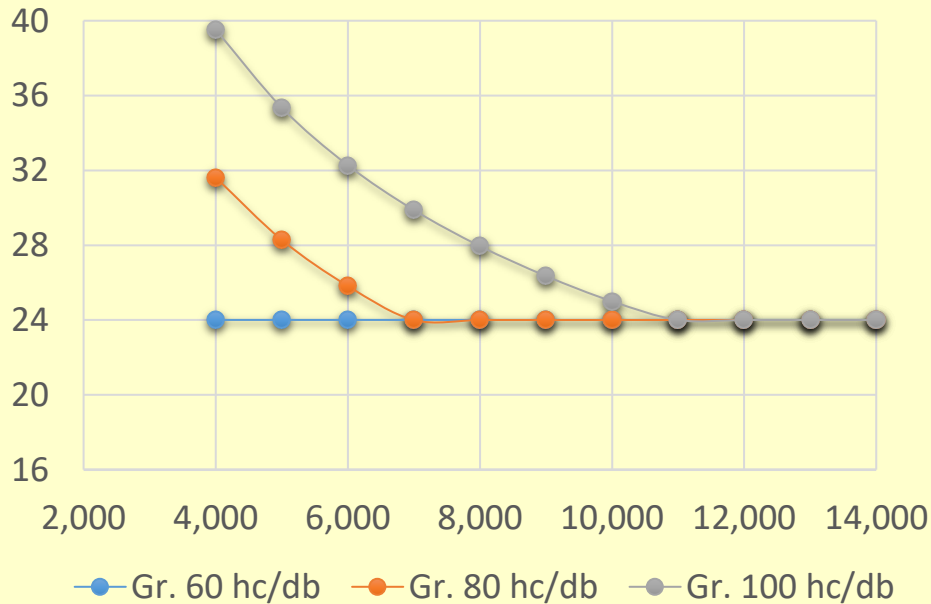


# 研究建議提高20%

$$h_c = \frac{1}{40} \frac{f_y}{\sqrt{f'_c}} d_b \geq 24d_b \quad (\text{psi unit})$$

$$h_c = \frac{1}{10.6} \frac{f_y}{\sqrt{f'_c}} d_b \geq 24d_b \quad (\text{kgf/cm}^2 \text{ unit})$$

Minimum Joint Depth



# 簡報大綱

- 我國規範修訂之背景說明
- 接頭最小深度 (土木401-112 18.5.2)
- ➡ • 接頭橫向鋼筋 (土木401-112 18.5.3)
- 接頭剪力強度 (土木401-112 18.5.4)
- 受拉錨定長度 (土木401-112 18.5.5)
- 結語



# 特殊抗彎矩構架之接頭橫向鋼筋(18.5.3)

## 18.5.3 橫向鋼筋

**18.5.3.1** 除第18.5.3.2節之規定所允許外，接頭在最深構入梁深度 $h$ 之範圍內橫向鋼筋須符合第18.4.5.2節(a)至(e)之規定、第18.4.5.3節、表18.4.5.4(a)(b)或(d)(e)、與第18.4.5.7節之規定。

參閱下三頁投影片，修正部分細則與ACI 318規範不同

## ACI 318-19

### 18.8.3 *Transverse reinforcement*

**18.8.3.1** Joint transverse reinforcement shall satisfy 18.7.5.2, 18.7.5.3, 18.7.5.4, and 18.7.5.7, except as permitted in 18.8.3.2.

用量和細節直接比照柱端橫向鋼筋規定，除非四面有橫向梁圍束作用時，用量得減半





# SMF 柱橫向鋼筋

@18.4.5.5  
 $S_2 \leq \min \left\{ 6d_b \text{ or } 5d_b \text{ (SD550W)} \right.$   
 $\left. 15 \text{ cm} \right.$

@18.4.5.1

$$\ell_o \geq \max \begin{cases} C_1 \\ H_n/6 \\ 45 \text{ cm} \end{cases}$$

@18.4.5.3

$$S_{1,3} \leq \min \begin{cases} C_2/4 \\ 6d_b \text{ or } 5d_b \text{ (SD550W)} \\ s_o = 10 + \frac{(35 - h_x)}{3} \leq 15 \text{ cm} \end{cases}$$

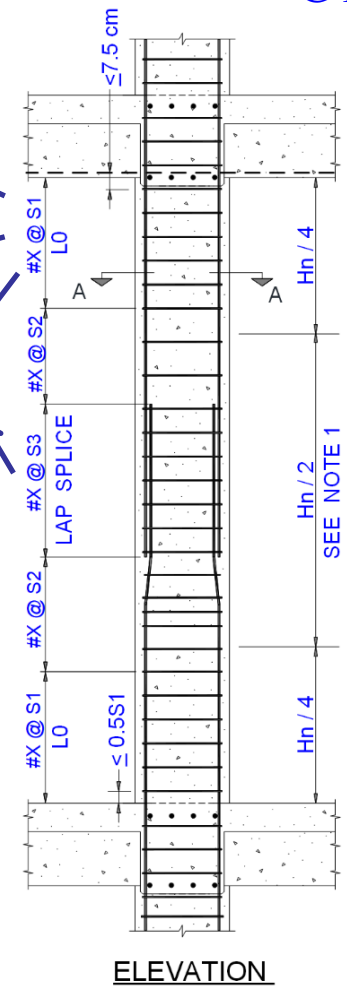
@18.4.5.4

$$\frac{A_{sh}}{sb_c} \geq \max \begin{cases} 0.09 \frac{f'_c}{f_{yt}} \\ 0.3 \frac{f'_c}{f_{yt}} \left( \frac{A_g}{A_{ch}} - 1 \right) \\ \boxed{0.2k_f k_n \frac{P_u}{f_{yt} A_{ch}}} \end{cases}$$

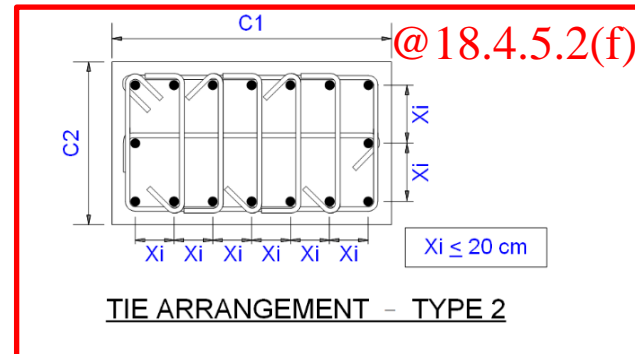
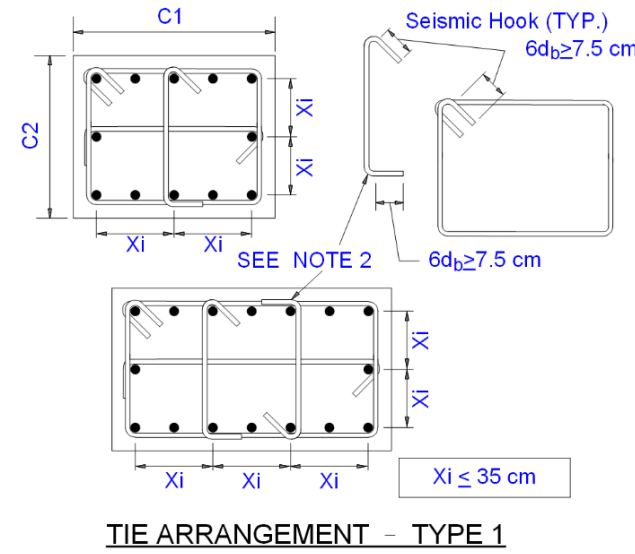
@18.4.5.4(c)

$$k_f = \frac{f'_c}{1750} + 0.6 \geq 1.0 \quad k_n = \frac{n_l}{n_l - 2}$$

where  $f_{yt} \leq 7000 \text{ kgf/cm}^2$



@18.4.5.2(a)~(e)



@18.4.5.2(f)

## SPECIAL MOMENT FRAME COLUMN DETAIL

Crossties with one seismic hook and one 90-degree hook are still permitted for  $f'_c > 700 \text{ kgf/cm}^2$  or  $P_u > 0.3A_g f'_c$

# 塑鉸區橫向鋼筋細節(18.4.5.2)

橫向鋼筋須符合(a)至(f)之規定：

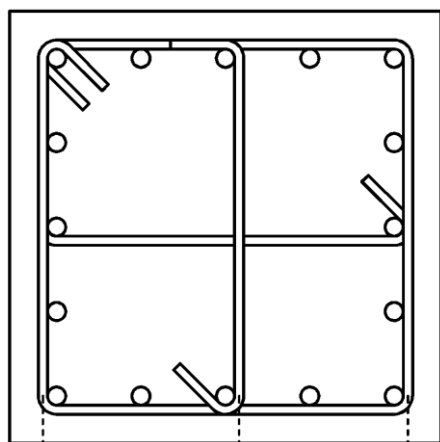
(a) 略

...

(f) 在  $P_u > 0.3A_g f'_c$  或  $f'_c > 700 \text{ kgf/cm}^2$  之直線型閉合箍筋柱，沿柱核心周邊之每一縱向鋼筋或束筋應有閉合箍筋轉角或繫筋彎轉段所提供之側向支撐，且  $h_x$  之值應不超過 20 cm。  $P_u$  應為含  $E$  之因數化載重組合所得之最大應力。

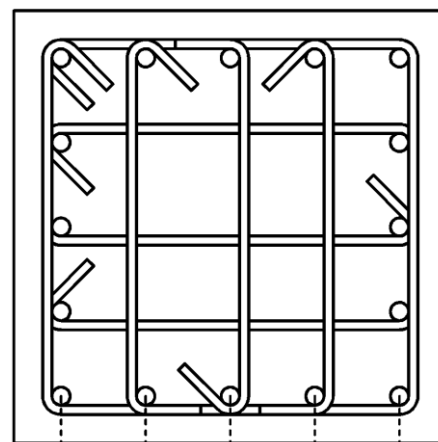
(f) 不適用接頭

土木401-  
100規範



$x_i$        $x_i$

$x_i \leq 35 \text{ cm}$



$x_i$     $x_i$     $x_i$     $x_i$

$x_i \leq 20 \text{ cm}$

土木401-  
110規範

ACI 318規範對較高軸力或高強度混凝土之柱，採取較嚴格的規定，不僅增加柱箍筋量，並要求以耐震彎鉤圍繞每一根縱向鋼筋。此規定源自於柱塑鉸變形能力至少0.03弧度之性能要求。然而梁柱接頭並無0.03弧度塑性轉角之需求，且以我國施工條件，梁柱接頭難執行ACI 318-19較嚴格之規定。建議回到我國現有規範標準。透過實驗及資料庫驗證，梁柱接頭毋須再提高箍筋量。

# 塑鉸區橫向鋼筋用量(18.4.5.4)

表18.4.5.4

橫向鋼筋	條件	適用表達式		
直線型閉合箍筋之 $A_{sh}/sb_c$	$P_u \leq 0.3A_g f'_c$ 與 $f'_c \leq 700 \text{ kgf/cm}^2$	(a)與(b)之較大值	$0.3 \left( \frac{A_g}{A_{ch}} - 1 \right) \frac{f'_c}{f_{yt}}$	(a)
			$0.09 \frac{f'_c}{f_{yt}}$	(b)
	$P_u > 0.3A_g f'_c$ 或 $f'_c > 700 \text{ kgf/cm}^2$	(a)、(b)與(c)之最大值	$0.2k_f k_n \frac{P_u}{f_{yt} A_{ch}}$	(c)
螺箍筋或圓形閉合 箍筋 $\rho_s$	$P_u \leq 0.3A_g f'_c$ 與 $f'_c \leq 700 \text{ kgf/cm}^2$	(d)與(e)之較大值	$0.45 \left( \frac{A_g}{A_{ch}} - 1 \right) \frac{f'_c}{f_{yt}}$	(d)
			$0.12 \frac{f'_c}{f_{yt}}$	(e)
	$P_u > 0.3A_g f'_c$ 或 $f'_c > 700 \text{ kgf/cm}^2$	(d)、(e)與(f)之最大值	$0.35k_f \frac{P_u}{f_{yt} A_{ch}}$	(f)

混凝土強度係數  $k_f$        $k_f = \frac{f'_c}{1750} + 0.6 \geq 1.0$

圍束有效係數  $k_n$        $k_n = \frac{n_l}{n_l - 2}$        $n_l =$  縱向鋼筋受閉合箍筋轉角或  
耐震彎鉤側向支撐之數目

(c)(f)不適用接頭

後面有實驗證明

# 橫向鋼筋用量與間距可放寬之條件

	土木401-100 規範(15.6.2.2)	土木 401-110 規範(18.5.3.2)
橫向鋼筋用量減半之條件	接頭四面皆有構材構入，且每一構材寬度最少為柱寬度之3/4，則柱在接頭處最淺構材之深度範圍內，可配置較少之橫向鋼筋，惟其量至少應為第15.5.4.1節規定量之半。上述之深度範圍內，第15.5.4.2節規定之間距得增至15 cm。	若構入接頭的梁連續或符合15.2.7節，且梁寬度至少為柱寬度之3/4，則在該構入梁接頭兩側較淺梁深度 $h$ 之範圍內依表18.4.5.4 (a)(b)或(d)(e)規定平行該構入梁方向之鋼筋量應可減半，且依第18.4.5.3節規定之間距允許增至15 cm。(18.5.3.2)

接頭一雙對面受圍束時，經實驗證明平行該梁方向之箍筋量可減半，不減損其耐震性能。建議將箍筋量減半分成XY兩方向獨立考慮，這是基於我方之研究成果。

## ACI 318-19

### 18.8.3 Transverse reinforcement

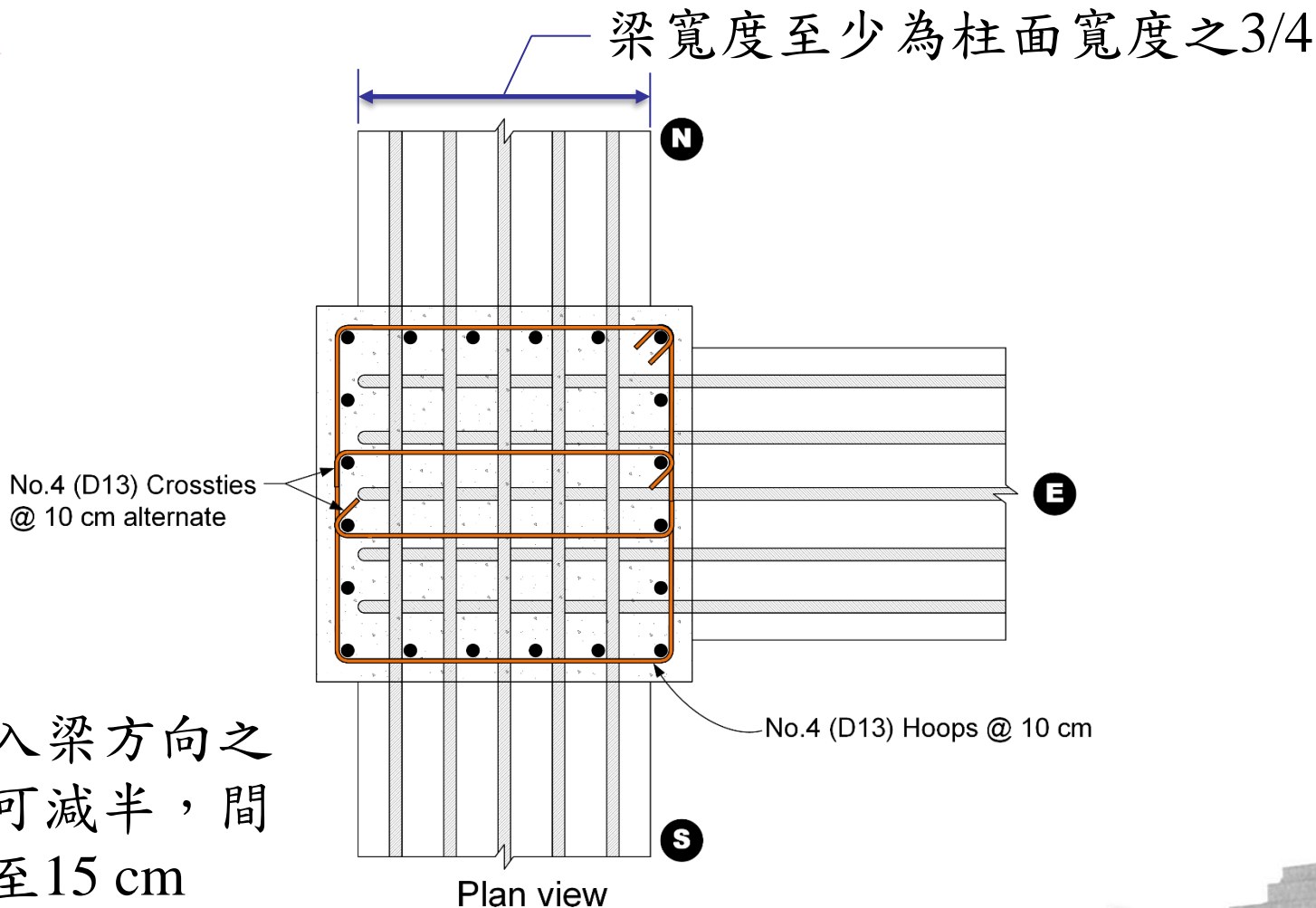
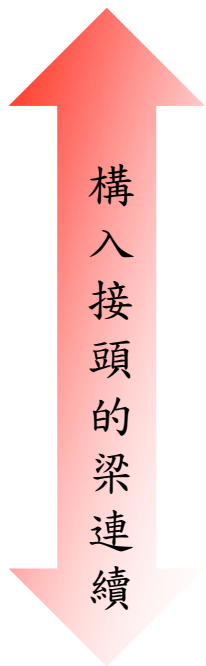
...

**18.8.3.2** Where beams frame into all four sides of the joint and where each beam width is at least three-fourths the column width, the amount of reinforcement required by 18.7.5.4 shall be permitted to be reduced by one-half, and the spacing required by 18.7.5.3 shall be permitted to be increased to 6 in. within the overall depth  $h$  of the shallowest framing beam.



# 橫向鋼筋用量減半之示意圖

梁寬度至少為柱面寬度之 $\frac{3}{4}$

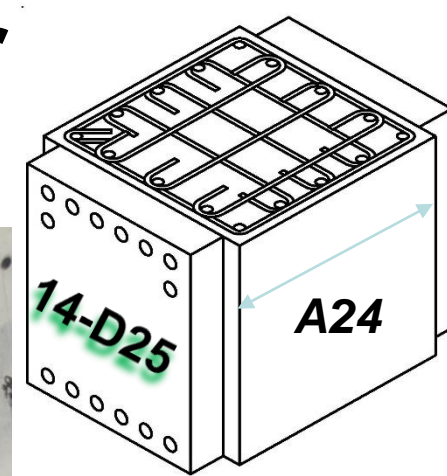


平行該構入梁方向之鋼筋量應可減半，間距可放寬至15 cm

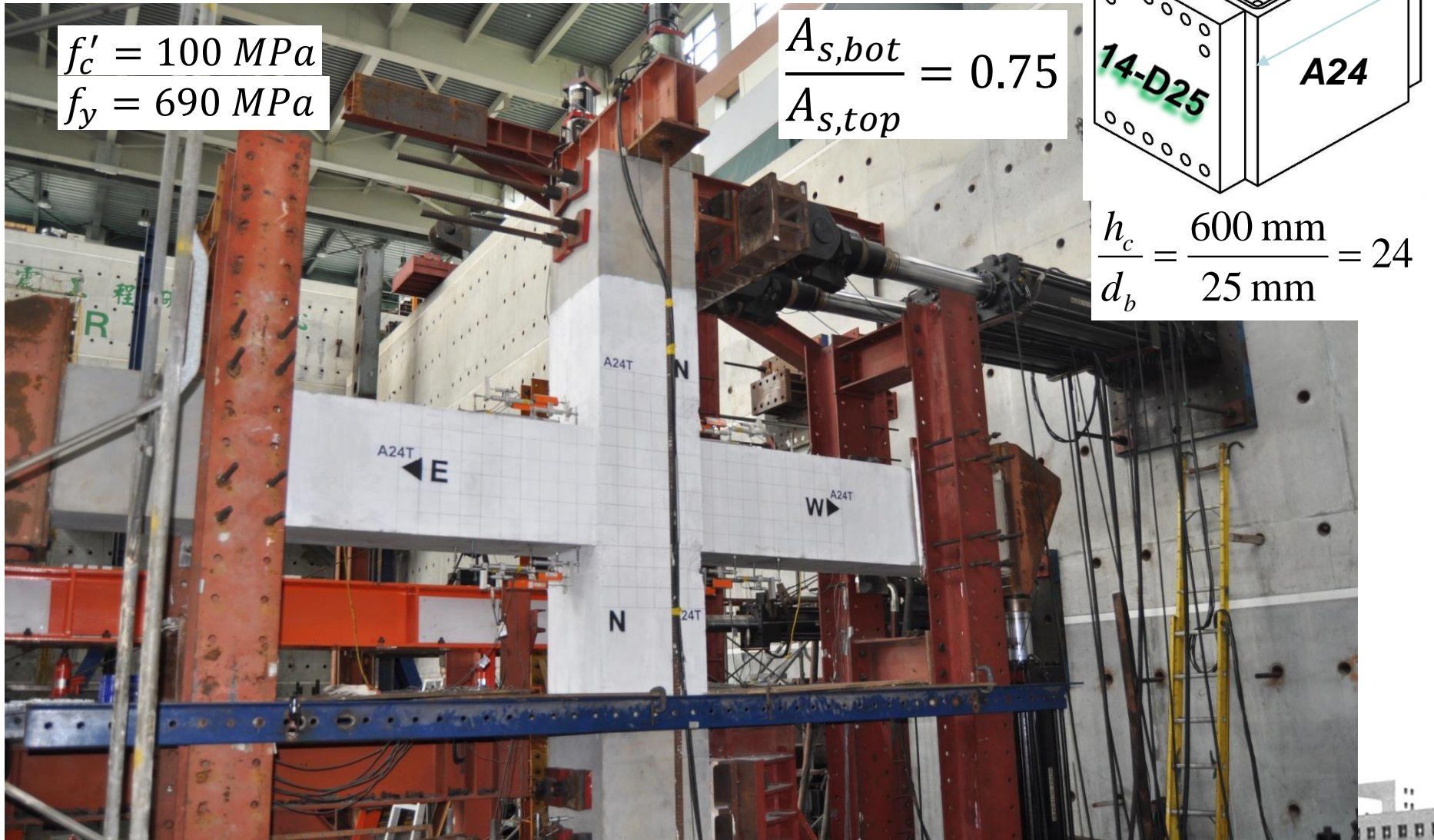
# Seismic Testing for Interior Beam-Column Joints

$$f'_c = 100 \text{ MPa}$$
$$f_y = 690 \text{ MPa}$$

$$\frac{A_{s,bot}}{A_{s,top}} = 0.75$$



$$\frac{h_c}{d_b} = \frac{600 \text{ mm}}{25 \text{ mm}} = 24$$

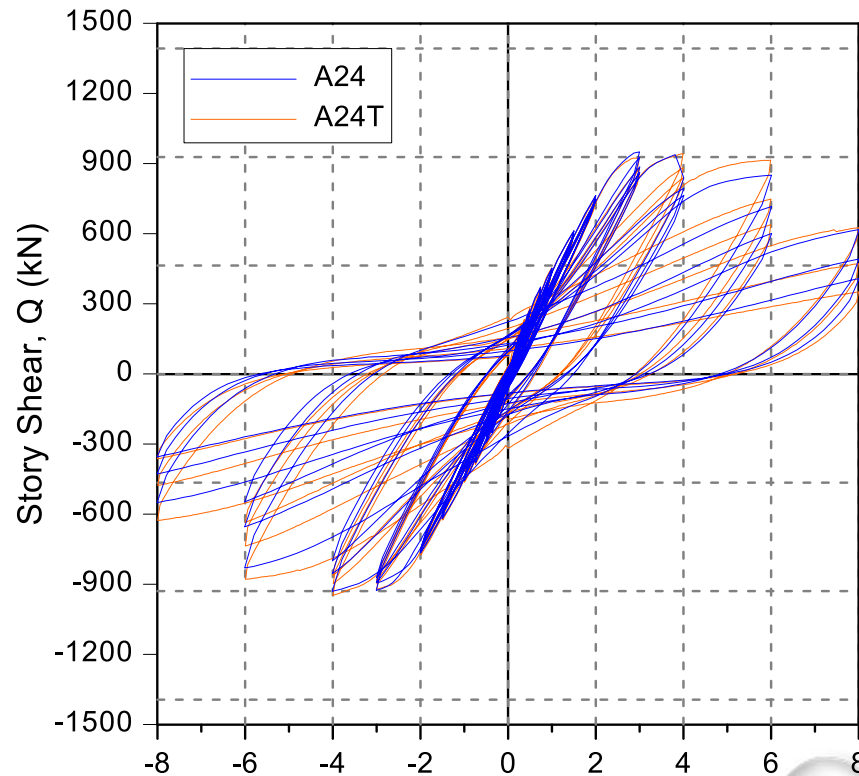
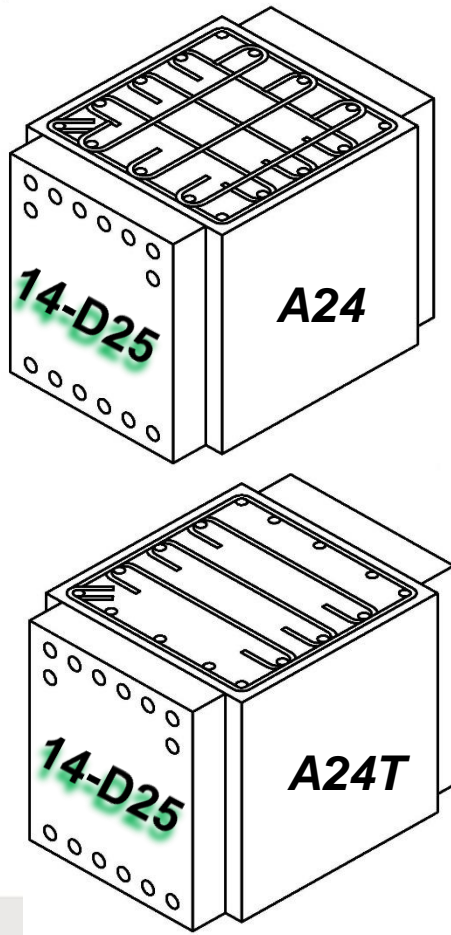


李宏仁; 張又仁; 黃世建, 高強度鋼筋混凝土梁柱接頭耐震性能研究及資料庫建構. 中國土木水利工程學刊 2014, 26, (3), 257-263.

18.5.3.2 若構入接頭的梁連續或符合15.2.7節，且梁寬度至少為柱寬度之3/4，則在該構入梁接頭兩側較淺梁深度 $h$ 之範圍內，依表18.4.5.4 (a)(b)或(d)(e)規定平行該構入梁方向之鋼筋量應可減半，且依第18.4.5.3節規定之間距允許增至 15 cm。

解說：

若具適當尺寸之梁在接頭一雙對面構入時，可降低平行該梁方向之圍束鋼筋用量 (李宏仁等人 2014)，且可增加其間距。



(Lee et al. 2014)



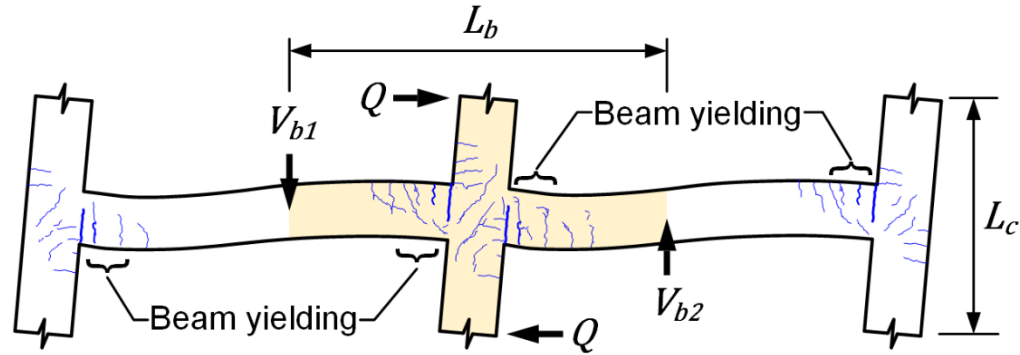
# 簡報大綱

- 我國規範修訂之背景說明
- 接頭最小深度 (土木401-112 18.5.2)
- 接頭橫向鋼筋 (土木401-112 18.5.3)
- ➔ • 接頭剪力強度 (土木401-112 18.5.4)
- 受拉錨定長度 (土木401-112 18.5.5)
- 結語



# 特殊抗彎矩構架之接頭

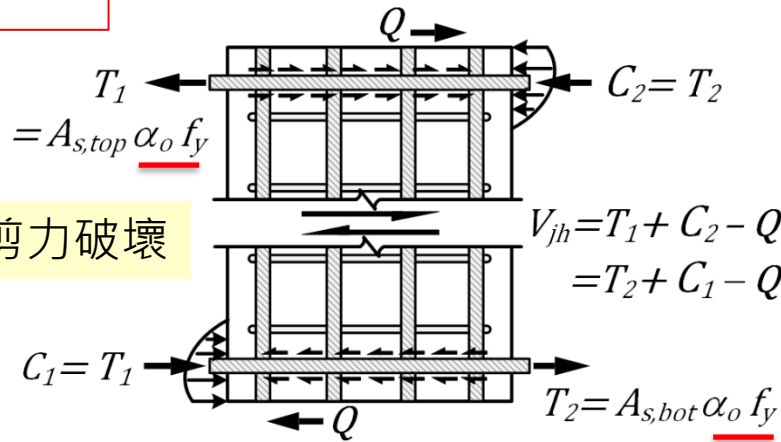
M.C.E. 作用下



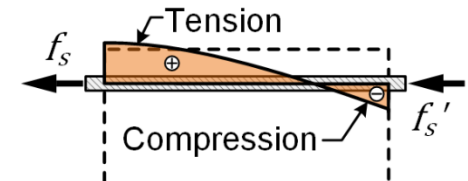
(a) Isolated beam-column unit of a moment-resisting frame

## @18.5.2.1

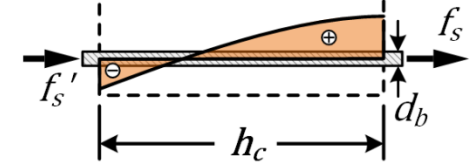
梁縱向鋼筋於接頭面之力，應假設撓曲拉力鋼筋應力為  $1.25f_y$  計算之。



高剪力可能導致剪力破壞



握裹劣化可能導致鋼筋滑移

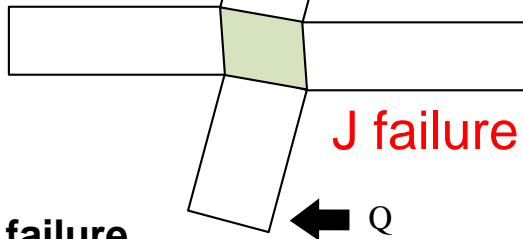


(b) Horizontal forces acting on an interior joint (c) Stresses along beam bars

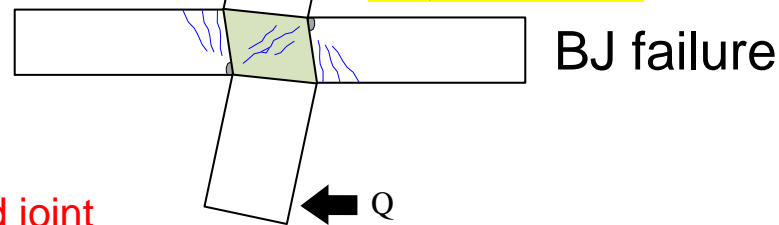
# 接頭設計剪力與標稱強度之比值

Joint shear demand to capacity ratio

$$\frac{V_u}{V_{n,aci}} \gg 1.0$$

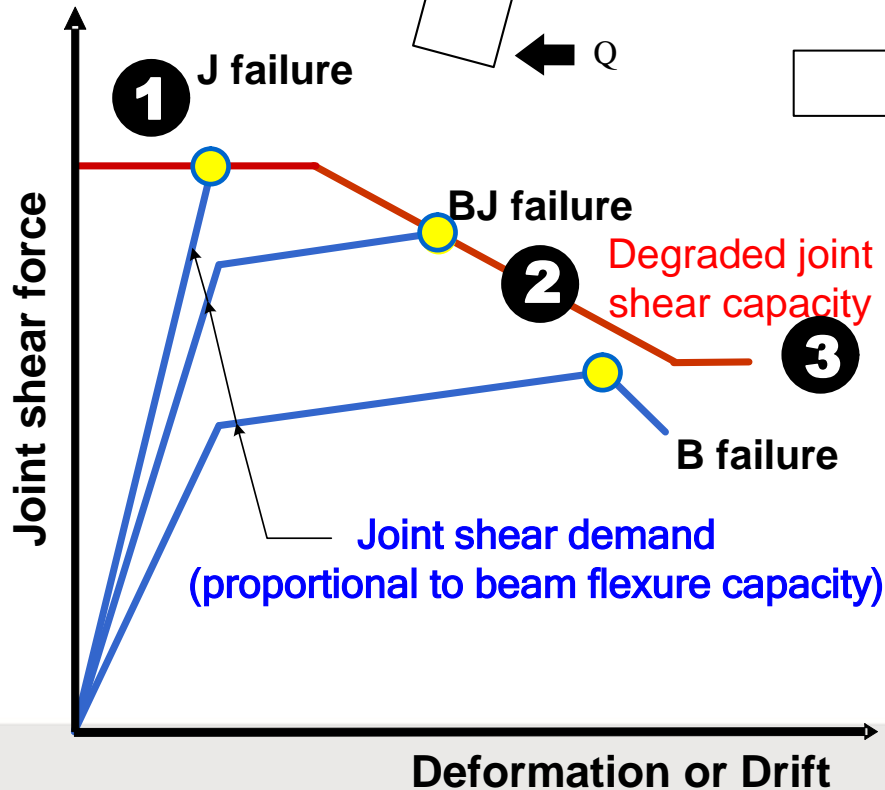
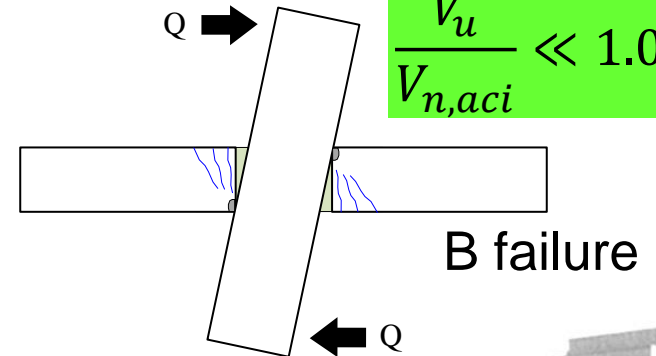


$$\frac{V_u}{V_{n,aci}} \approx 1.0$$



$$V_u \leq \phi V_n$$

$$\frac{V_u}{V_{n,aci}} \ll 1.0$$



# 標稱接頭剪力強度 $V_n$

$$\phi V_n \geq V_u$$

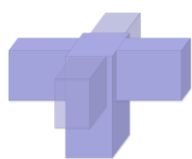
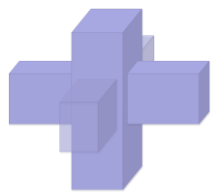
土木401-100規範(表 15.6.3.1)

土木401-110 規範 (表 18.5.4.3)

(kgf/cm<sup>2</sup> unit)

接頭形式	$V_n$
接頭四面皆受圍束	$5.3\sqrt{f'_c}A_j$
三面或一雙對面受圍束	$3.9\sqrt{f'_c}A_j$
其他	$3.2\sqrt{f'_c}A_j$

柱	$V_u$ 方向的梁	符合第15.2.8節之橫向梁圍束	$V_n$
連續或符合第15.2.6節	連續或符合第15.2.7節	有	$5.3\lambda\sqrt{f'_c}A_j$
		無	$3.9\lambda\sqrt{f'_c}A_j$
	其他	有	$3.9\lambda\sqrt{f'_c}A_j$
		無	$3.2\lambda\sqrt{f'_c}A_j$
其他	連續或符合第15.2.7節	有	$3.9\lambda\sqrt{f'_c}A_j$
		無	$3.2\lambda\sqrt{f'_c}A_j$
	其他	有	$3.2\lambda\sqrt{f'_c}A_j$
		無	$2.1\lambda\sqrt{f'_c}A_j$



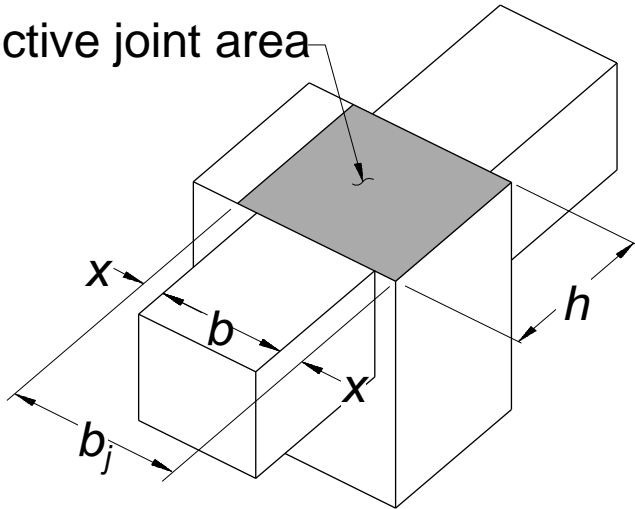


# 接頭內有效斷面積 $A_j = b_j h$

土木 401-100 規範(15.6.3.1)

有效接頭寬度  $b_j$  不超過(a)與(b)之較小值  
 (a)梁寬加沿剪力方向之柱全深。  
 (b)梁中心線至兩柱邊取小值的兩倍。

Effective joint area

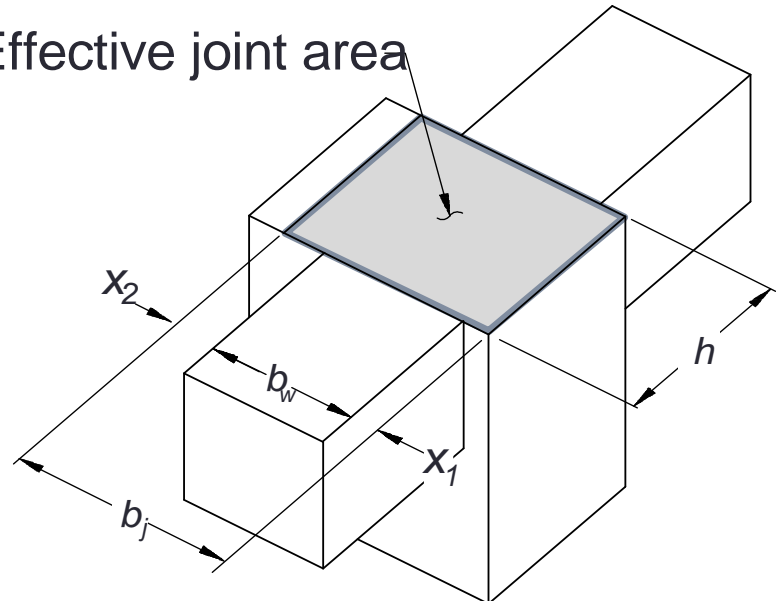


$$b_j = b + h \leq b + 2x$$

新規範 (15.4.2.4)

有效接頭寬度  $b_j$  不超過梁腹寬度  $b_w$  兩側各加(a)與(b)之較小值：  
 (a)接頭深度之1/4。  
 (b)梁腹側面至柱邊之距離。

Effective joint area

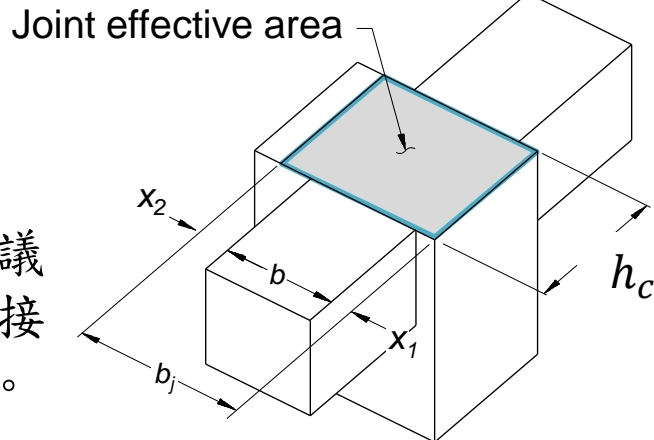


$$b_j = b_w + x_1 + x_2 \leq b_{col}$$

$$x_1 \text{ and } x_2 \leq h/4$$

# 接頭內有效斷面積 $A_j = b_j h$

由(黃世建等人 2014)檢討梁柱接頭試驗資料庫，建議之有效接頭寬度  $b_j = b_w + x_1 + x_2$ ，對於寬柱-窄梁接頭及偏心梁柱接頭可以獲致較合理的剪力計算強度。



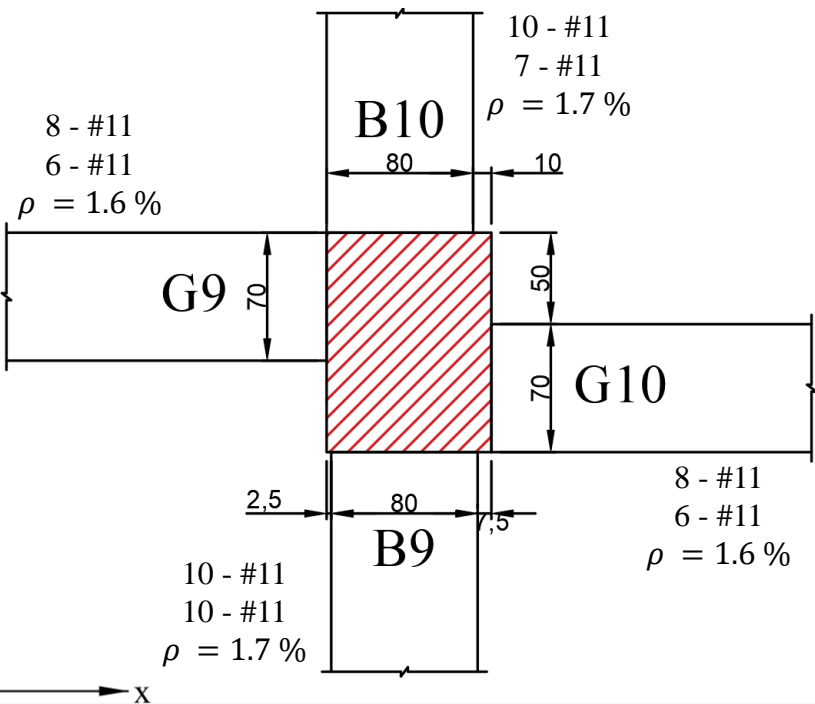
ACI 318-19 或土木401-100	土木401-110 新版規範
$b_j = b + 2x \leq b + h_c$	$b_j = b_w + x_1 + x_2 \leq b_{col}$ $x_1 \text{ and } x_2 \leq h_c/4$
<p><math>b_j = 60 + 2(30) = 120</math></p> <p>120x60 Column</p> <p><math>b_b = 60 \text{ cm}</math></p> <p>30 cm</p>	<p><math>b_j = 60 + 2(15) = 90</math></p> <p>120x60 Column</p> <p><math>b_b = 60</math></p> <p>30</p>
<p><math>b_j = 60 + 0 = 60</math></p> <p>120x60 Column</p> <p><math>b_b = 60 \text{ cm}</math></p> <p>Plan View</p>	<p><math>b_j = 60 + 15 = 75</math></p> <p>120x60 Column</p> <p><math>b_b = 60</math></p>

# 某建案之梁柱接頭剪力強度檢討(I)

柱	$V_u$ 方向的梁	橫向梁圍束	$\gamma$
連續	連續	有	5.3
		無	3.9
	不連續	有	3.9
		無	3.2

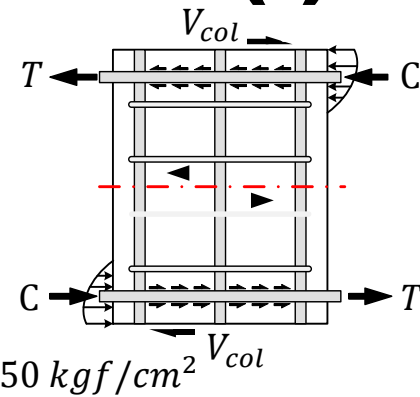
X向：柱連續、梁不連續、有橫向梁圍束， $\gamma = 3.9$

Y向：柱連續、梁連續、無橫向梁圍束， $\gamma = 3.9$



$$V_u = T + C - V_{col}$$

$$V_n = \gamma \sqrt{f'_c} A_j$$



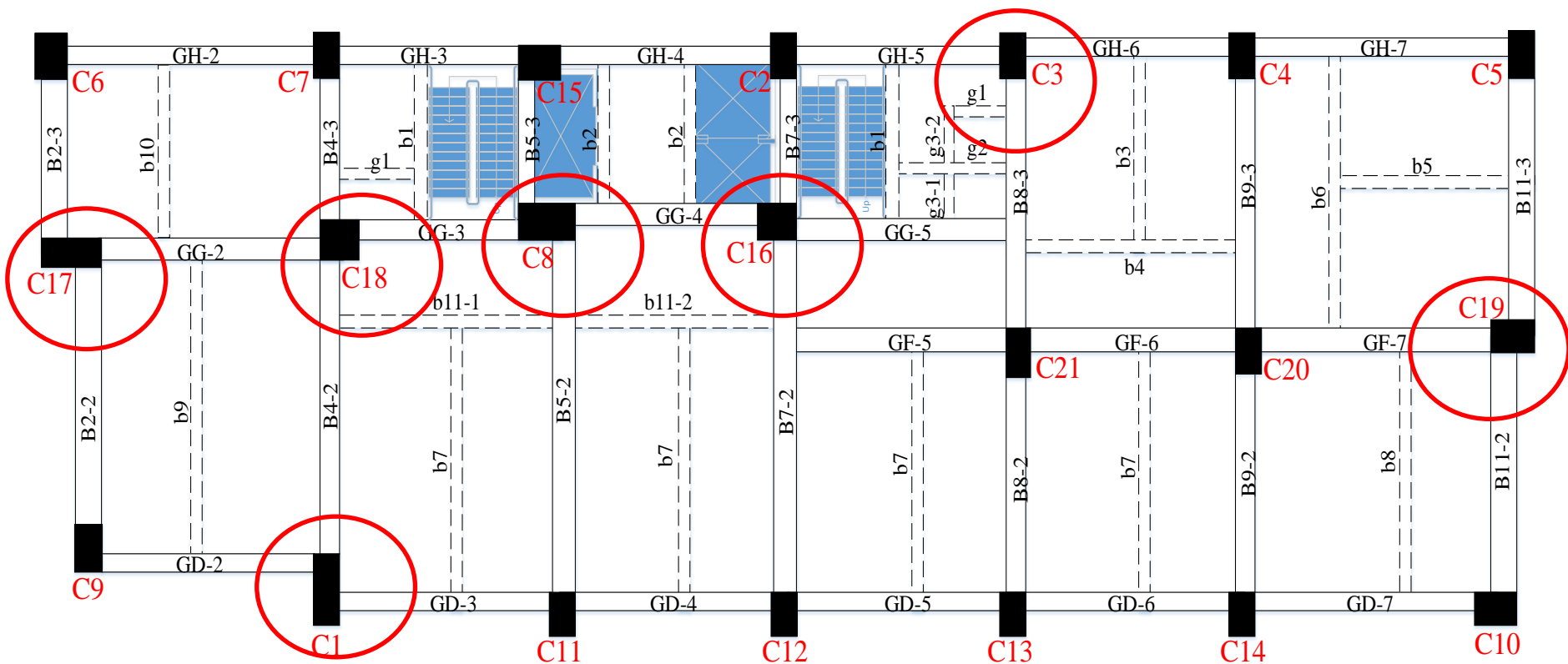
$$f_y = 5000 \text{ kgf/cm}^2$$

方向	$V_u$ (tf)	$\gamma$	$b_j$ (cm)	$h_c$ (cm)	$V_n$ (tf)	$\frac{\Phi V_n}{V_u}$
X	708	3.9	92.5	90	607	0.73

接頭強度不足

錯位偏心梁柱接頭之有效寬度  
如何計算？  
規範並未說明

# 李宏仁等人(2019)，鋼筋混凝土柱梁偏心接合之耐震抗剪強度檢討，內政部建築研究所委託研究報告，台北



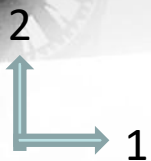
寬柱-窄梁 接合

偏心梁柱接頭比例極高  
錯位偏心接頭！



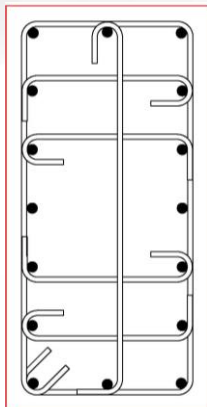


# 系列I 試體接頭設計參數



柱

100×50



柱主筋: 16-#8  
 箍筋: #4@10  
 繫筋: #4@10

$$f'_c = 350 \text{ (kgf/cm}^2\text{)}$$

$$f_y = 4200 \text{ (kgf/cm}^2\text{)}$$

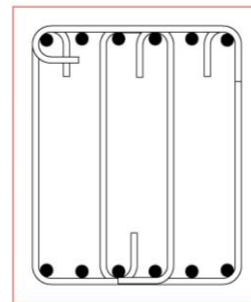
$$f_{yt} = 4200 \text{ (kgf/cm}^2\text{)}$$

$$A_{sh,ratio1} = 1.10$$

$$A_{sh,ratio2} = 1.21$$

$$\frac{V_u}{A_g \sqrt{f'_c}} = 2.84$$

$$M_R = \frac{M_{nc}}{M_{nb}} = \frac{100.93}{63.18} = 1.59$$

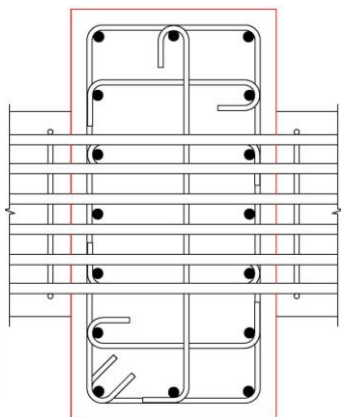


梁

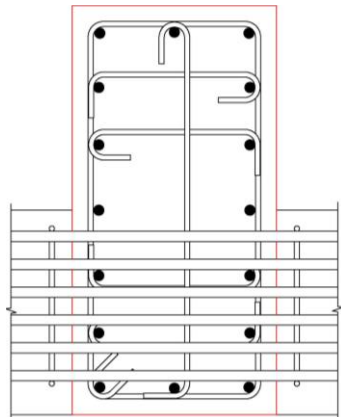
50×60

梁主筋: 6-#8, 6-#8  
 箍筋: #4@15  
 繫筋: #4@15

$$\frac{h_c}{d_b} = \frac{50 \text{ cm}}{2.5 \text{ cm}} = 20$$

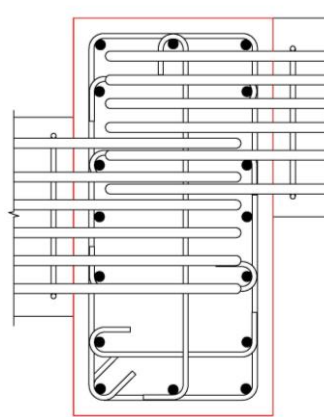


1A

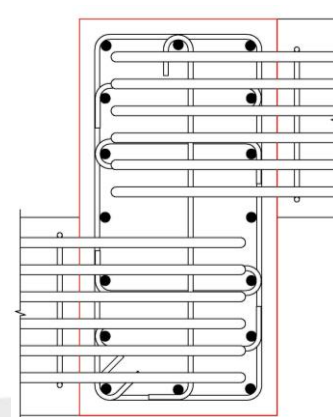


1B

$$\frac{l_{dh,provided}}{l_{dh,required}} = \frac{40.3 \text{ cm}}{34.2 \text{ cm}} = 1.18$$



1C



1D

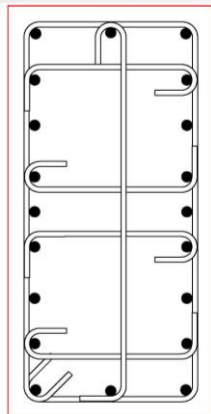


# 系列II試體接頭設計參數



柱

100×50



柱主筋: 20-#8  
 箍筋: #4@10  
 繫筋: #4@10

$$f'_c = 350 \text{ (kgf/cm}^2\text{)}$$

$$f_y = 4200 \text{ (kgf/cm}^2\text{)}$$

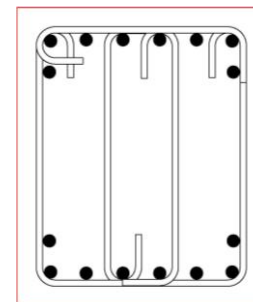
$$f_{yt} = 4200 \text{ (kgf/cm}^2\text{)}$$

$$A_{sh,ratio1} = 1.10$$

$$A_{sh,ratio2} = 1.21$$

$$\frac{V_u}{A_g \sqrt{f'_c}} = 3.93$$

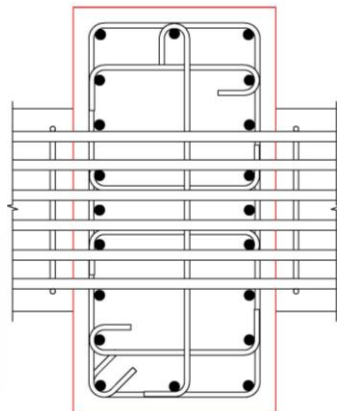
$$M_R = \frac{M_{nc}}{M_{nb}} = \frac{116.3}{81.1} = 1.43$$



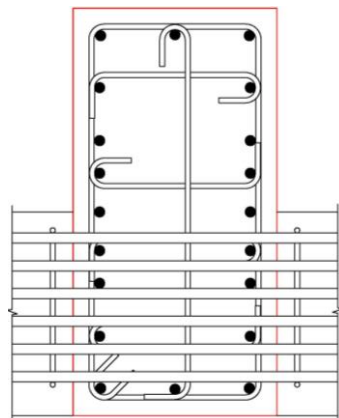
梁  
 50×60

梁主筋: 8-#8, 8-#8  
 箍筋: #4@15  
 繫筋: #4@15

$$\frac{h_c}{d_b} = \frac{50 \text{ cm}}{2.5 \text{ cm}} = 20$$

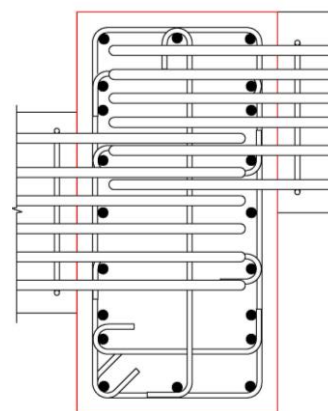


2A

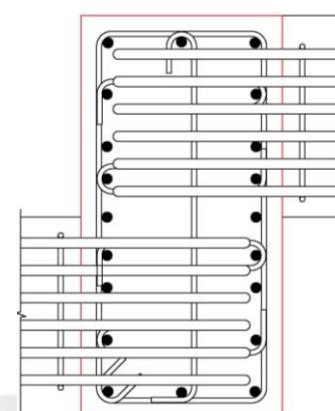


2B

$$\frac{l_{dh,provided}}{l_{dh,required}} = \frac{35 \text{ cm}}{34.2 \text{ cm}} = 1.02$$



2C



2D





# 材料試驗

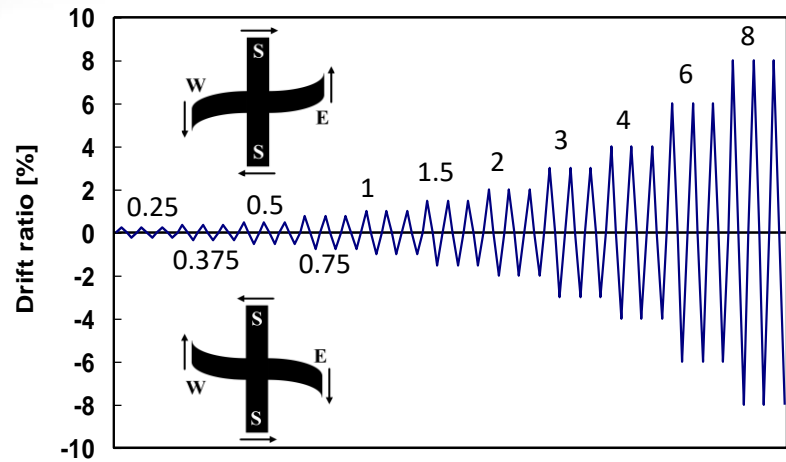
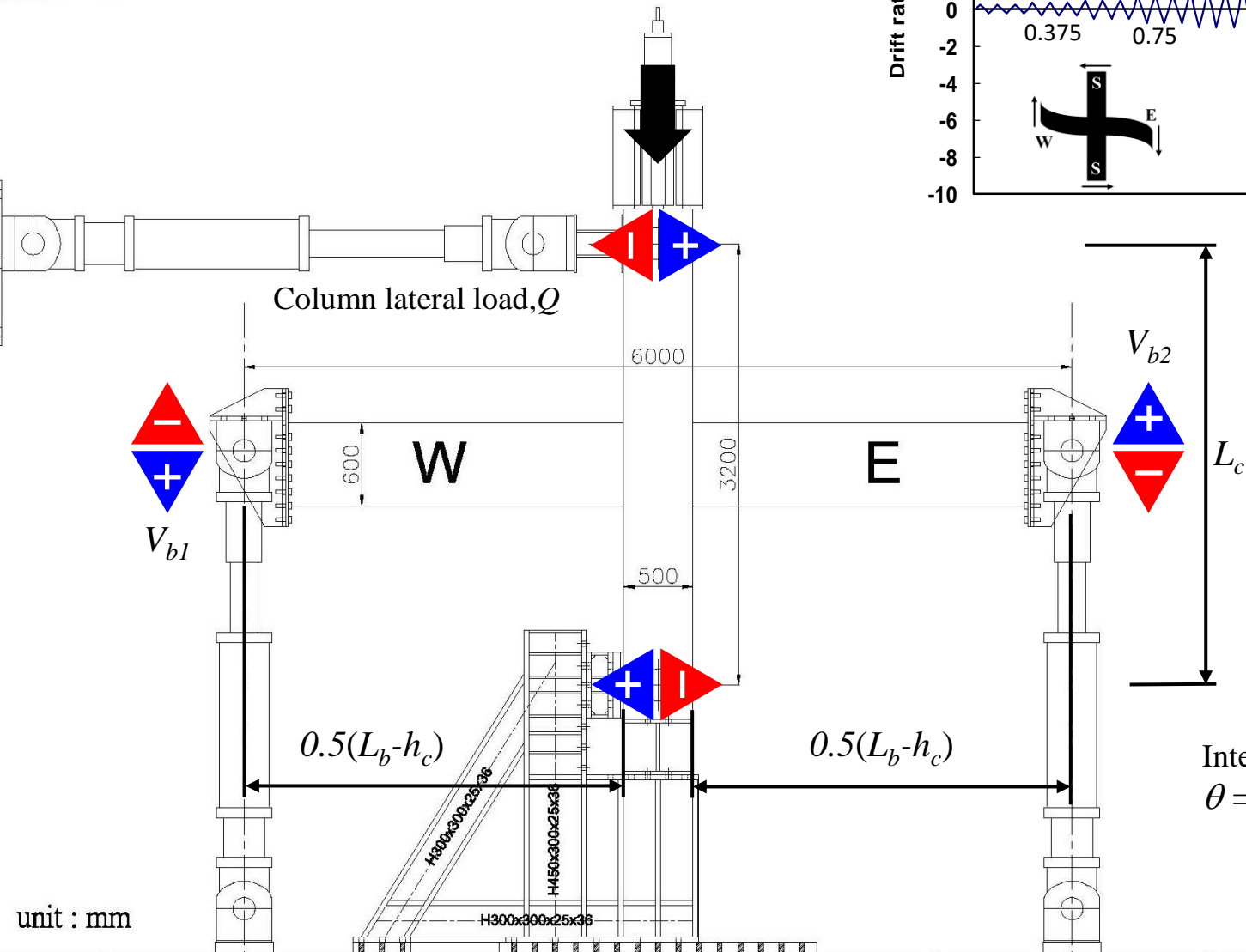
批次	試體編號	梁柱接頭 試驗齡期 (日)	圓柱抗壓 試驗齡期 (日)	$f'_c$ (kgf/cm <sup>2</sup> )	MPa
第一批次	1A	49	45	282	27.6
	2A	55			
	1B	59	57	305	28.9
	2B	65			
第二批次	1C	46	46	317	31.1
	2C	49			
	1D	69	68	328	32.1
	2D	74			

鋼筋規格 SD420W	降伏點 MPa		抗拉強度 MPa		伸長率%		拉降比	
	試驗值	平均值	試驗值	平均值	試驗值	平均值	試驗值	平均值
D13-1	487	488	659	659	18	20	1.35	1.35
D13-2	489		657		22		1.34	
D13-3	489		660		20		1.35	
D25-1	447	450	657	658	15	20	1.47	1.46
D25-2	453		661		23		1.46	
D25-3	449		656		21		1.46	



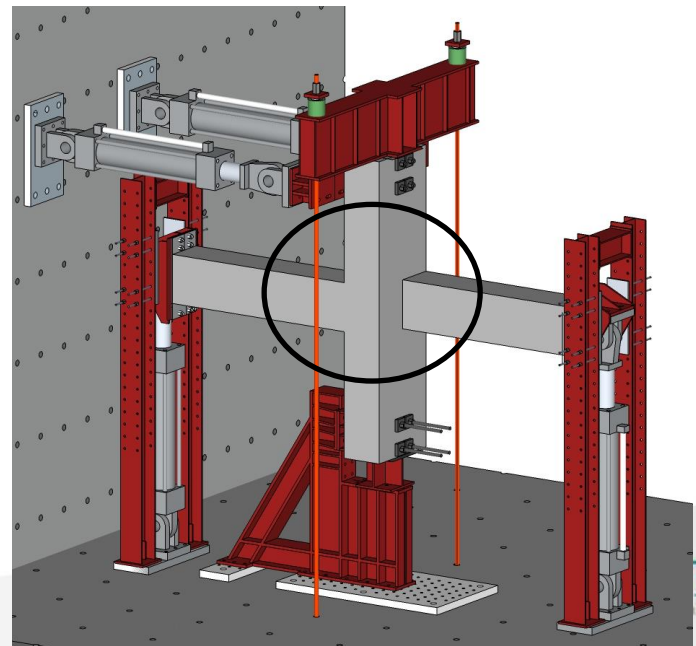
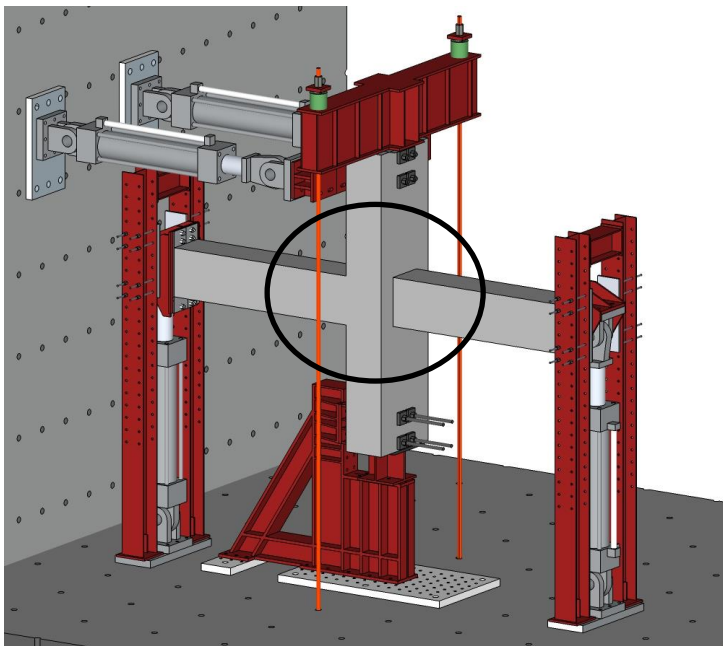
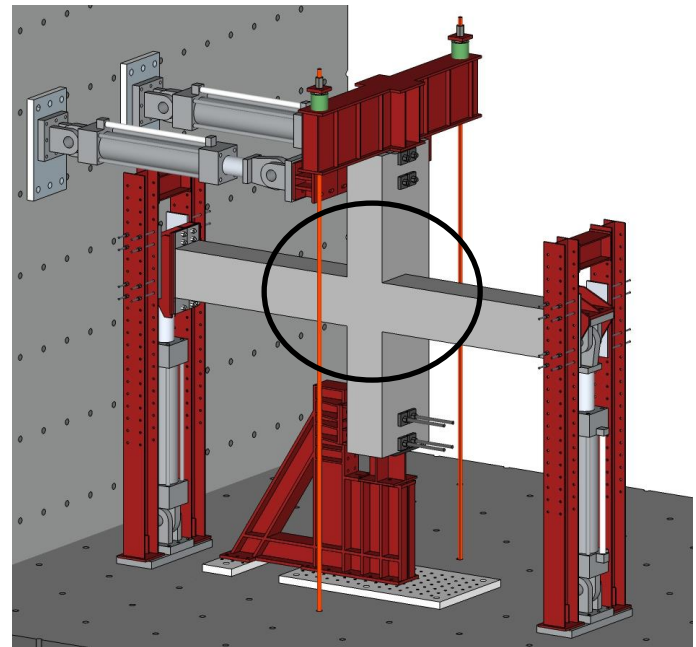
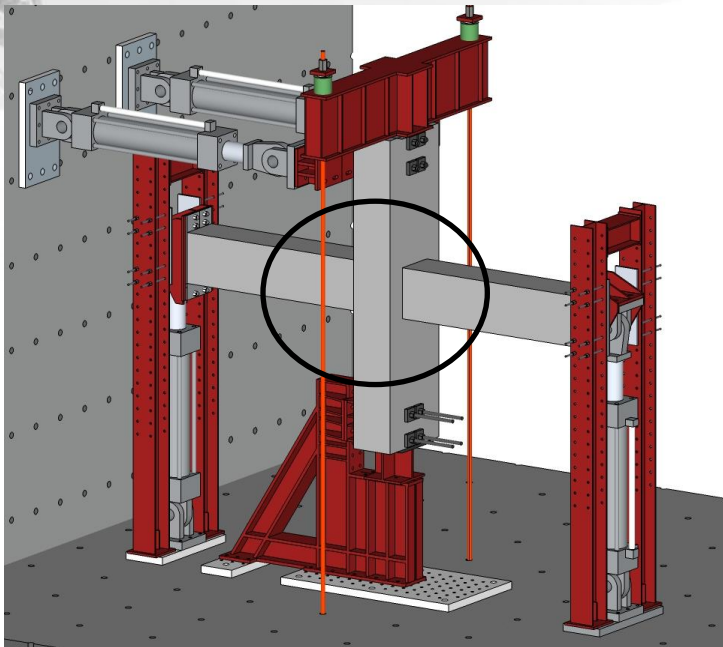
# 試驗佈設

$0.1A_g f'_c$   
Column axial load,  $P$



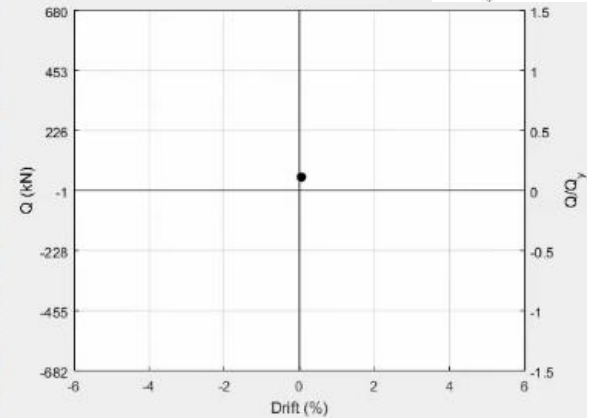
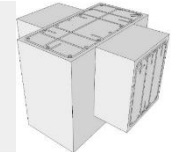
Interstory drift load ratio  
 $\theta = (\delta_1 + \delta_2) / L_b = \Delta / L_c$



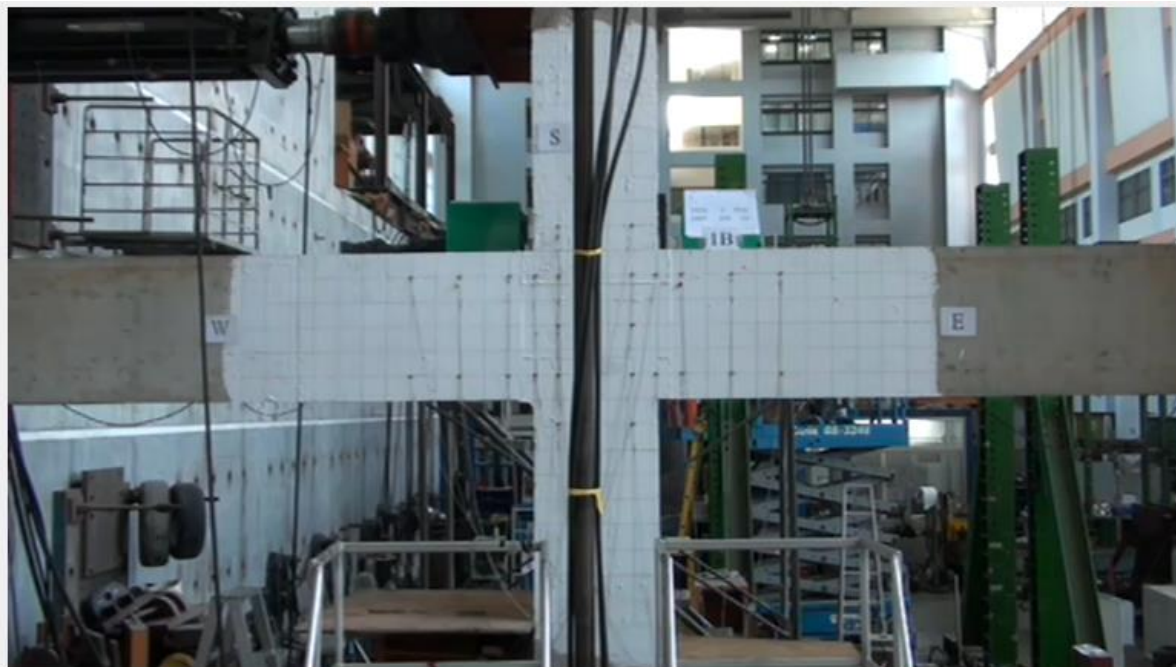




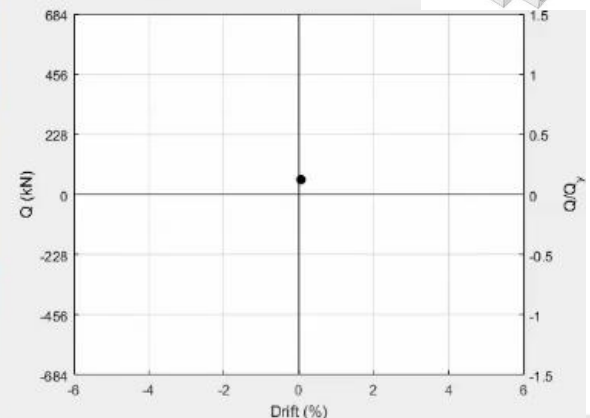
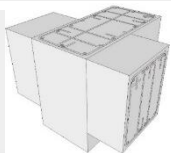
1A



$Q_{max}=467$  kN



1B

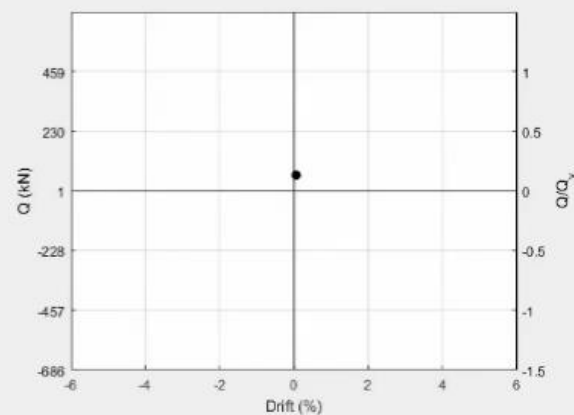
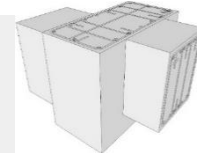


$Q_{max}=468$  kN

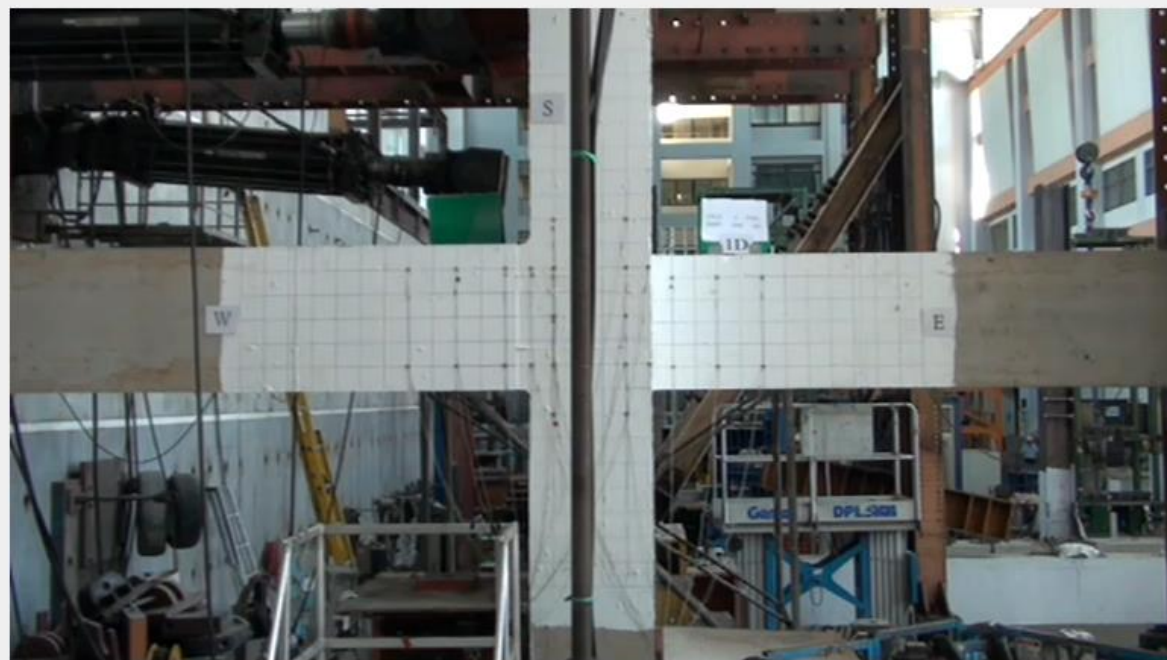




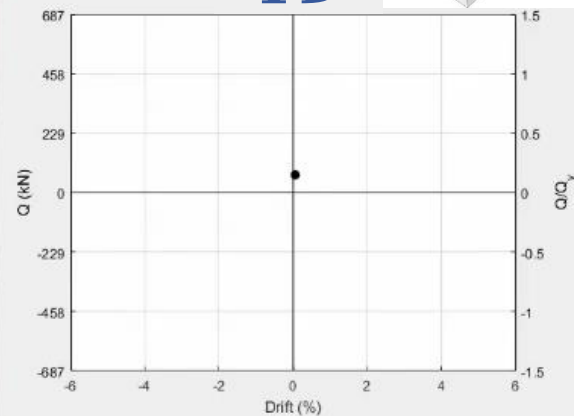
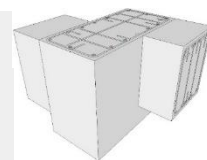
1C



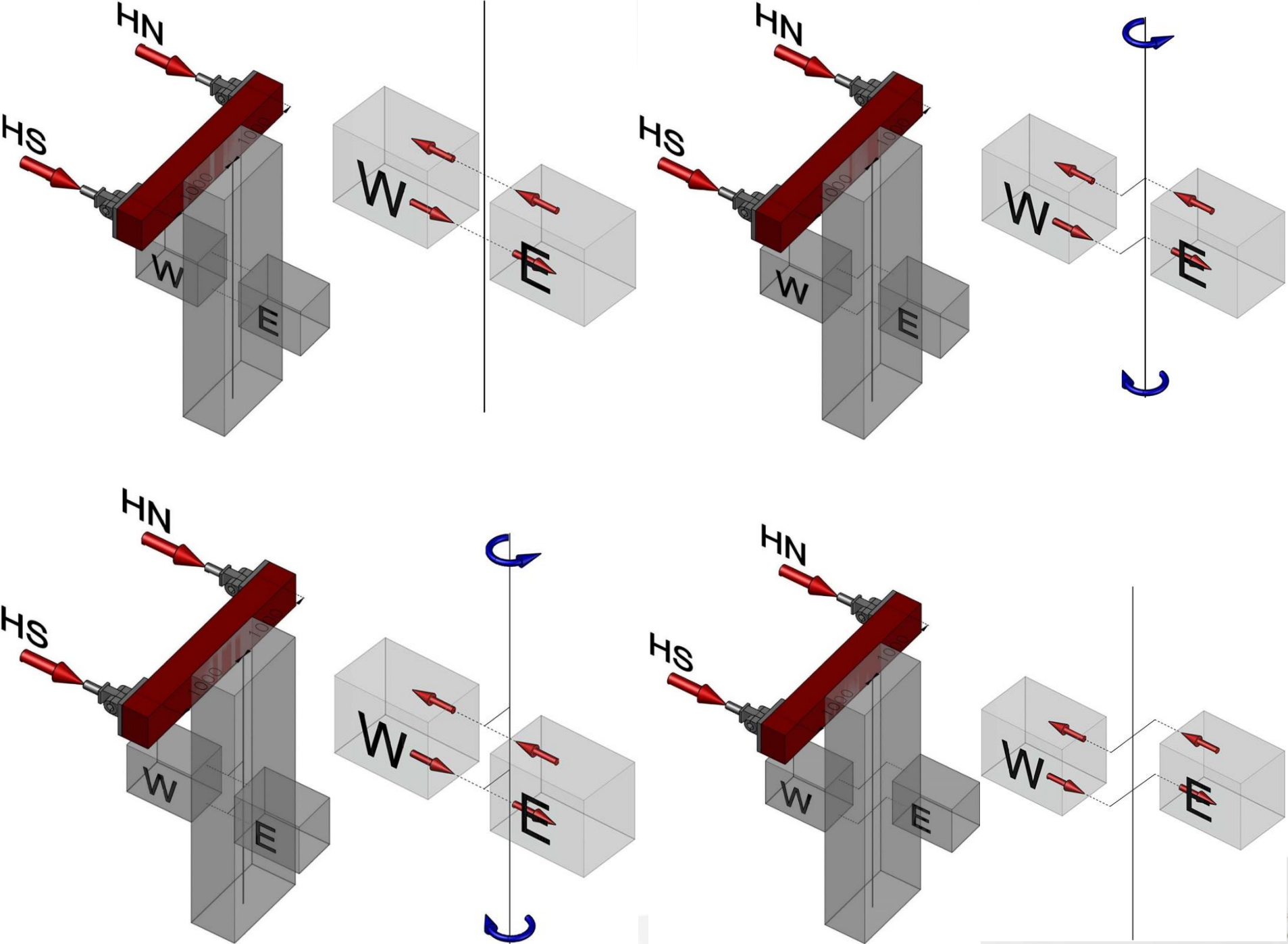
$Q_{max}=497$  kN



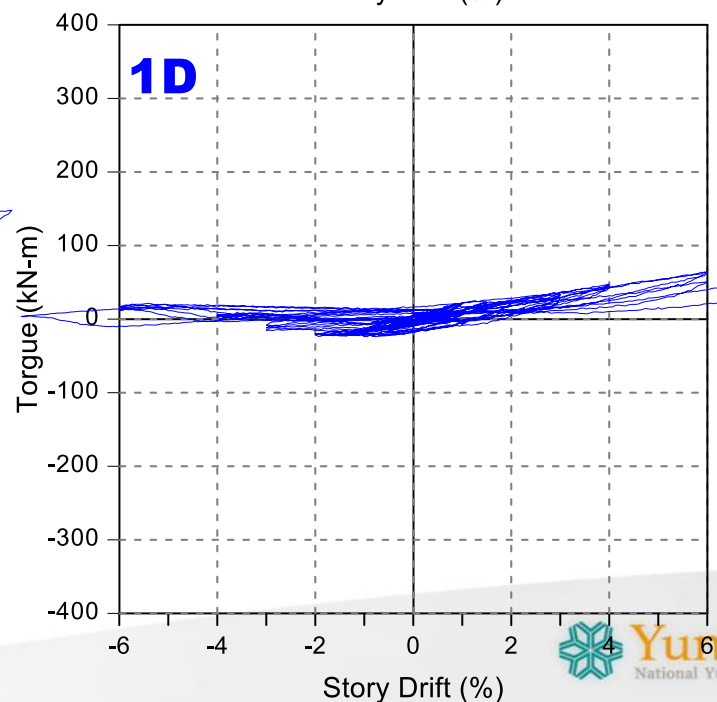
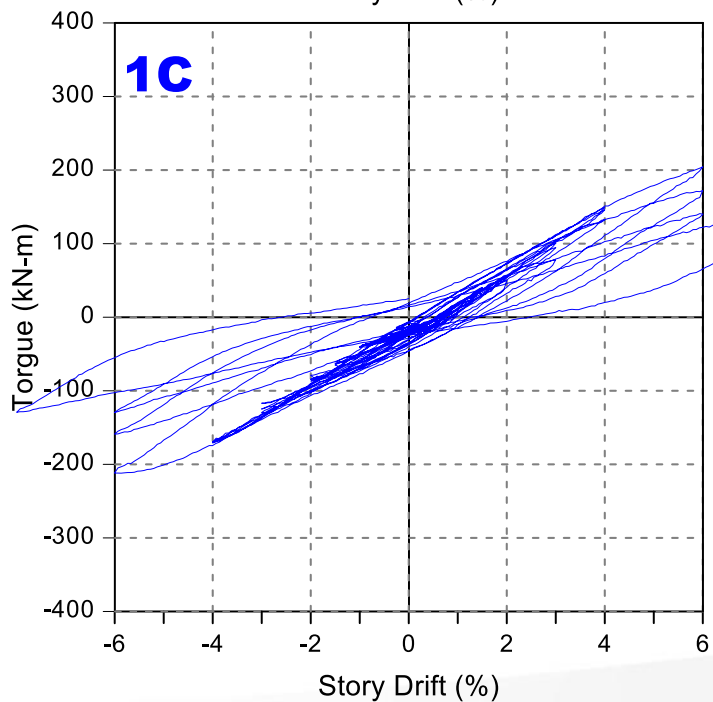
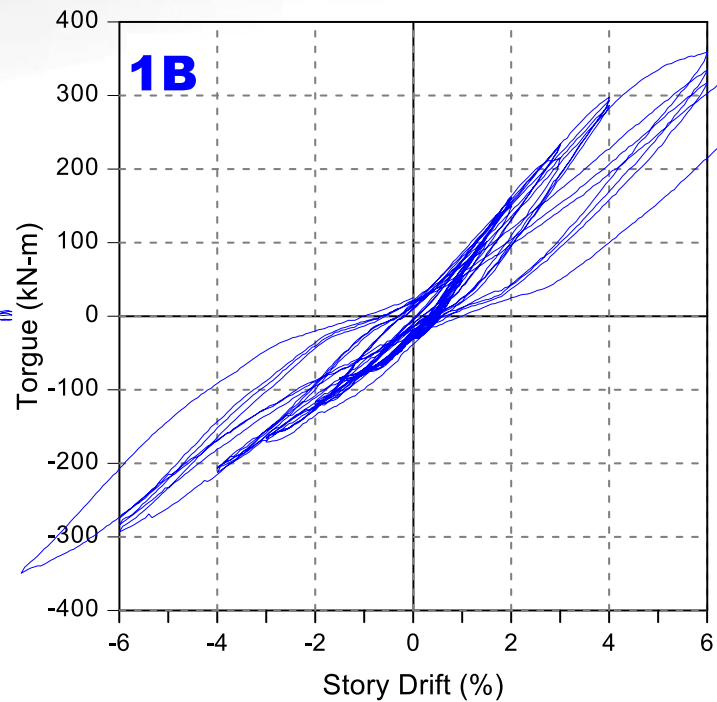
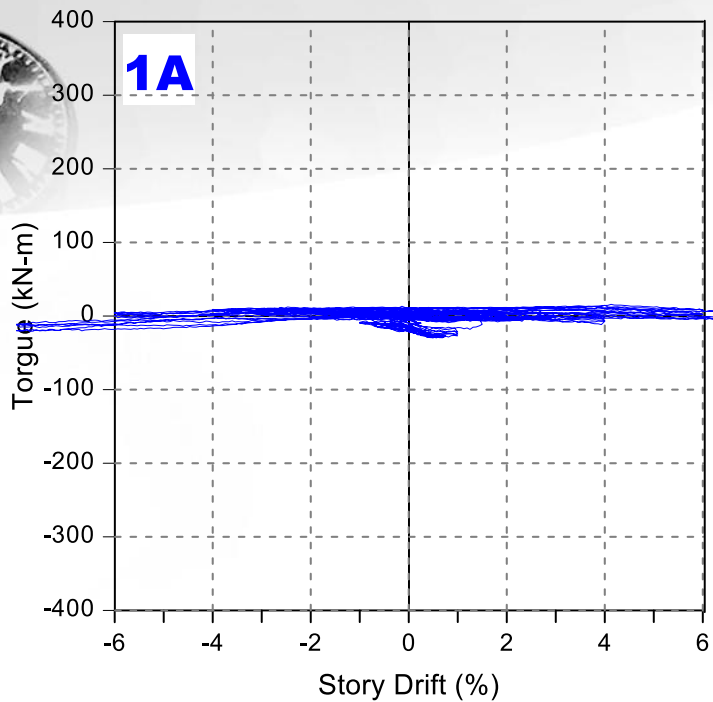
1D

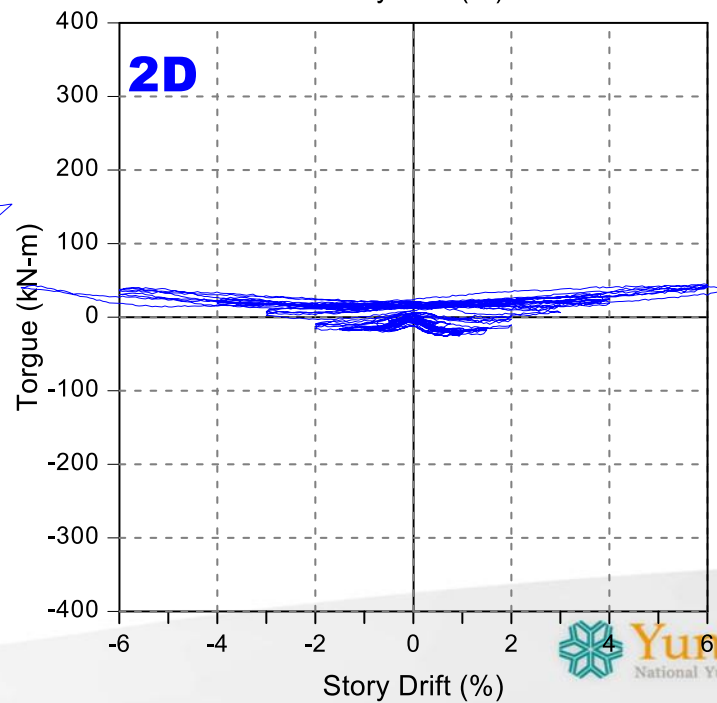
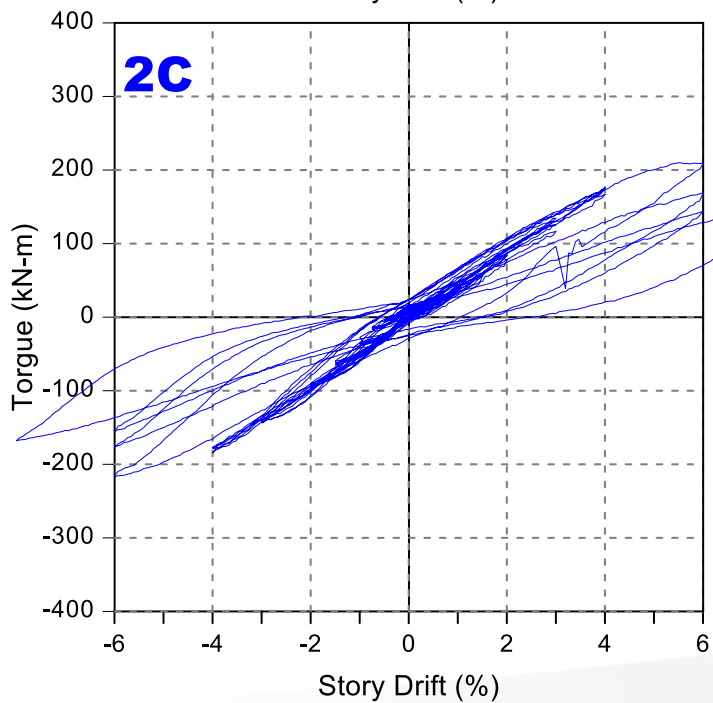
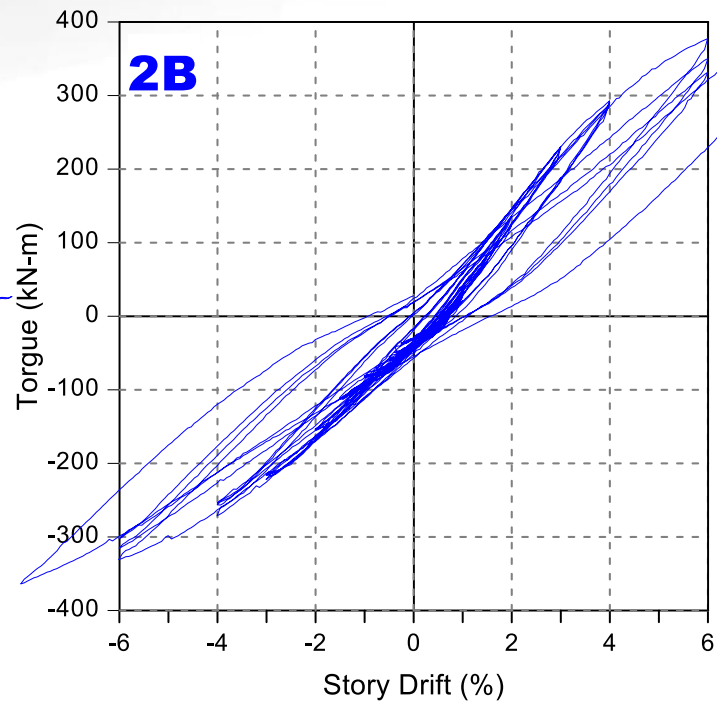
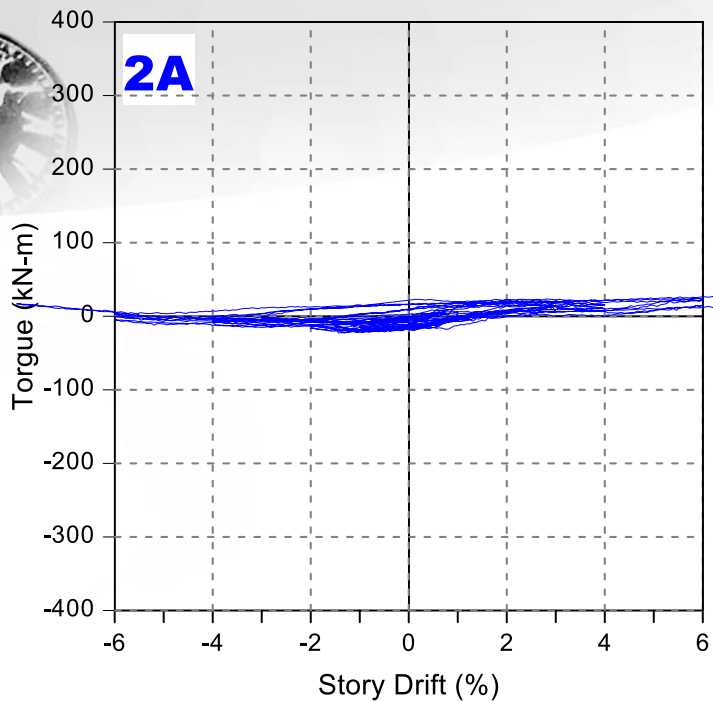


$Q_{max}=488$  kN

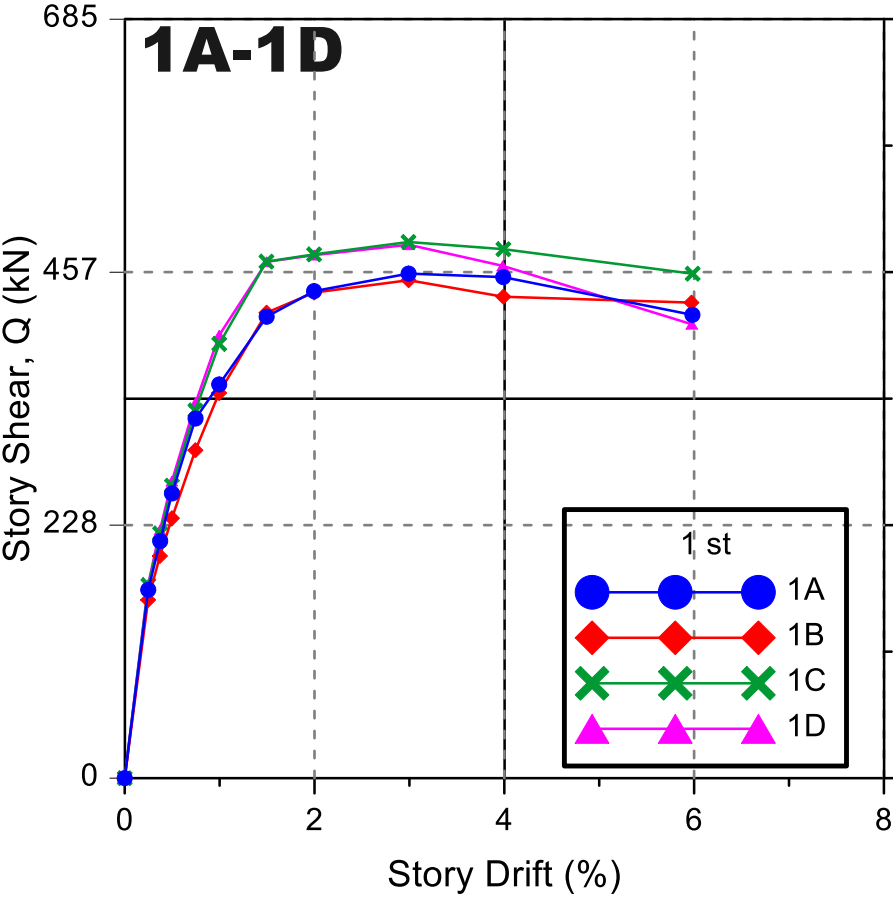




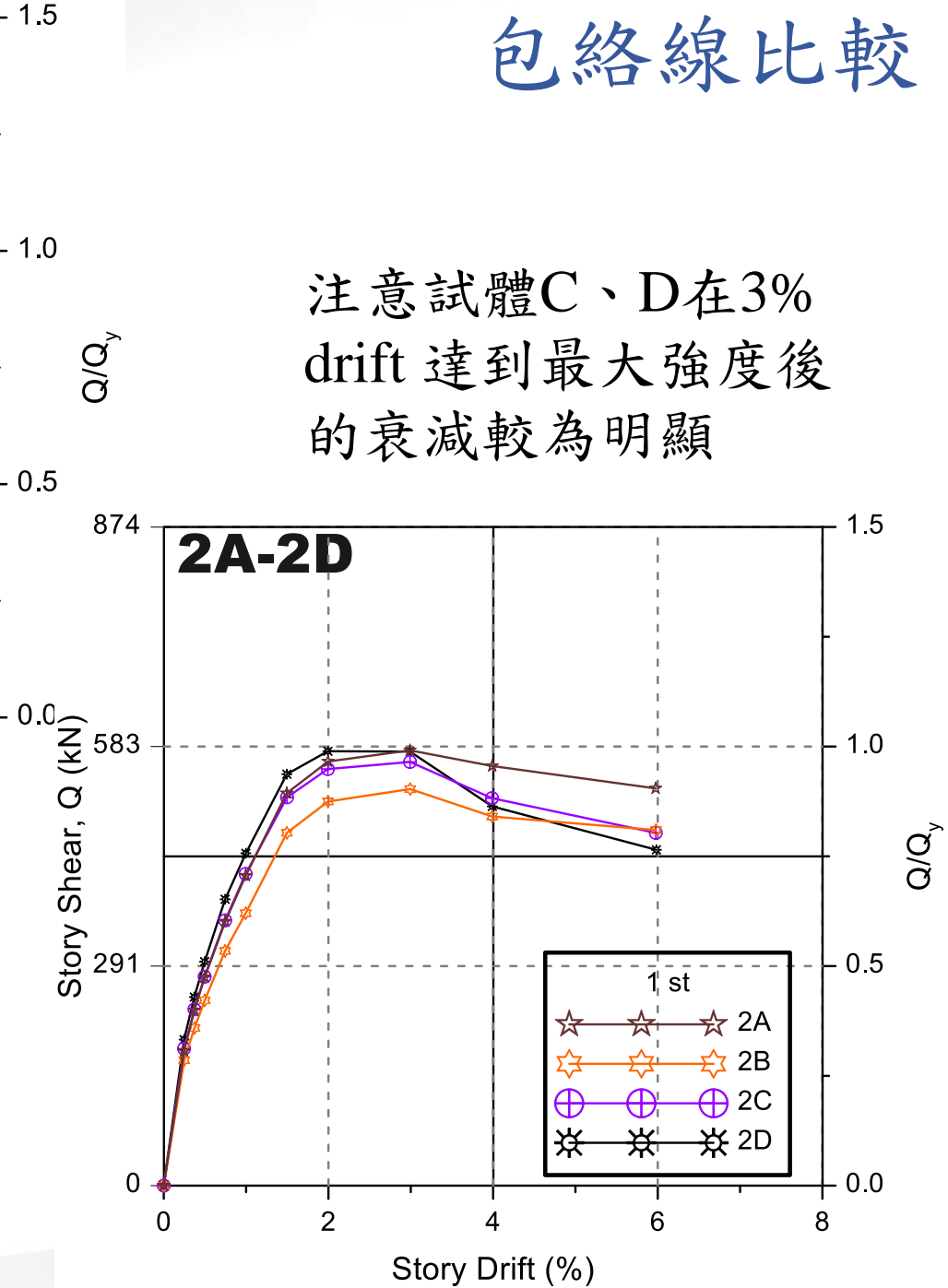




# 包絡線比較



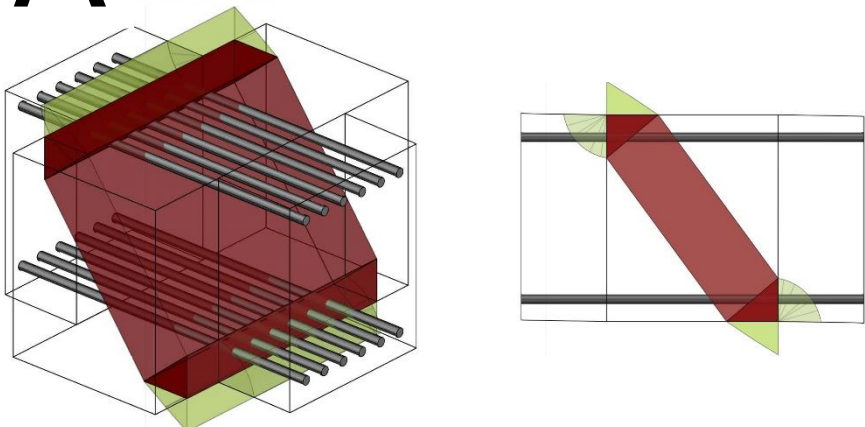
注意試體C、D在3% drift 達到最大強度後的衰減較為明顯



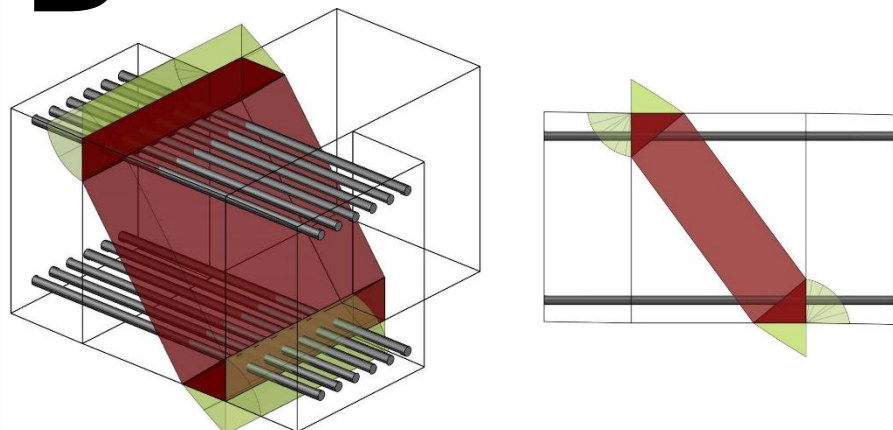
錯位偏心接合  
強度並不差

# 對角壓桿傳遞機制

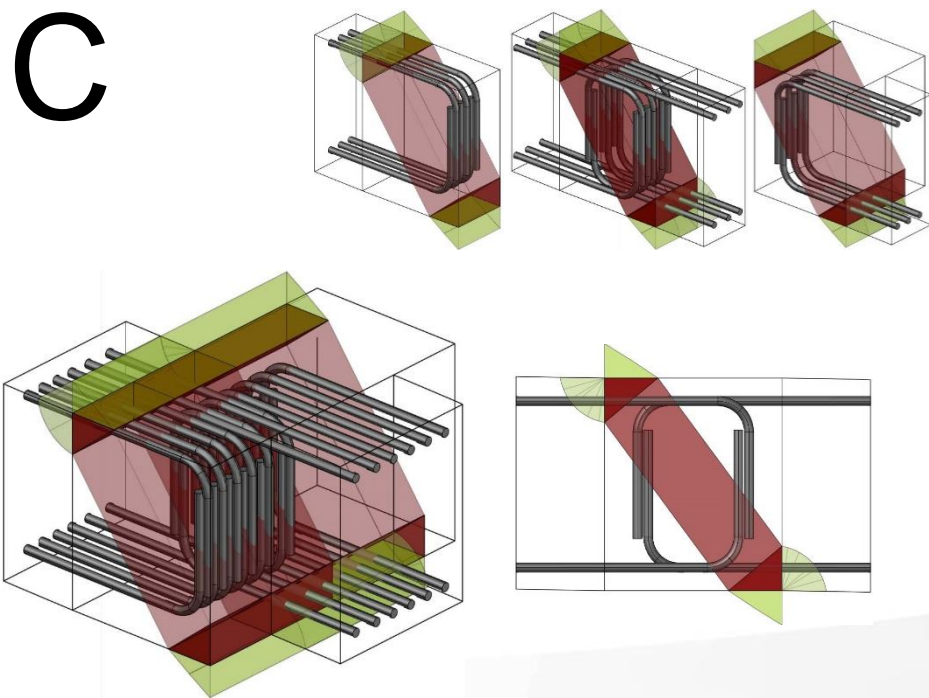
## A



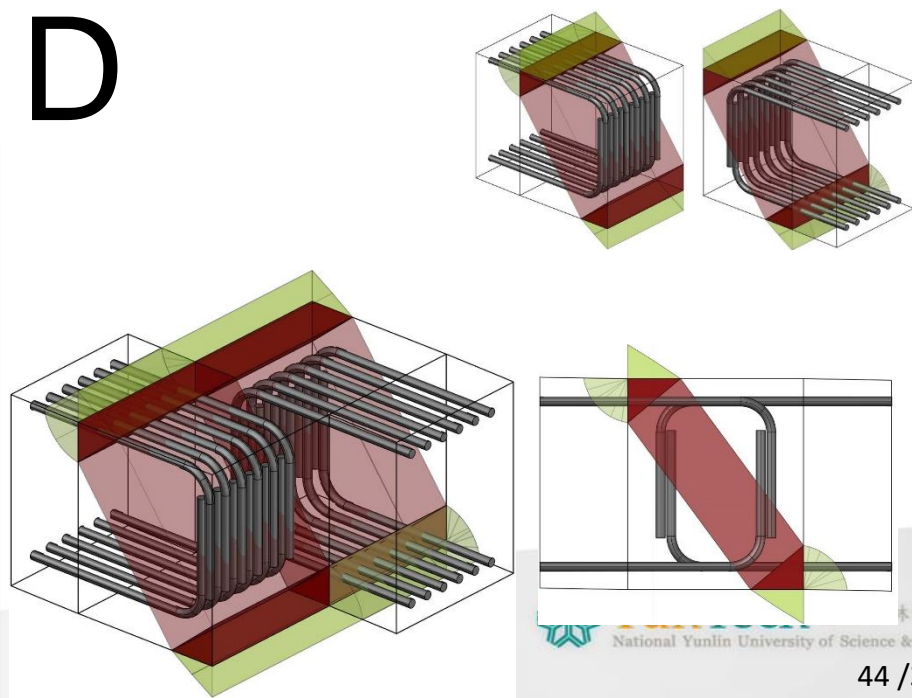
## B



## C



## D





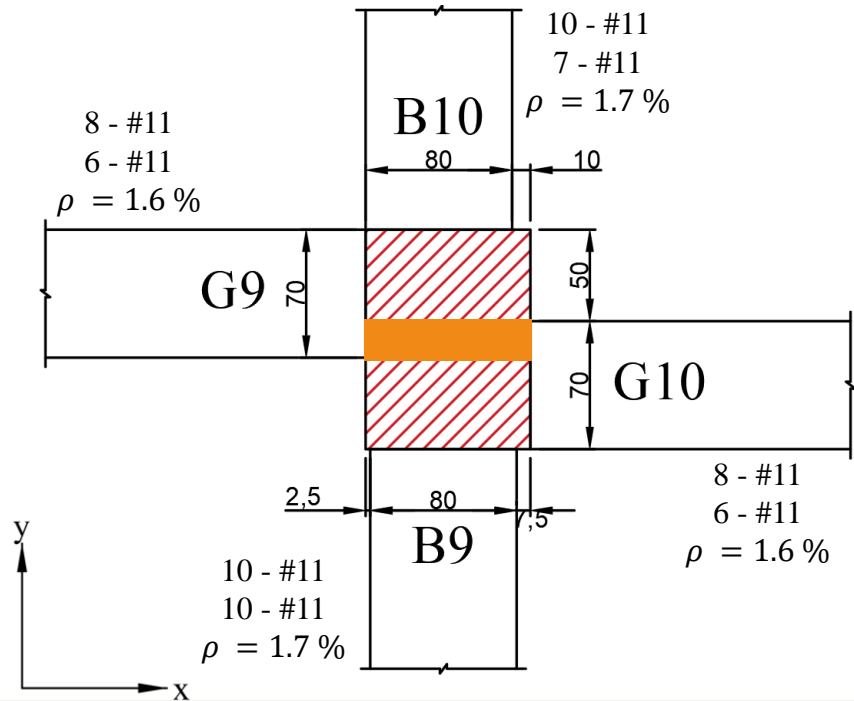


# 某建案之梁柱接頭剪力強度檢討(修)

柱	$V_u$ 方向的梁	橫向梁圍束	$\gamma$
連續	連續	有	5.3
		無	3.9
	不連續	有	3.9
		無	3.2

X向：柱連續、梁不連續、有橫向梁圍束， $\gamma = 3.9$

Y向：柱連續、梁連續、無橫向梁圍束， $\gamma = 3.9$



$$V_u = T + C - V_{col}$$

$$V_{n,pro} = \gamma_C \sqrt{f'_c} \times b_{j,C} \times h_c + \gamma_U \sqrt{f'_c} \times b_{j,U} \times h_c$$

$$f_y = 5000 \text{ kgf/cm}^2 \quad f'_c = 350 \text{ kgf/cm}^2$$

方向	區塊	$\gamma$	$b_j$ (cm)	$h_c$ (cm)	$V_n$ (tf)
X	交集區	5.3	20	90	178.5
X	延伸區	3.9	50+50	90	459.7
合計					835.2

$$V_u = 709 \text{ tf} < \phi V_n = 710 \text{ tf} \quad \text{OK.}$$

Unit : cm , kgf/cm<sup>2</sup>     $\rho = A_s/bd$      $\phi = 0.85$



# 簡報大綱

- 我國規範修訂之背景說明
- 接頭最小深度 (土木401-112 18.5.2)
- 接頭橫向鋼筋 (土木401-112 18.5.3)
- 接頭剪力強度 (土木401-112 18.5.4)
- ➔ • 受拉錨定長度 (土木401-112 18.5.5)
- 結語



# ACI 規範18章SMF接頭錨定長度的變革

規範	ACI 318-14規範	ACI 318-19規範
第18章 接頭內梁主 筋彎鉤伸展長 度 $l_{dh}$	$\left(\frac{0.06f_y\psi_e}{\sqrt{f'_c}}\right) d_b$	$\left(\frac{0.06f_y\psi_e}{\sqrt{f'_c}}\right) d_b$
第18章 接頭內梁主 筋擴頭伸展長 度 $l_{dt}$	$\left(\frac{0.06f_y\psi_e}{\sqrt{f'_c}}\right) d_b$	$\left(\frac{1.25f_y\psi_e\psi_p\psi_o\psi_c}{32\sqrt{f'_c}}\right) d_b^{1.5}$

彎鉤沒有變

擴頭鋼筋錨定  
長度依圍束條  
件計算

(kgf/cm<sup>2</sup> unit)

UT Austin  
James O. Jirsa



Kansas U  
David Darwin



### 表25.4.4.3 擴頭竹節鋼筋受拉伸展長度之修正因數

修正係數	條件	因數值
環氧樹脂 $\psi_e$	環氧樹脂塗布或鋅與環氧樹脂雙層塗布鋼筋	1.2
	無塗布或鋅塗布(鍍鋅)鋼筋	1.0
平行肋筋 $\psi_p$	圍束D36以下鋼筋之肋筋 $A_u \geq 0.3A_{hs}$ 或 $S^{[1]} \geq 6d_b$ [2, 3]	1.0
	其他	1.6
位置 $\psi_o$	擴頭竹節鋼筋在 (1) 柱核心內終止且側面保護層 $\geq 6.5\text{cm}$ ，或 (2) 側面保護層 $\geq 6d_b$	1.0
	其他	1.25
混凝土強度 $\psi_c$	$f'_c < 420 \text{ kgf/cm}^2$ [42 MPa]	$(f'_c/1050) + 0.6$ [ $(f'_c/105) + 0.6$ ]
	$f'_c \geq 420 \text{ kgf/cm}^2$ [42 MPa]	1.0

[1]  $s$  = 擴頭竹節鋼筋之最小中心距。

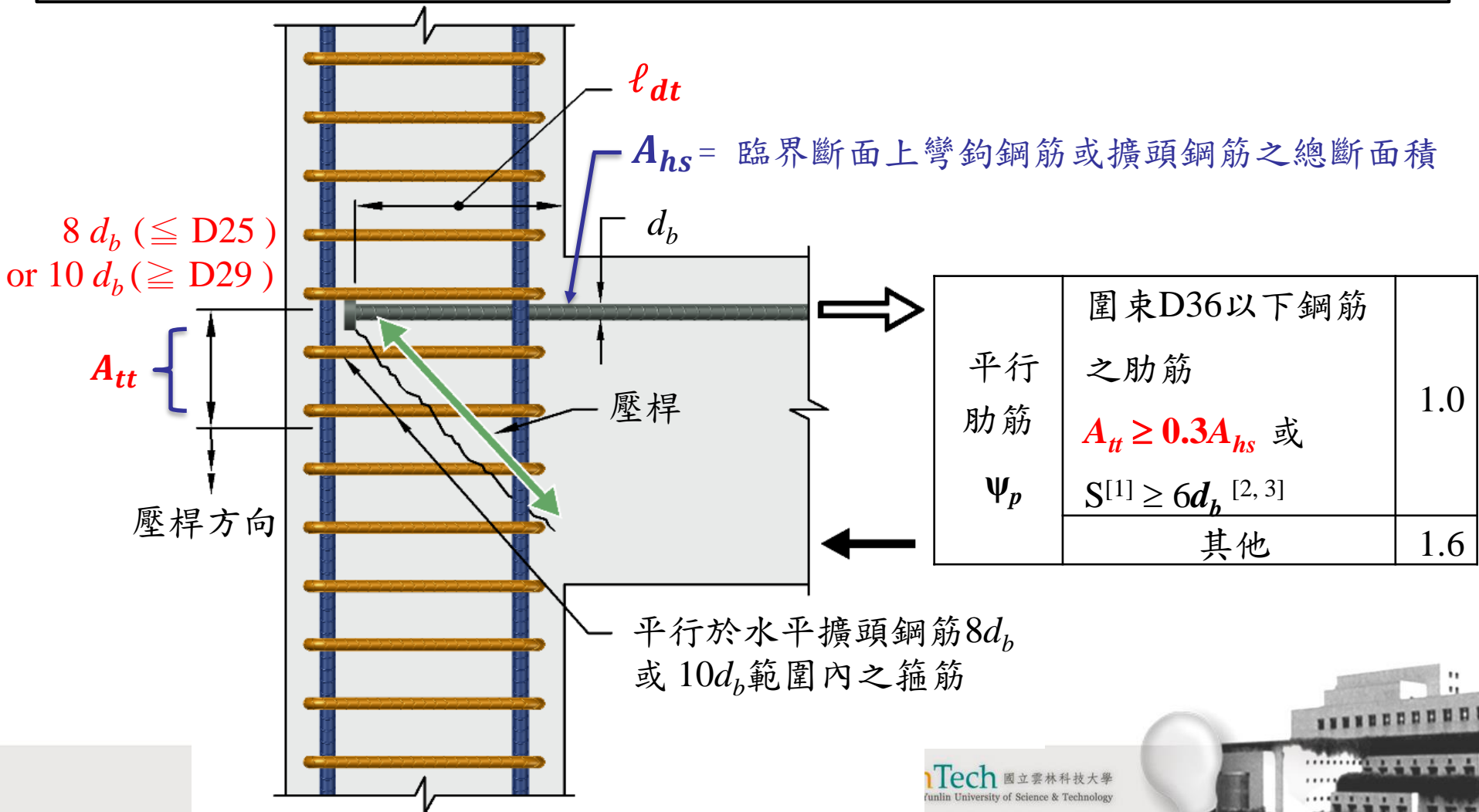
[2]  $d_b$  = 擴頭竹節鋼筋之標稱直徑。

[3] 參見第25.4.4.5節。

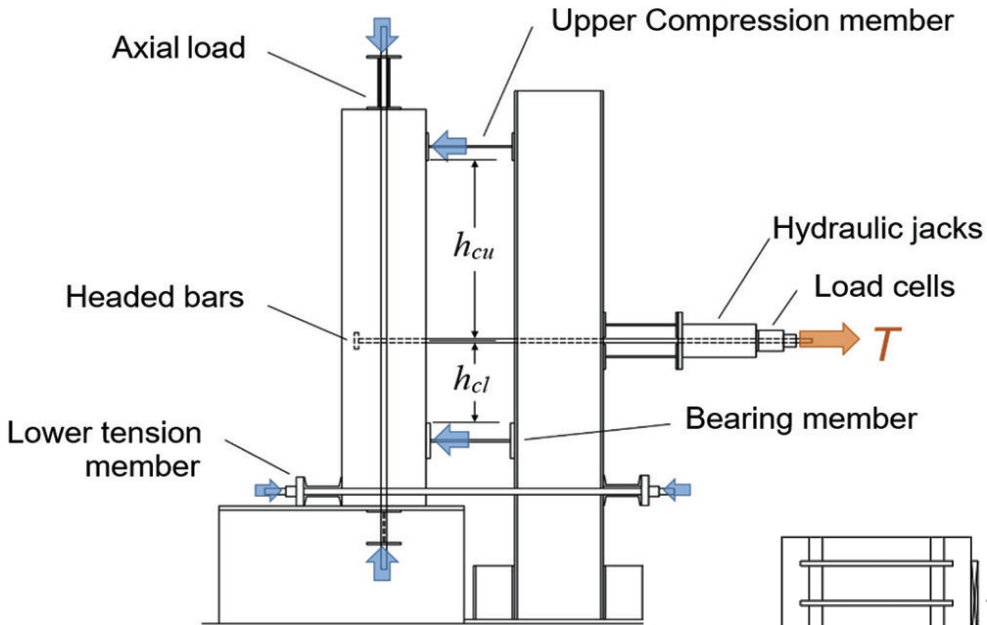
$f'_c$	$\psi_c$
210	0.80
280	0.87
350	0.93



25.4.4.4 梁柱接頭區平行肋筋之總斷面積 $A_{tt}$ 應包含平行於 $l_{dt}$ 之肋筋或箍筋，對D25或較小之擴頭竹節鋼筋而言，前述計入 $A_{tt}$ 之肋筋或箍筋須配置於從擴頭竹節鋼筋中心起向接頭中心 $8d_b$ 的範圍，對D29或較大之擴頭鋼筋而言，則允許該範圍擴大為 $10d_b$ ，其中 $d_b$ 為擴頭竹節鋼筋之標稱直徑。

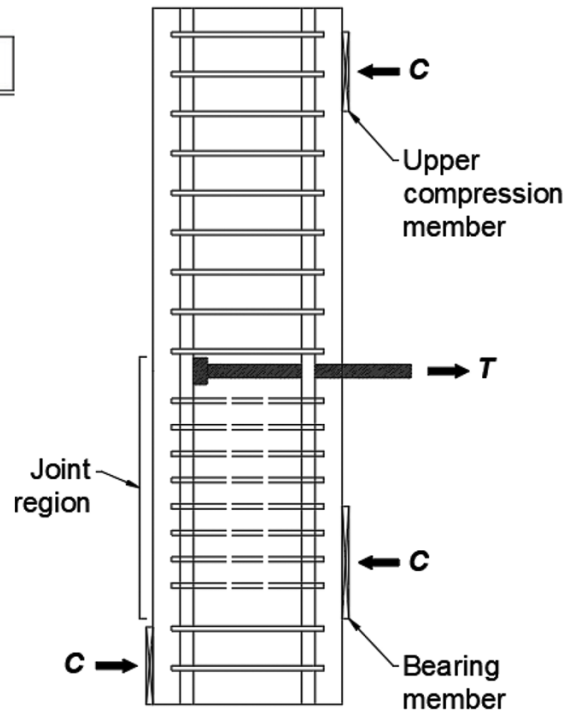


# Monotonic tests in U of Kansas

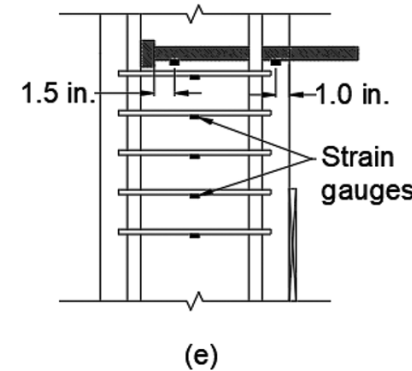
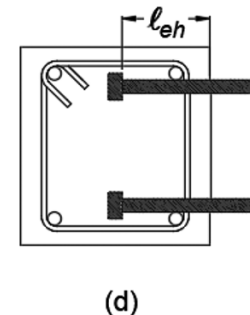
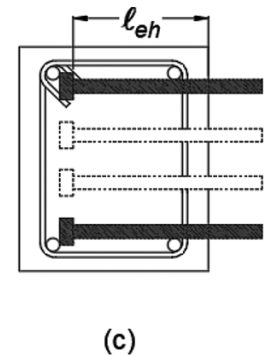
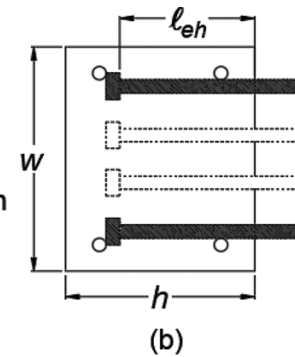


(a)

(b)

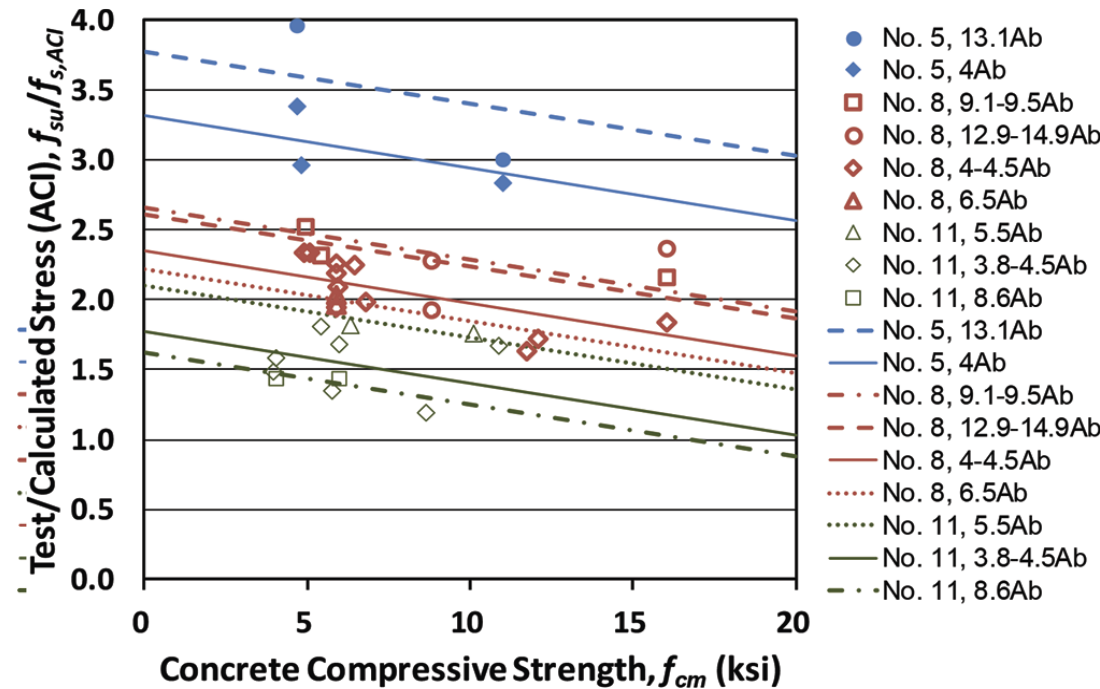
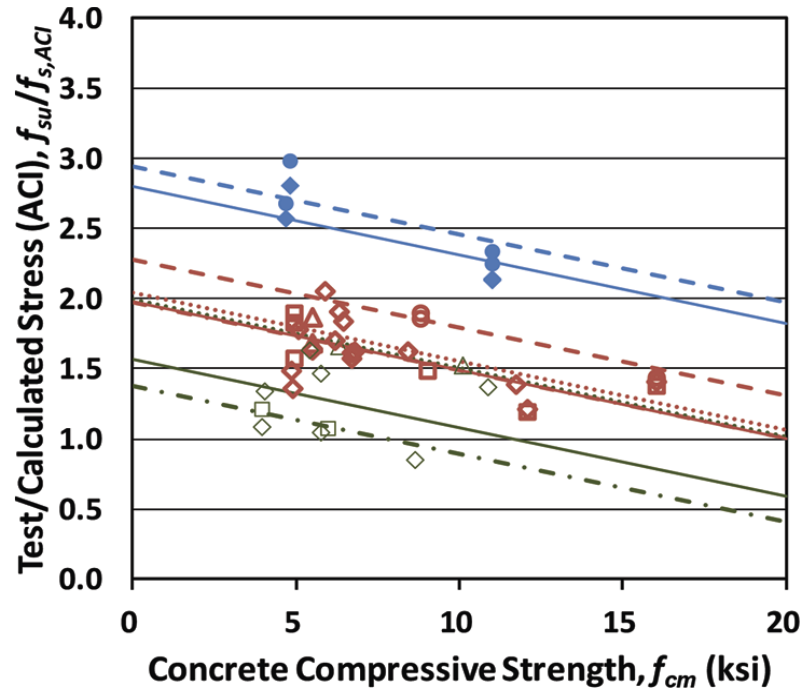


(a)



Ghimire, K. P.; Shao, Y.; Darwin, D.; and O'Reilly, M., "Conventional and High-Strength Headed Bars-Part 1: Anchorage Tests," ACI Structural Journal, 116(3), 2019, 255-264.

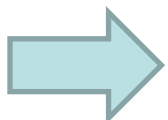
# Monotonic tests in U of Kansas



- No. 5, 13.1Ab
- ◆ No. 5, 4Ab
- No. 8, 9.1-9.5Ab
- No. 8, 12.9-14.9Ab
- ◇ No. 8, 4-4.5Ab
- △ No. 8, 6.5Ab
- △ No. 11, 5.5Ab
- ◇ No. 11, 3.8-4.5Ab
- No. 11, 8.6Ab
- - - No. 5, 13.1Ab
- - - No. 5, 4Ab
- - - No. 8, 9.1-9.5Ab
- - - No. 8, 12.9-14.9Ab
- - - No. 8, 4-4.5Ab
- - - No. 8, 6.5Ab
- - - No. 11, 5.5Ab
- - - No. 11, 3.8-4.5Ab
- - - No. 11, 8.6Ab

Fig. 8—Ratio of test-to-calculated stress  $f_{su}/f_{s,ACI}$  versus measured concrete compressive strength  $f_{cm}$  for specimens without confining reinforcement in joint region.

Fig. 10—Ratio of test-to-calculated stress  $f_{su}/f_{s,ACI}$  versus measured concrete compressive strength  $f_{cm}$  for specimens with No. 3 hoops spaced at  $3d_b$  in joint region.



評判 ACI 318-14的  $l_{dt}$  對#5鋼筋過保守、#8鋼筋OK、#11不夠保守

# Recent studies in U of Kansas



David Darwin

對 202 類接頭錨定試體作迴歸分析，建議2個經驗公式  
(ACI 318-19錨定長度之基準)

$$T_h = 781 f'_{c,m}{}^{0.24} \ell_{eh}{}^{1.03} d_b{}^{0.35} \left( 0.0836 \frac{c_{ch}}{d_b} + 0.344 \right) \quad (\text{in.-lb}) \quad (1a)$$

$$T_h = 132 f'_{c,m}{}^{0.24} \ell_{eh}{}^{1.03} d_b{}^{0.35} \left( 0.0836 \frac{c_{ch}}{d_b} + 0.344 \right) \quad (\text{SI}) \quad (1b)$$

with  $0.0836 \frac{c_{ch}}{d_b} + 0.344 \leq 1.0$

$$T_h = \left( 781 f'_{c,m}{}^{0.24} \ell_{eh}{}^{1.03} d_b{}^{0.35} + 48800 \frac{A_{tt}}{n} d_b{}^{0.88} \right) \left( 0.0622 \frac{c_{ch}}{d_b} + 0.543 \right) \quad (\text{in.-lb}) \quad (2a)$$

$$T_h = \left( 132 f'_{c,m}{}^{0.24} \ell_{eh}{}^{1.03} d_b{}^{0.35} + 19.5 \frac{A_{tt}}{n} d_b{}^{0.88} \right) \left( 0.0622 \frac{c_{ch}}{d_b} + 0.543 \right) \quad (\text{SI}) \quad (2b)$$

with  $0.0622 \frac{c_{ch}}{d_b} + 0.543 \leq 1.0$  and  $\frac{A_{tt}}{n} \leq 0.3A_b$



# Recent studies in U of Kansas

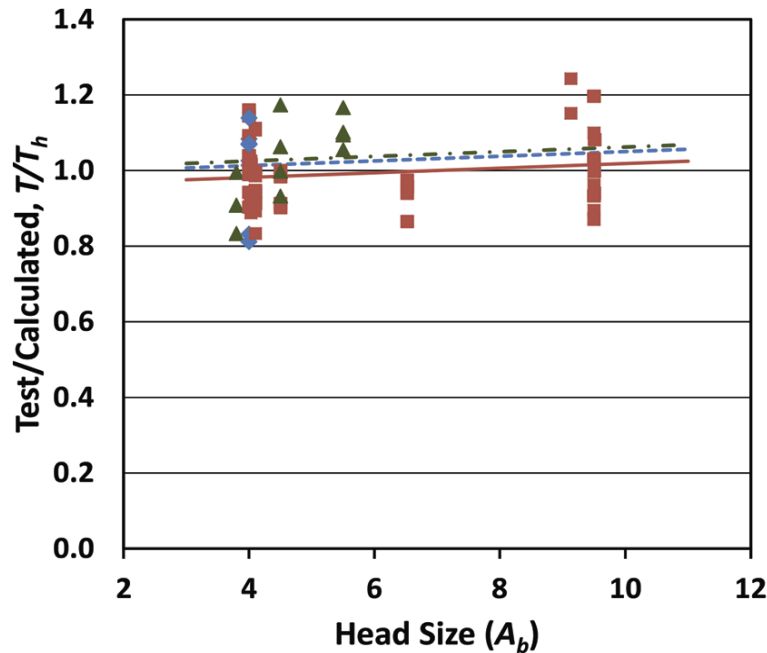


Fig. 10—Ratio of test-to-calculated failure load  $T/T_h$  versus head size for specimens with confining reinforcement.

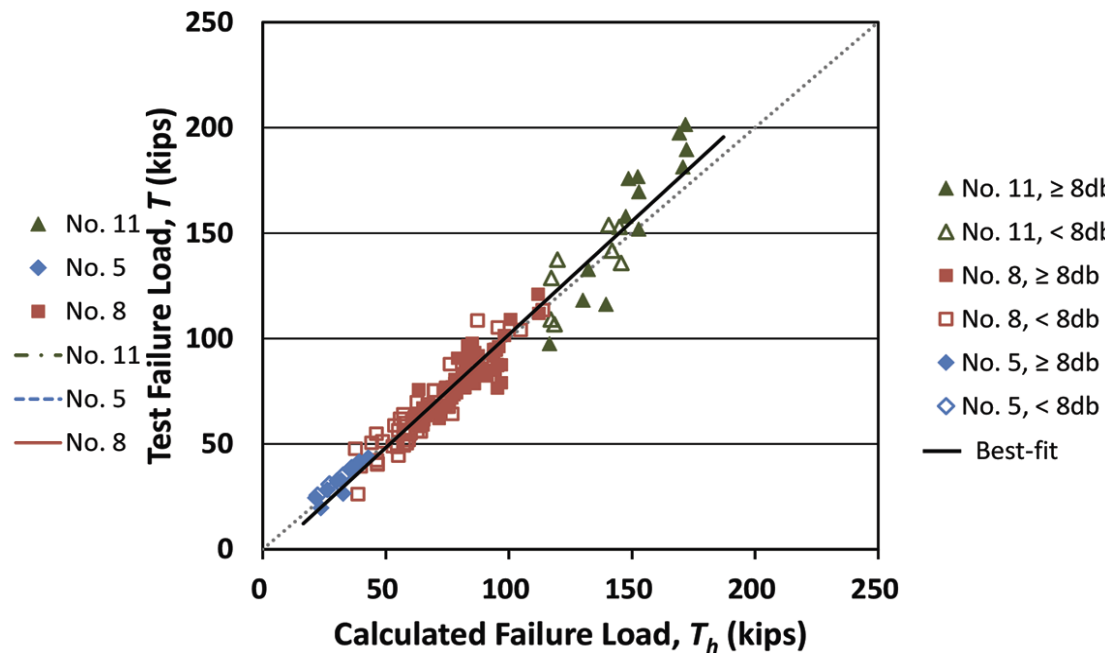
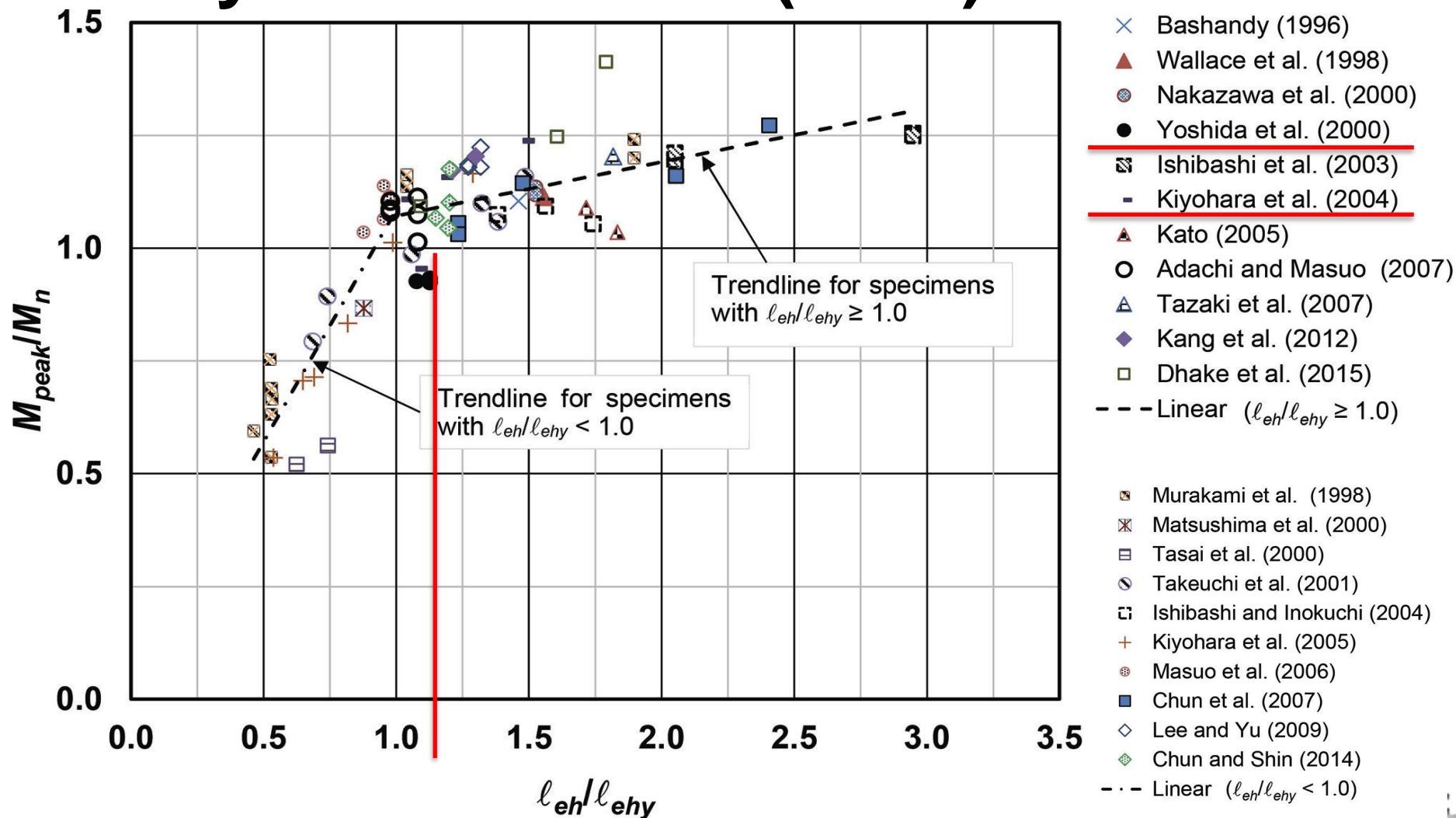


Fig. 11—Test failure load  $T$  versus calculated failure load  $T_h$  for specimens without and with confining reinforcement.  $T_h$  is calculated based on Eq. (4) and (8). (Note: 1 kip = 4.448 kN.)



# Review 23 studies of BCJs by Ghimire et al. (2021)

這些是反復載重測試之梁柱接頭試體，但是…



Ghimire, K. P.; Darwin, D.; and Lepage, A., "Headed Bars in Beam-Column Joints Subjected to Reversed Cyclic Loading," ACI Structural Journal, 118(3), 2021, pp. 27-33.

以 Yoshida 的試體No.1-3為例，Ash遠低於ACI規範要求

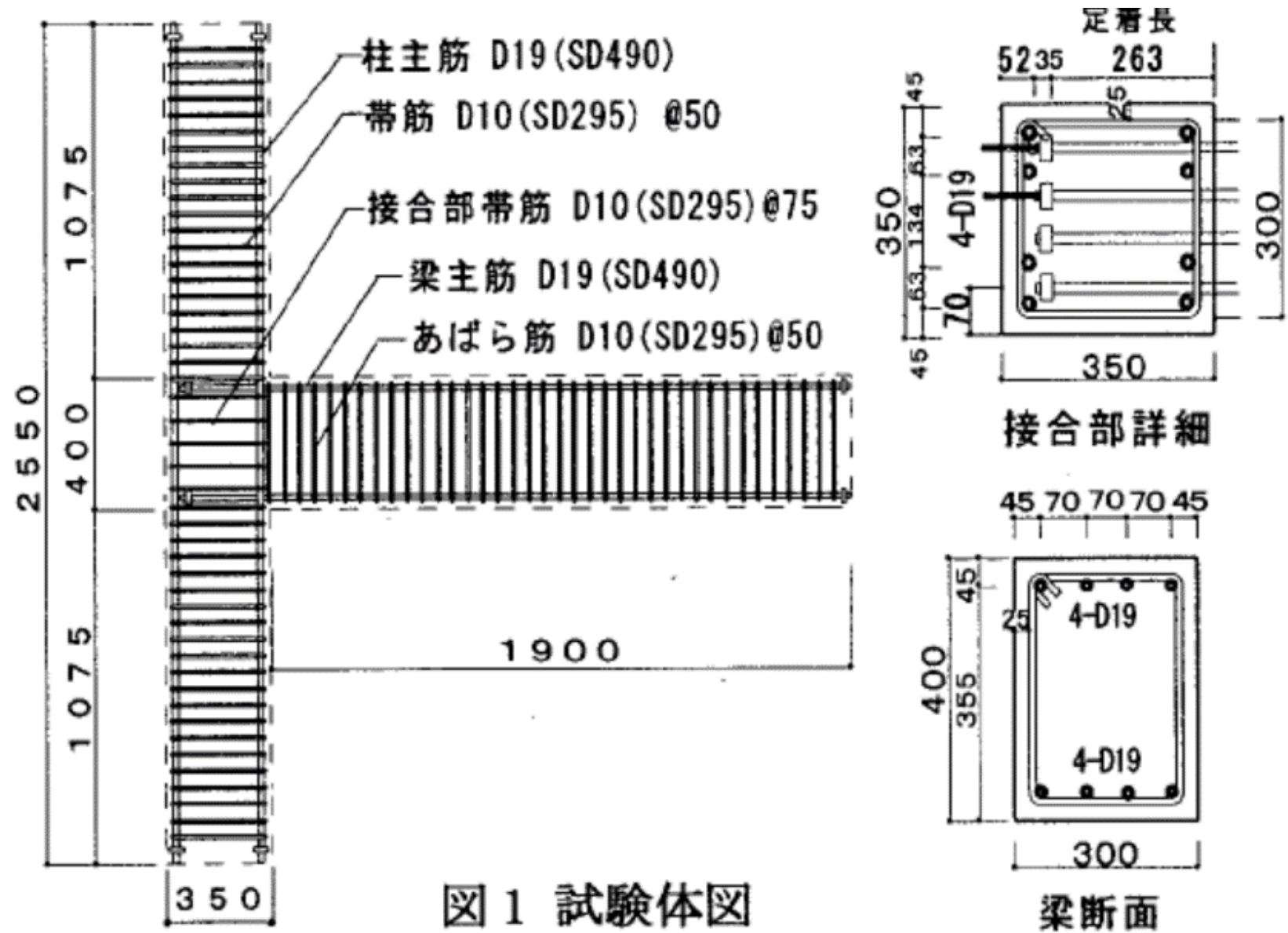
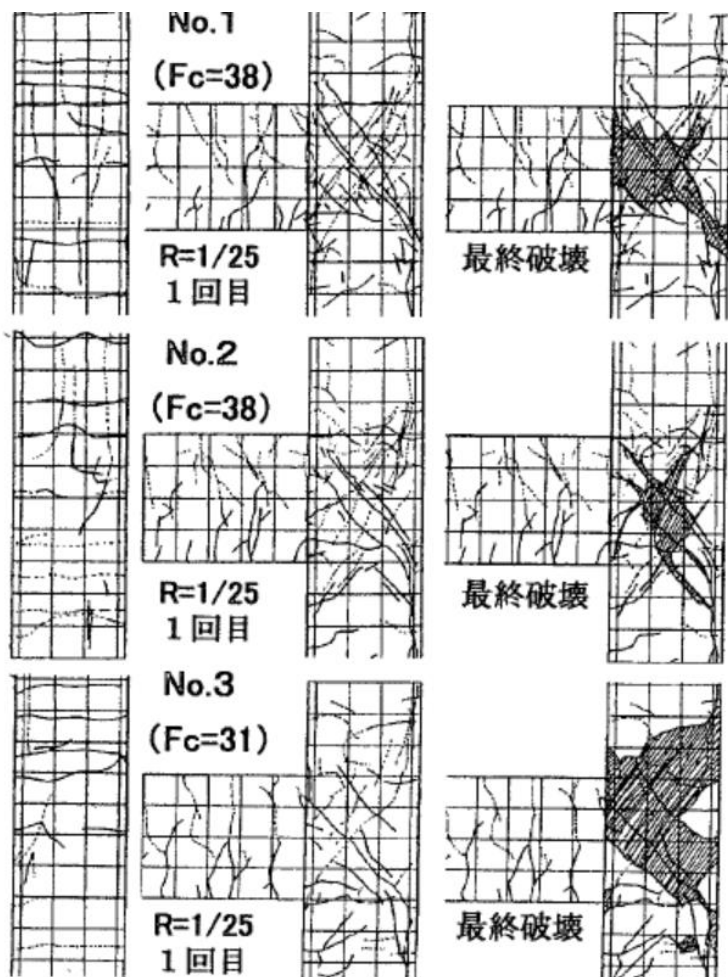


図1 試験体図



吉田純子, 石橋一彦, 中村一彦, “23318 外柱梁接合部におけるナット定着板の性能に関する実験的研究：その1 試験体と実験概要,” 日本建築学会学術講演梗概集 2000年 9月



背面

図4 ひび割れ状況

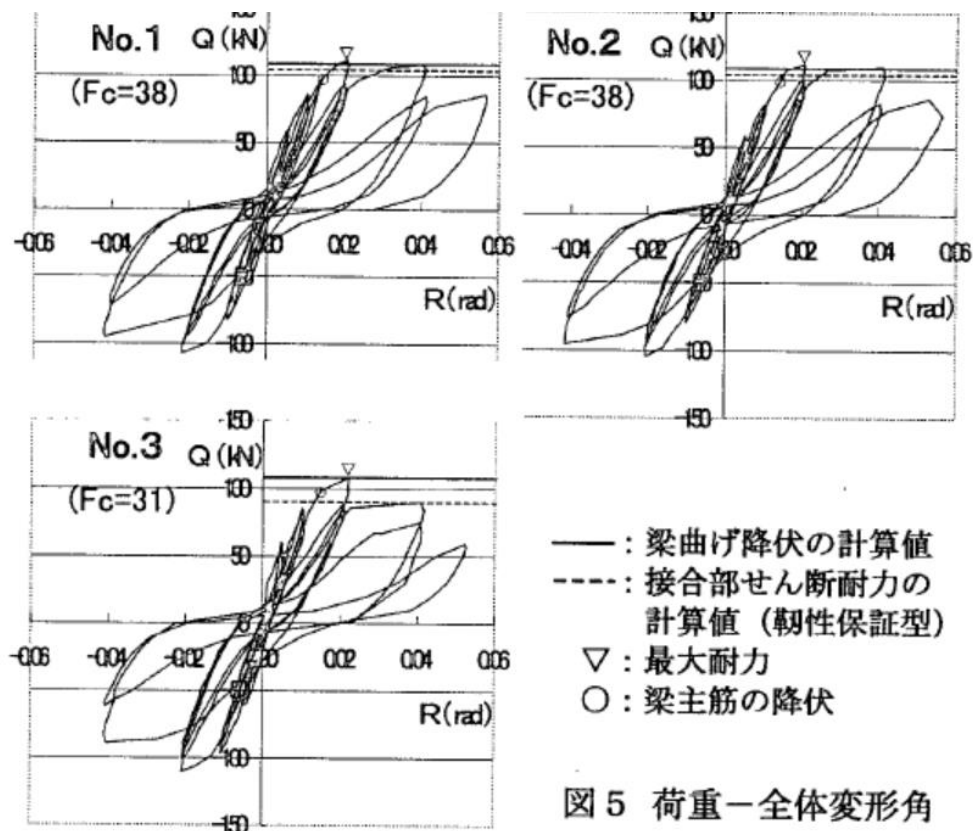
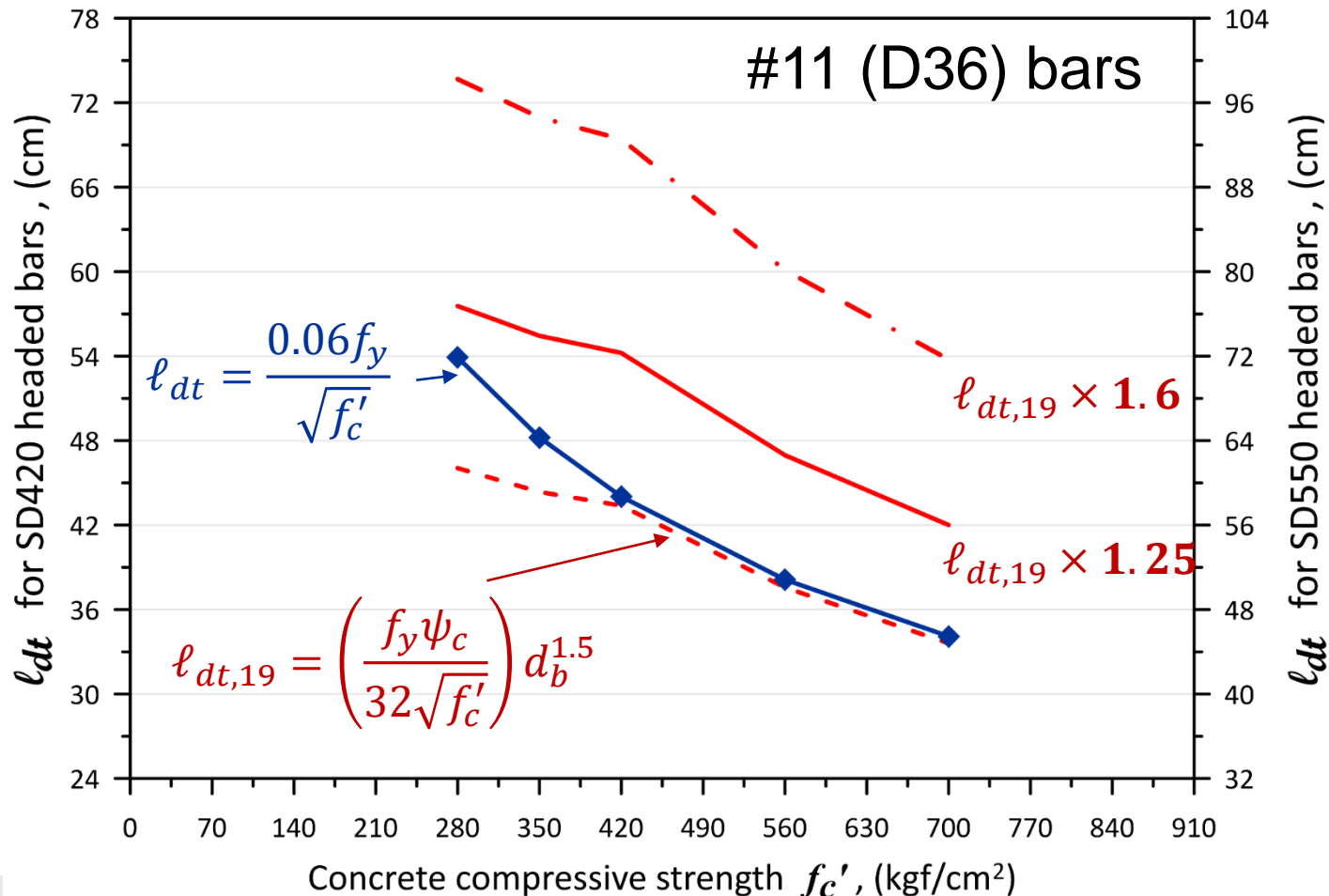


図5 荷重-全体変形角

各試験体とも、曲げ降伏耐力計算値に至るまでに剛性が低下し始めた。その剛性の低下は、No. 1、No. 2、No. 3の順に大きい。特に、コンクリート強度が低かったNo. 3で顕著である。これは、接合部せん断変形が他に

# ACI 318-19 第18章 (土木401-110第18章)

18.5.5.2 符合第20.2.1.6節規定之擴頭竹節鋼筋，其受拉伸展應符合第25.4.4節之規定，惟梁縱向鋼筋應以 $1.25f_y$ 取代 $f_y$ 進行計算...





# 我方最新研究之接頭設計參數

Parameter Specimen	Materials				Beam	Joint	Col. Reinf.		Anchorage			
	$f_y$ ksi (MPa)	$f_{yt}$ ksi (MPa)	$f'_c$ psi (MPa)	$\sqrt{f'_c}$ psi	$A_s$	$\frac{V_u}{V_n}$	$A_{st,col}$	$\frac{A_{tt}}{A_{hs}}$	$l_{dt,14}$ ( $d_b$ )	$l_{dt,19}$ ( $d_b$ )	$l_{eh}$ ( $d_b$ )	
N4	60 (420)	40 (280)	4,000 (28)	63	4 #11	0.81	12 #8	0.39	15.2	16.3	16.2	
N5					5 #11	1.01	12 #10	0.32				16.3
N6					6 #11	1.23	12 #11	0.26				26.0
M4	80 (550)	60 (420)	6,000 (42)	77	4 #11	0.86	12 #8	0.39	16.5	20.4	16.2	
M5					5 #11	1.08	12 #10	0.32				20.4
M6					6 #11	1.31	12 #11	0.26				32.7
H4	100 (690)	100 (690)	10,000 (69)	100	4 #11	0.81	12 #8	0.39	16.0	19.8	16.2	
H5					5 #11	1.01	12 #10	0.32				19.8
H6					6 #11	1.23	12 #11	0.26				31.7

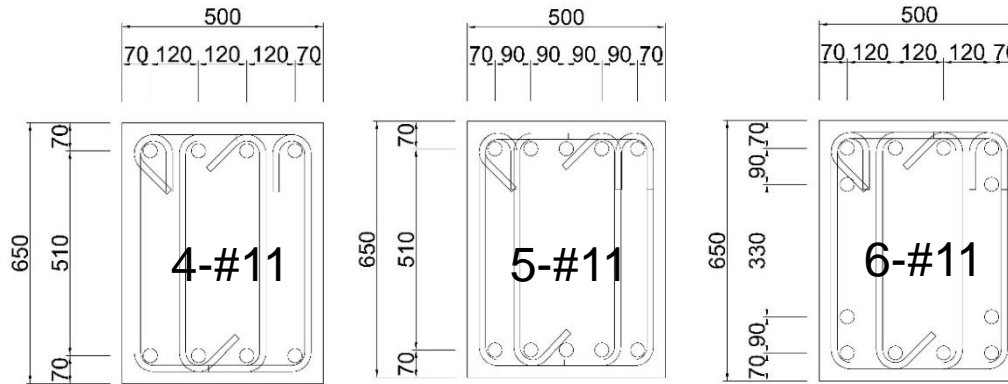
$$l_{dt,14} = \frac{0.016f_y}{\sqrt{f'_c}} d_b [\text{英}] = \frac{0.192f_y}{\sqrt{f'_c}} d_b [\text{SI}] = \frac{0.06f_y}{\sqrt{f'_c}} d_b [\text{公}]$$

4-#11 ( $\frac{V_u}{V_n} \approx 0.8$ )

5-#11 ( $\frac{V_u}{V_n} \approx 1.0$ )

6-#11 ( $\frac{V_u}{V_n} \approx 1.2$ )

$M_R = 2.3 \sim 2.8$



$120/36 = 3.33d_b$

$90/36 = 2.5d_b$

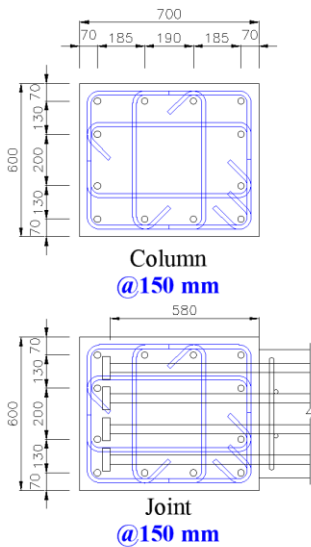
$120/36 = 3.33d_b$

Unit: mm

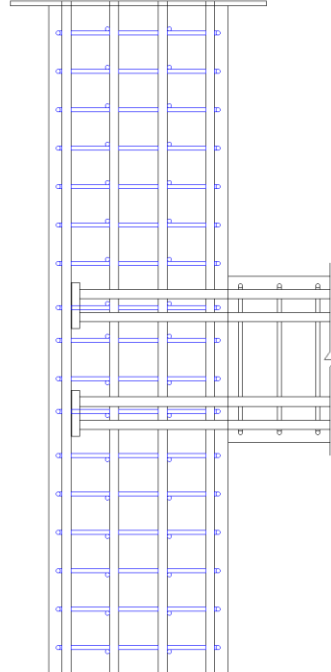
ACI 要求  
間距  
至少  $3d_b$

# Design parameters for confinement

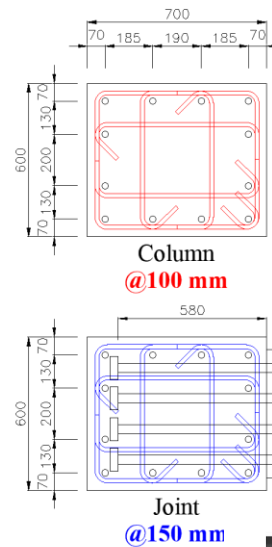
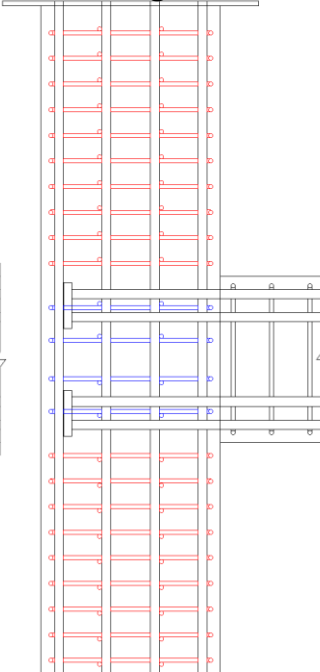
Group	$f_{yt}$ (psi) [MPa]	$f'_c$ (psi) [MPa]	$A_{sh}/sb_c$				
			$P = 0.10A_gf'_c$		$P = 0.45A_gf'_c$		
			Code	Col. & Joint	Code	Col.	Joint
N	40 [280]	4,000 [28]	0.009	0.010	N.A.		
M	60 [420]	6,000 [42]			0.015	0.015	0.010
H	100 [690]	10,000 [69]					



$0.10A_gf'_c$



$0.45A_gf'_c$



$$\frac{A_{sh}}{sb_c} \geq 0.3 \frac{f'_c}{f_{yt}} \left( \frac{A_g}{A_{ch}} - 1 \right) \quad (a)$$

$$\frac{A_{sh}}{sb_c} \geq 0.09 \frac{f'_c}{f_{yt}} \quad (b)$$

$$\frac{A_{sh}}{sb_c} \geq 0.2k_fk_n \times \frac{P_u}{f_{yt}A_{ch}} \quad (c)$$

土木401-110 18.5.3.1  
(c)式不適用接頭

N · M Group

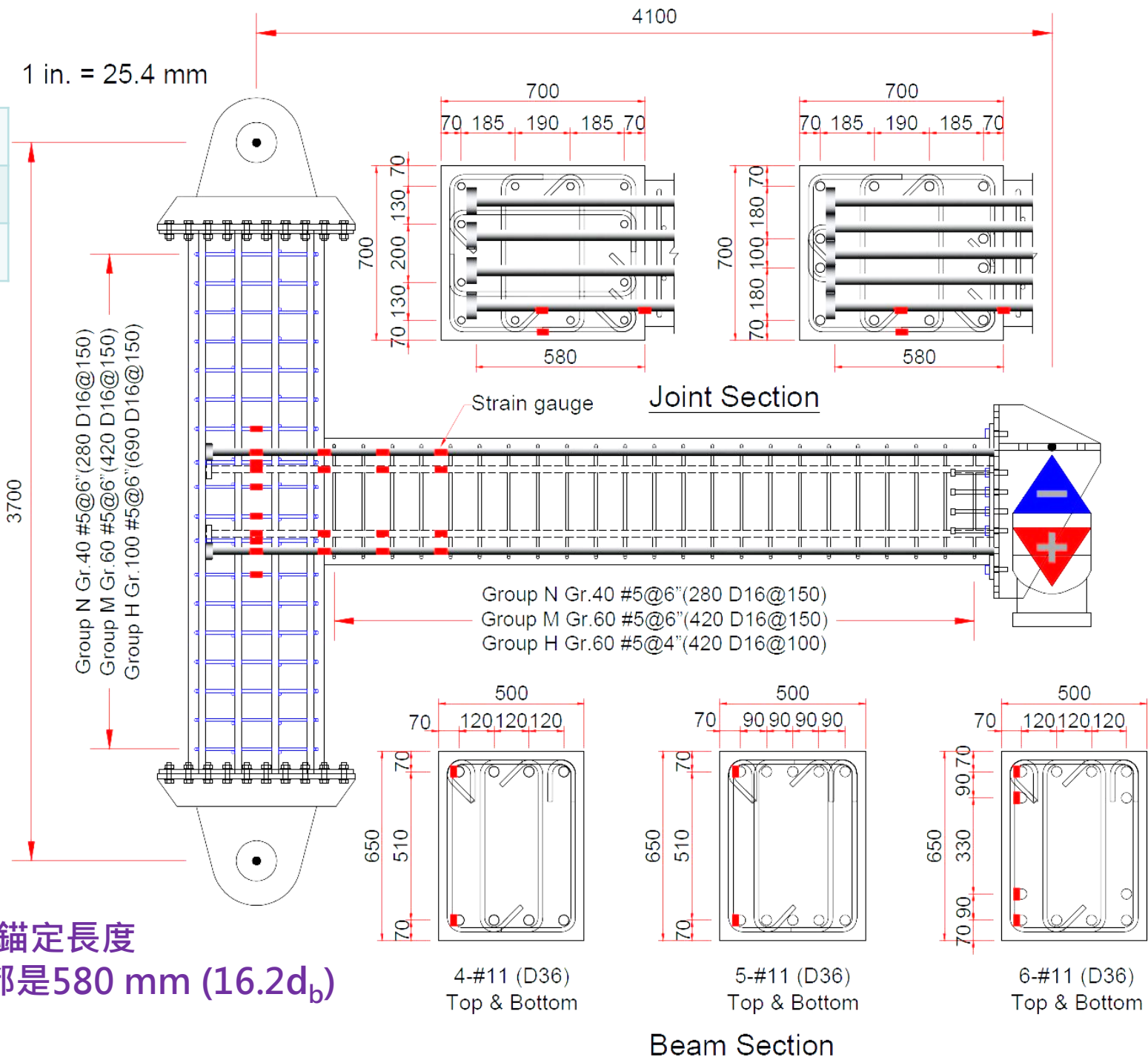
H Group

N4、N5、N6

M4、M5、M6

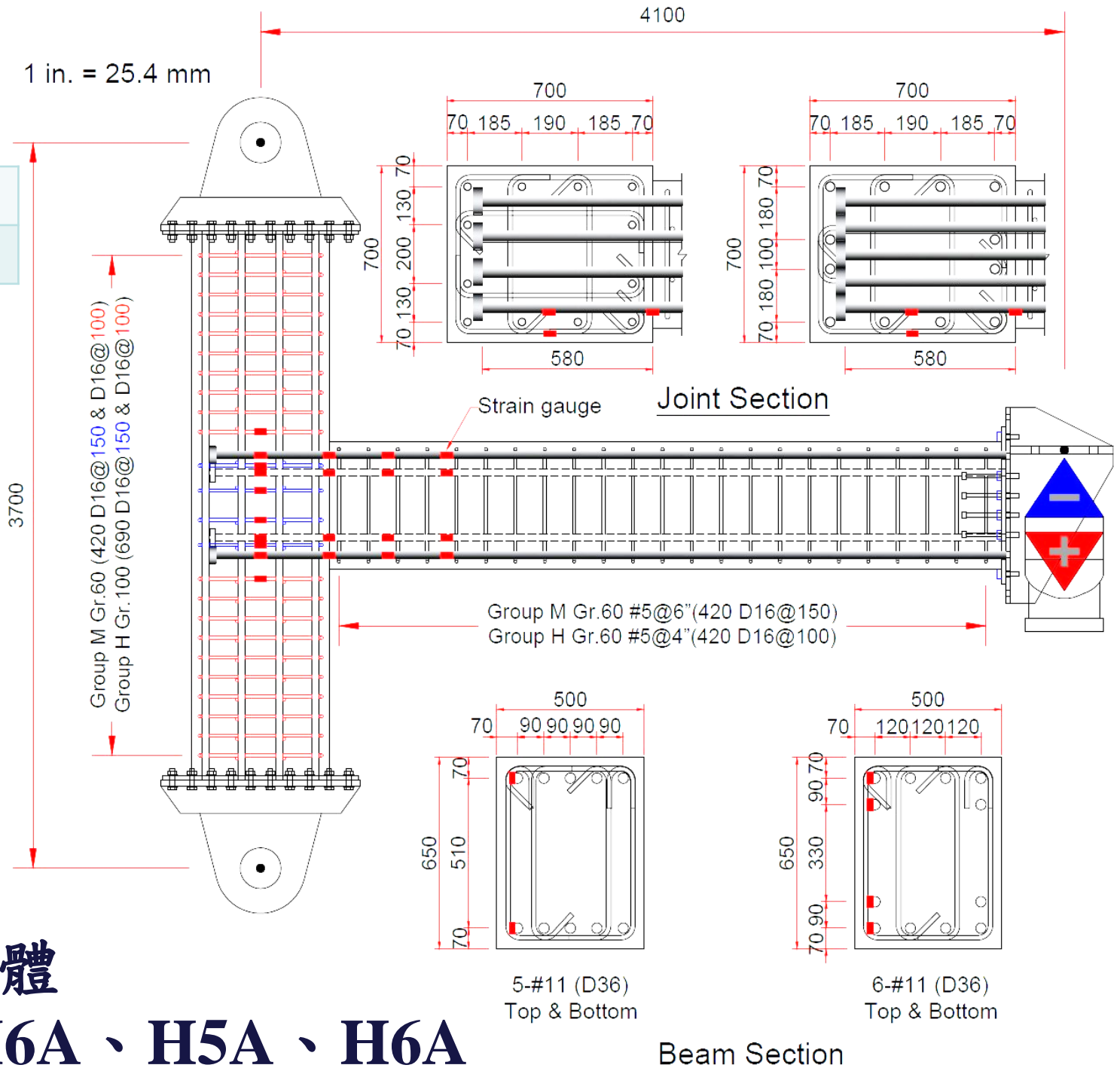
H4、H5、H6

$$P = 0.1A_g f'_c$$



**M5A · M6A**  
**H5A · H6A**

$$P = 0.45A_g f'_c$$



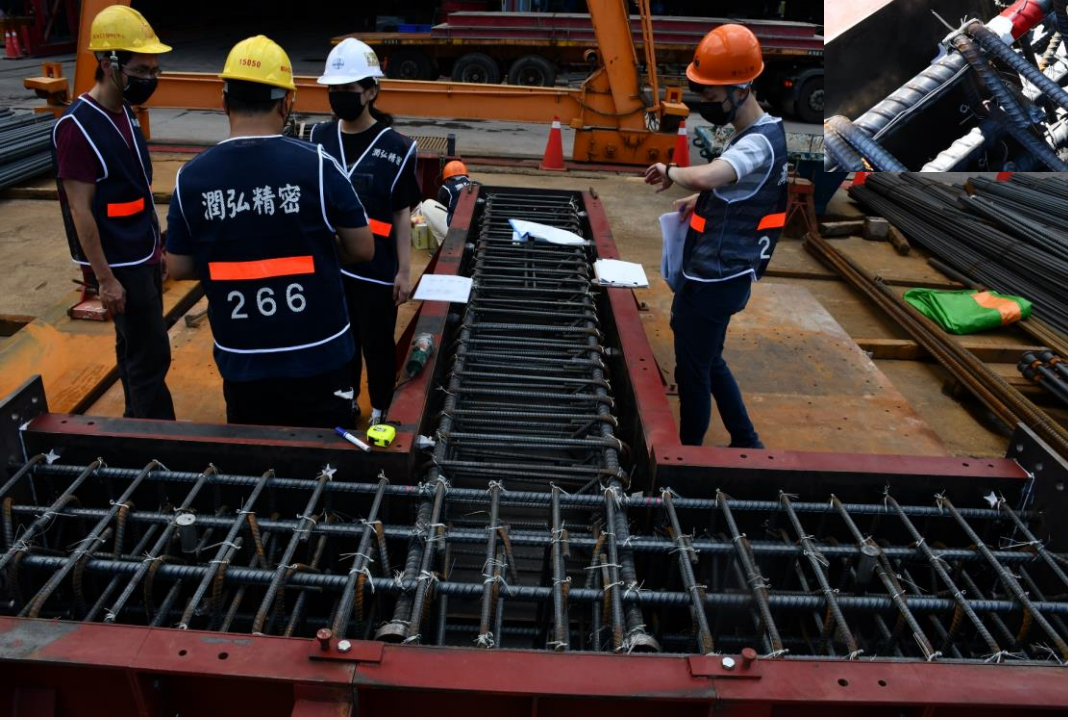
# 高軸力試體

**M5A · M6A · H5A · H6A**





# 試體製造 @ 潤弘楊梅工廠





# 實際材料參數

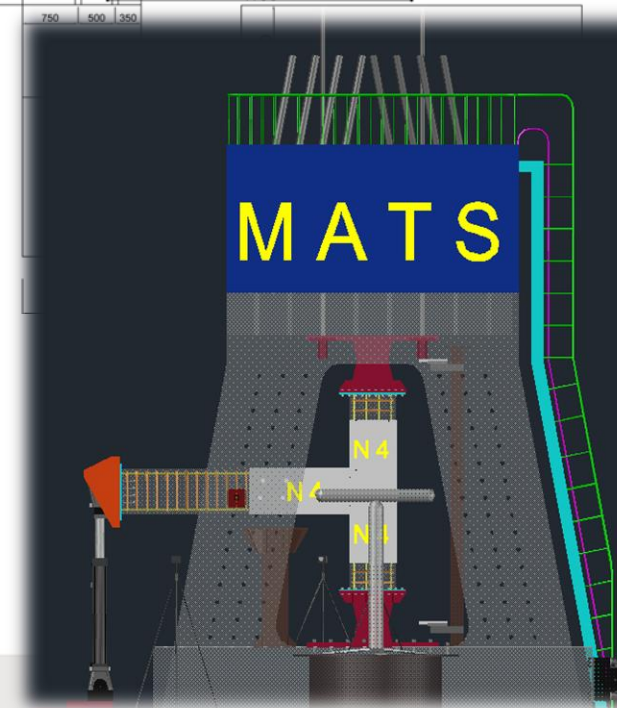
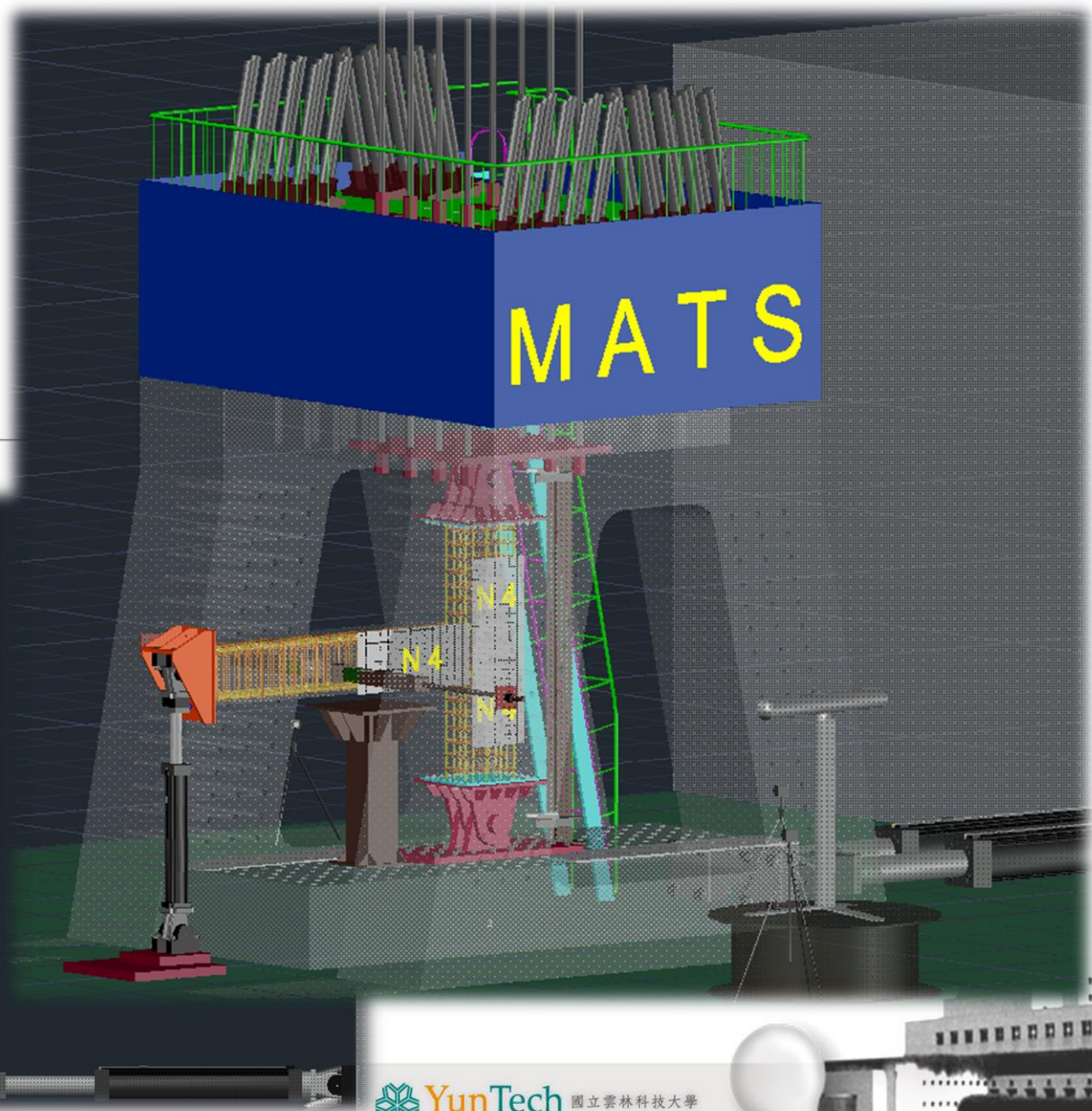
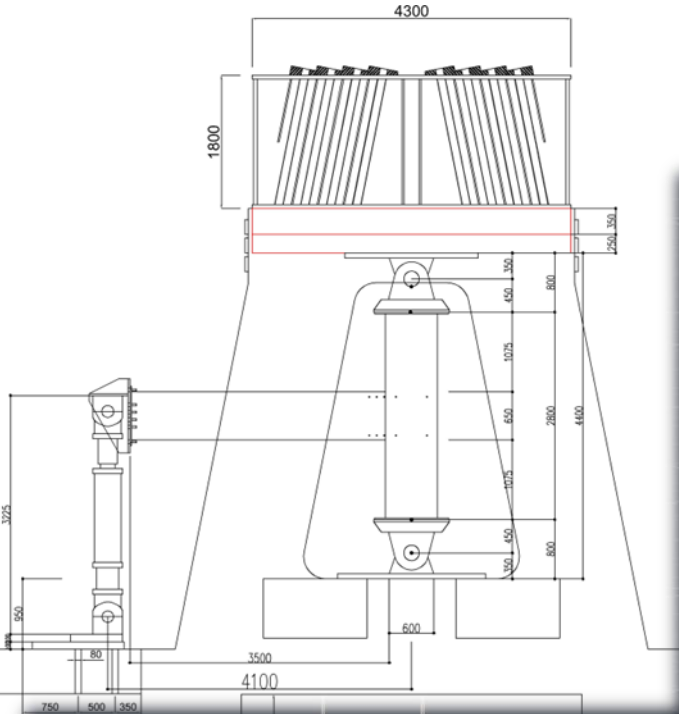
Group ( $f'_c / f_y$ )	Specimen	$f'_{c,m}$	$f_{y,m}$	$f_{u,m}$	$f_{u,m} / f_{y,m}$	$T\text{-head}$ $A_{brg}$
N (28/420)	N4	39	462	649	1.41	5.2
	N5	34				
	N6	33				
M (42/550)	M4	43	568	722	1.27	5.3
	M5 (M5A)	50 (46)				
	M6 (M6A)	44 (44)				
H (69/690)	H4	79	749	962	1.29	5.3
	H5 (H5A)	70 (86)				
	H6 (H6A)	86 (76)				

$f'_{c,m}$  : 混凝土實際抗壓強度(MPa)  
(A) :  $0.45A_g f'_c$ 之軸力試體

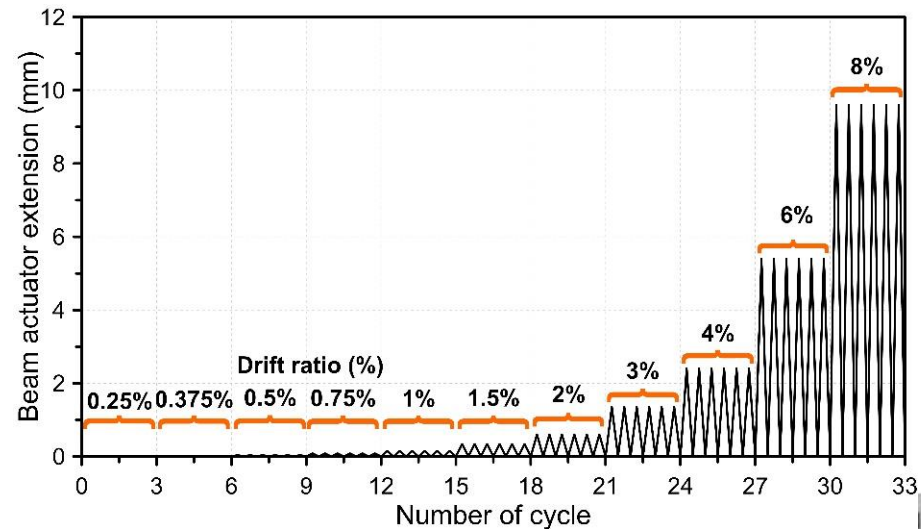
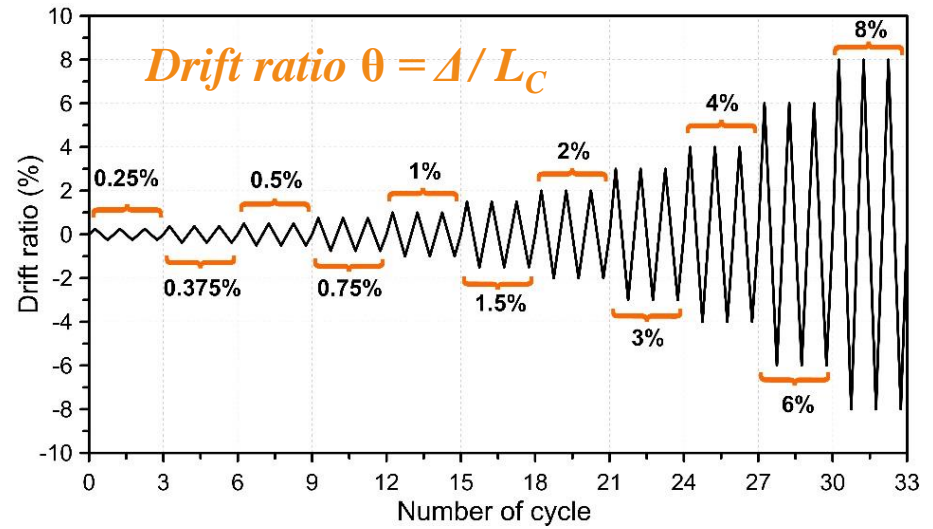
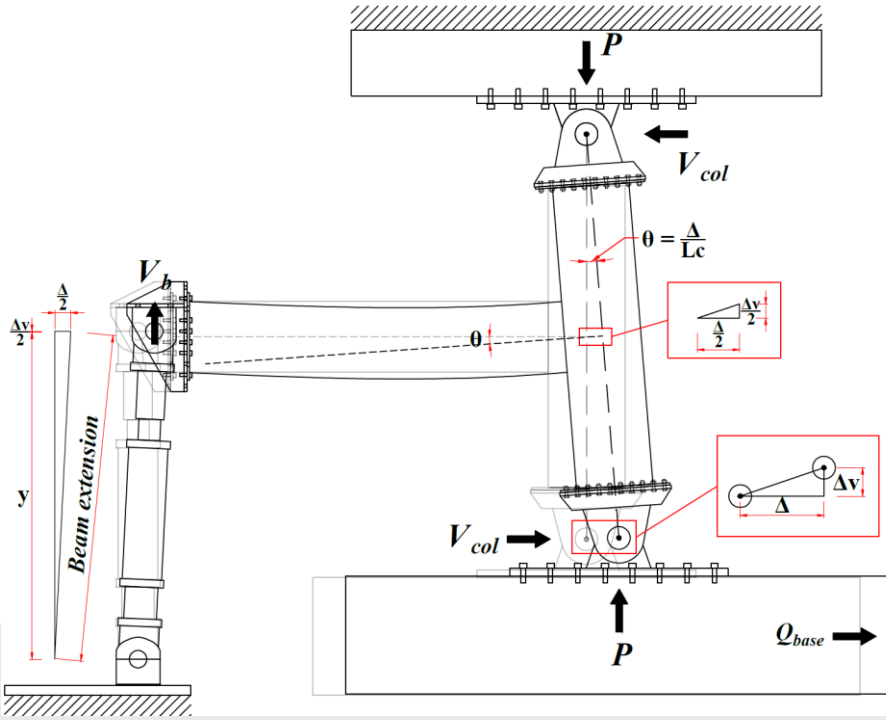
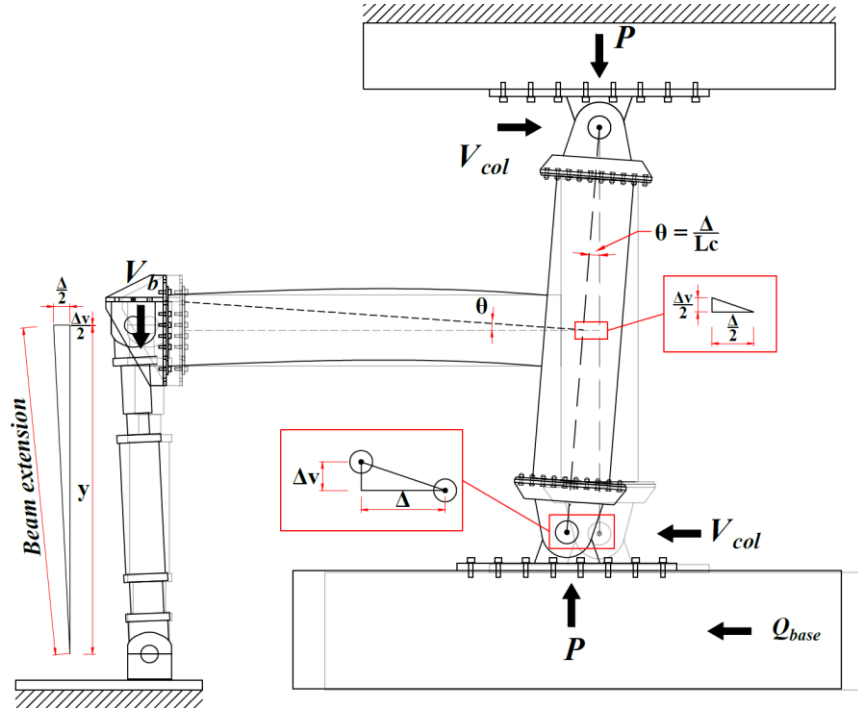
$f_{y,m}$  : 鋼筋實際抗拉強度(MPa)

$f_{u,m}$  : 鋼筋實際極限抗拉強度(MPa)

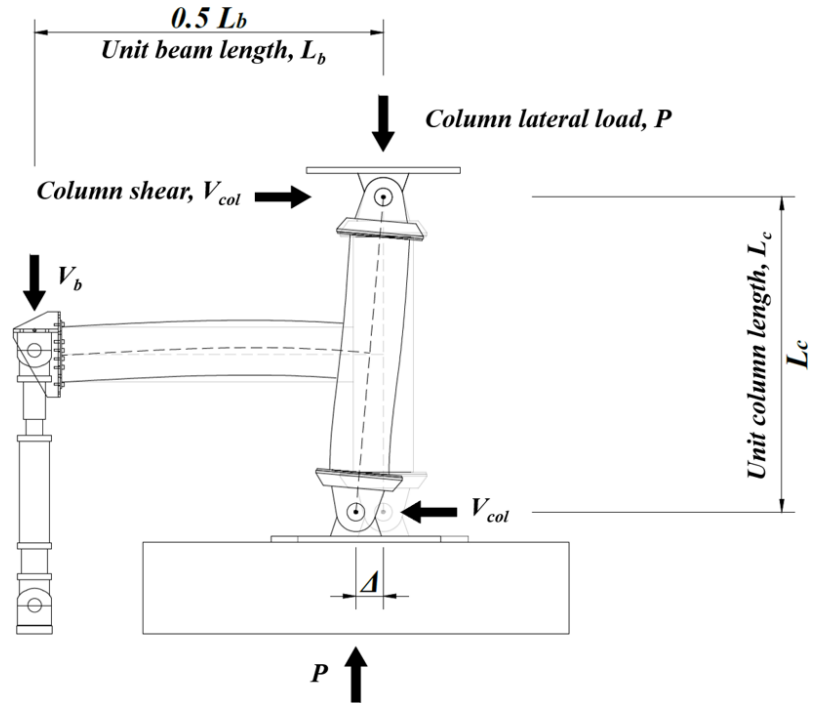
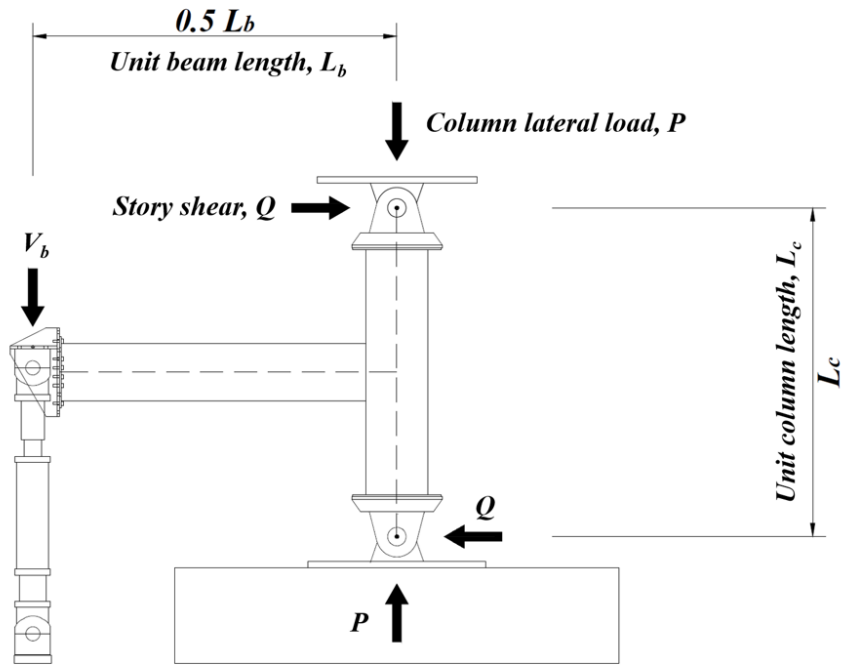




# Loading Procedures



# 符號系統



$$Q \times L_c = V_b \times 0.5 L_b = V_{col} \times L_c + P \times \Delta$$

$$\Rightarrow Q = V_b \times 0.5 L_b / L_c = V_{col} + P \times \Delta / L_c \quad \theta = \Delta / L_c$$

$$\Rightarrow Q = V_b \times 0.5 L_b / L_c = V_{col} + P \times \theta$$

$$V_{col} = V_b \times 0.5 L_b / L_c - P \times \theta$$

$Q$  Story shear

$V_b$  Beam shear

$\Delta$  Story drift displacement

$\theta$  Story drift ratio

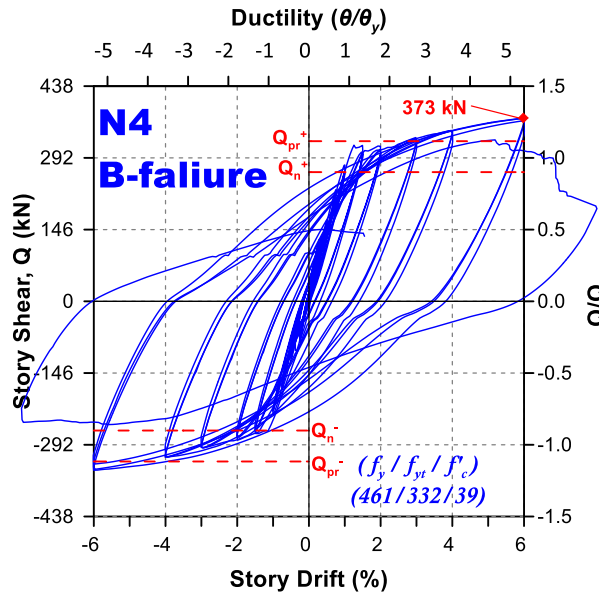
$V_{col}$  Column shear (include  $P\Delta$  effect)



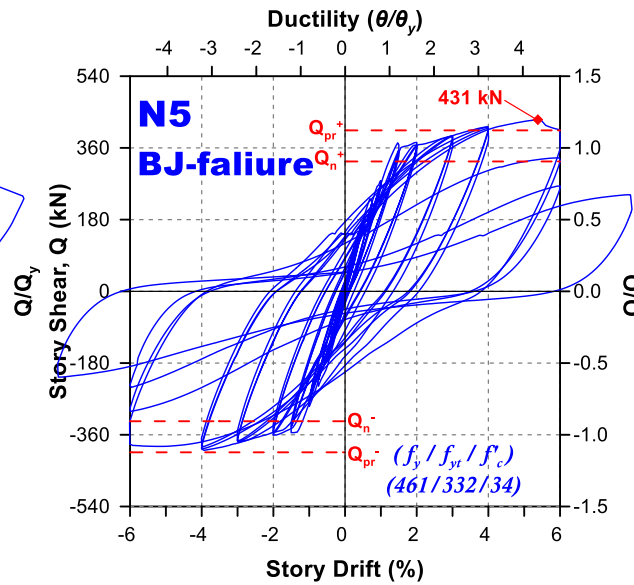
# Group N

$$(f_y/f_{yt}/f'_c) = (420/280/28)$$

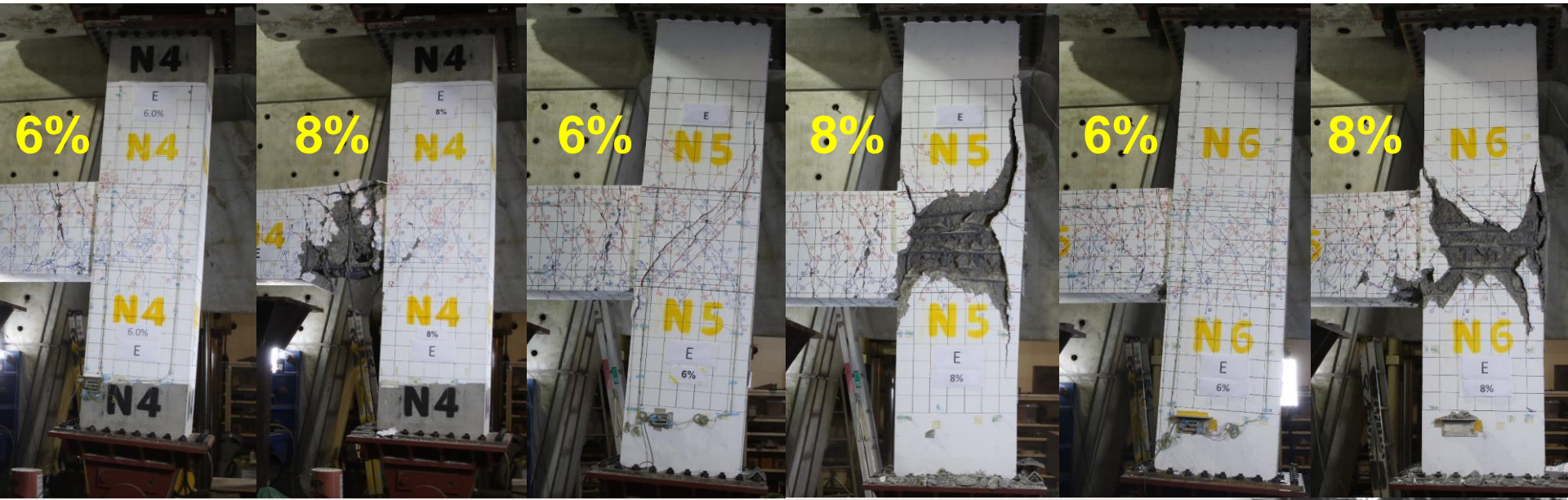
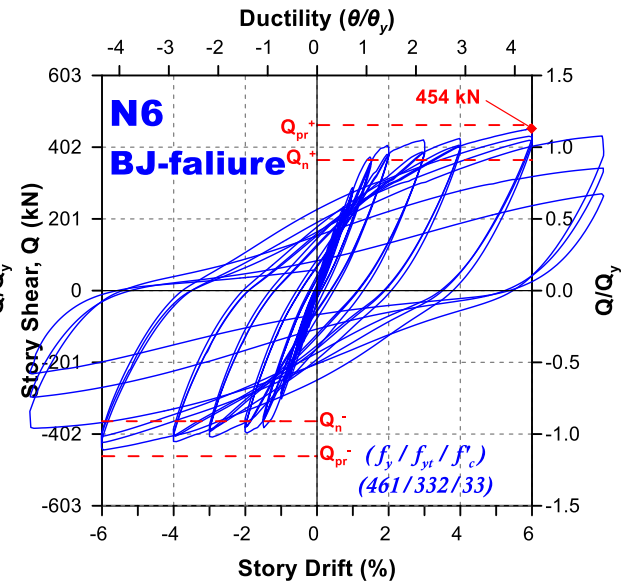
$$Q_{max}/Q_y = 373/292 = 1.28$$



$$Q_{max}/Q_y = 431/360 = 1.20$$



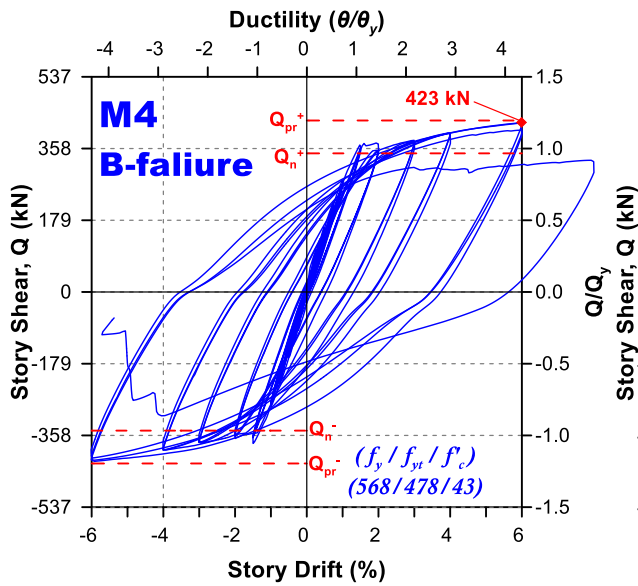
$$Q_{max}/Q_y = 454/402 = 1.13$$



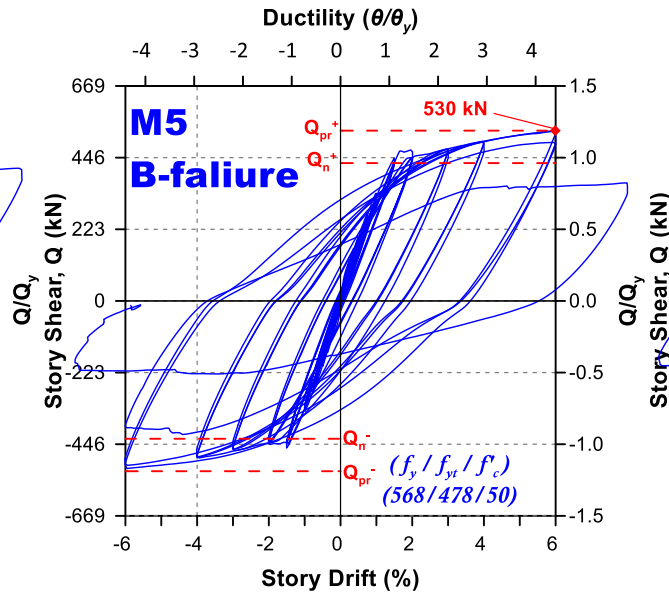


# Group M $(f_y/f_{yt}/f'_c)=(550/420/42)$

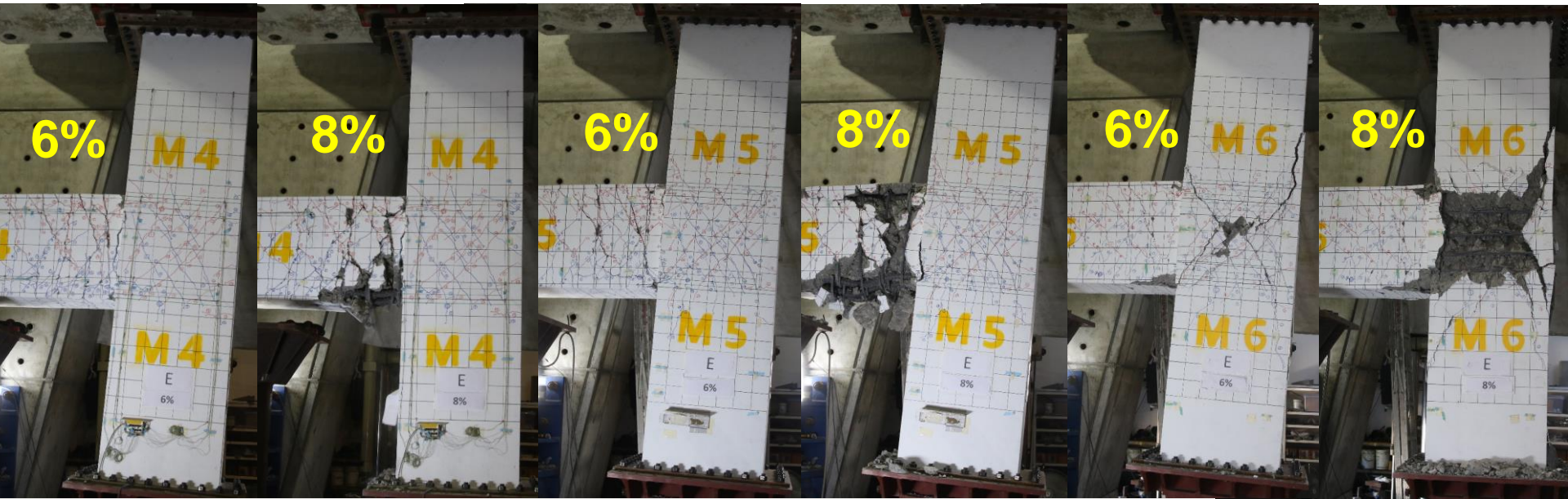
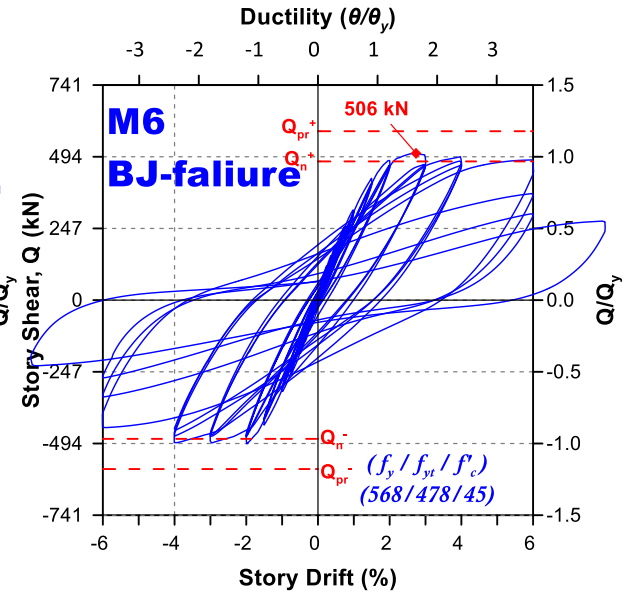
$$Q_{max}/Q_y = 423/358 = 1.18$$



$$Q_{max}/Q_y = 530/446 = 1.19$$

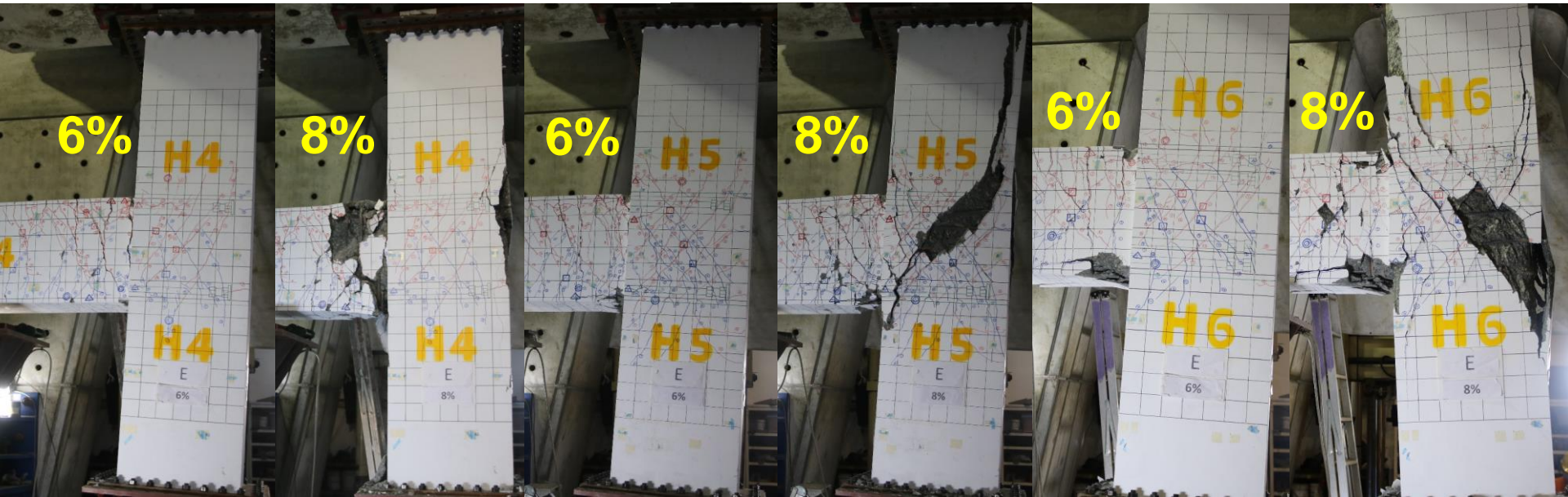
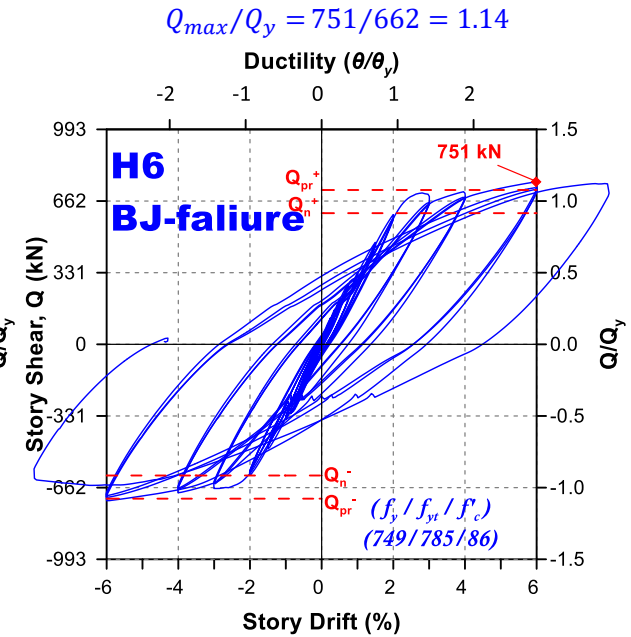
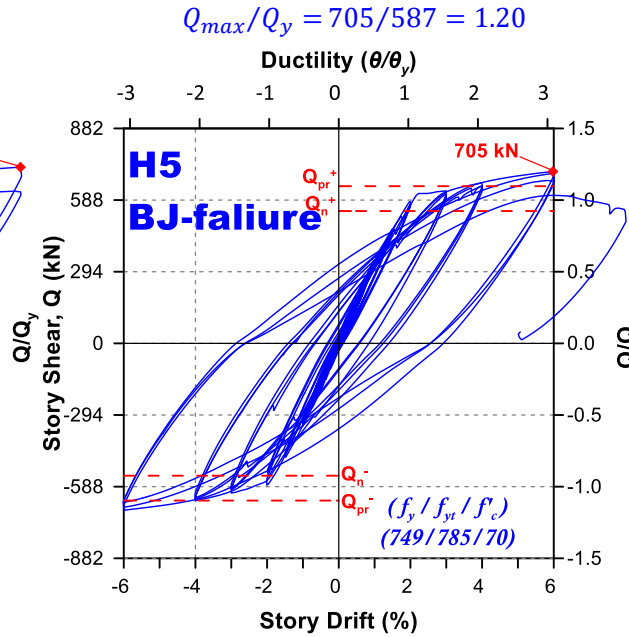
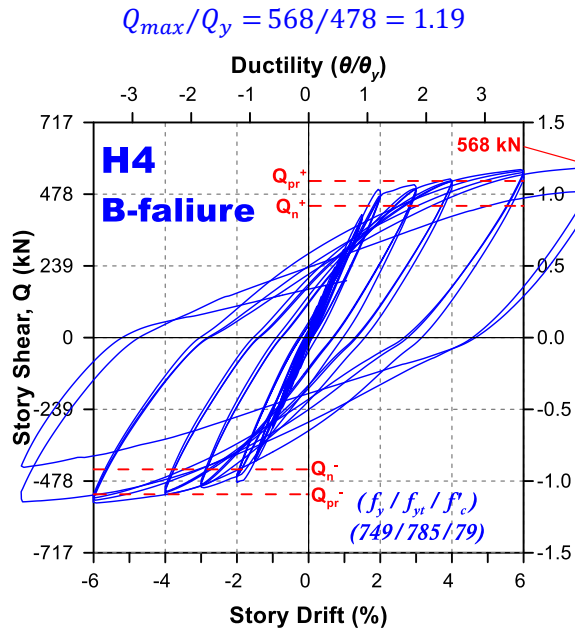


$$Q_{max}/Q_y = 506/494 = 1.02$$



# Group H

$$(f_y/f_{yt}/f'_c)=(690/690/69)$$





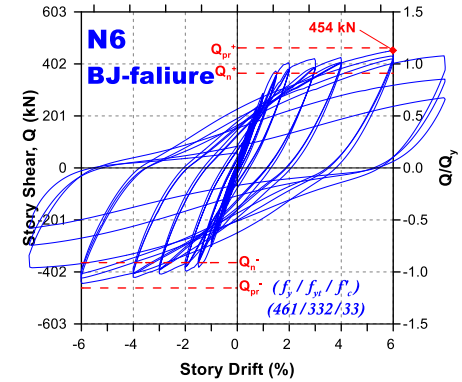
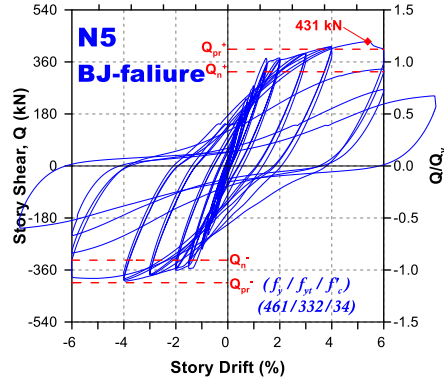
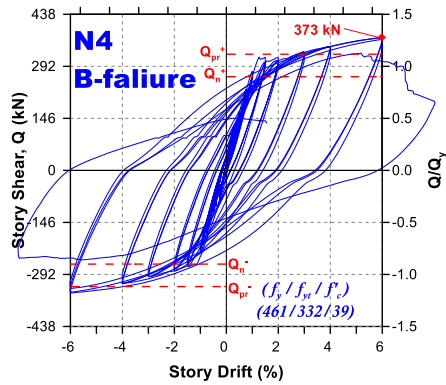
# Global cyclic loading response

National Yunlin University of Science and Technology

$(f_y/f_{yt}/f'_c)$

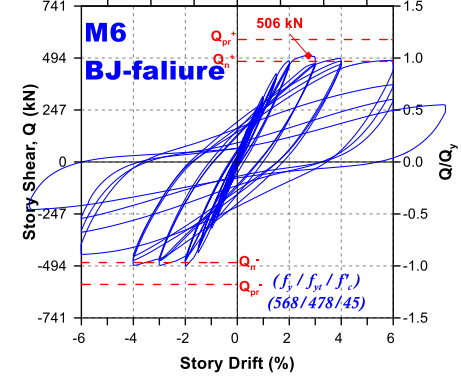
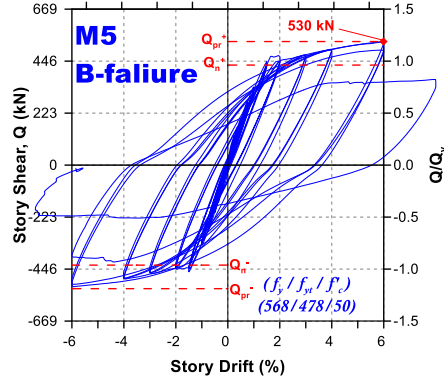
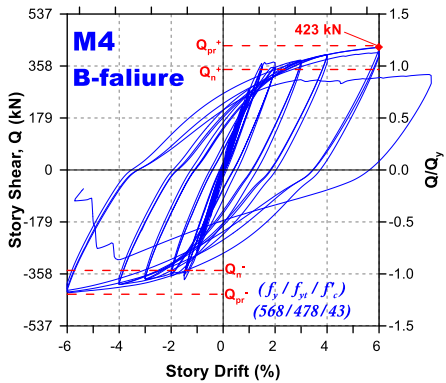
**N 組**

(420/280/28)



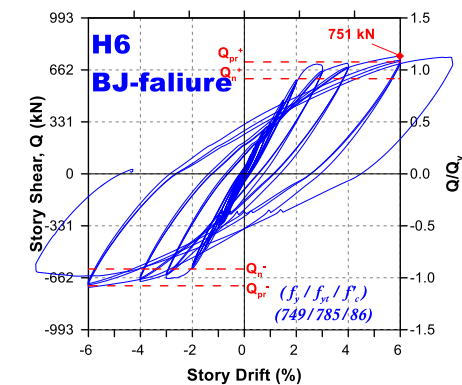
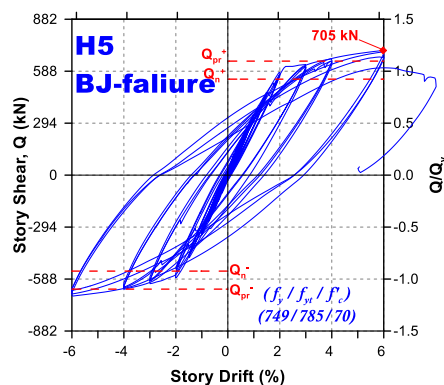
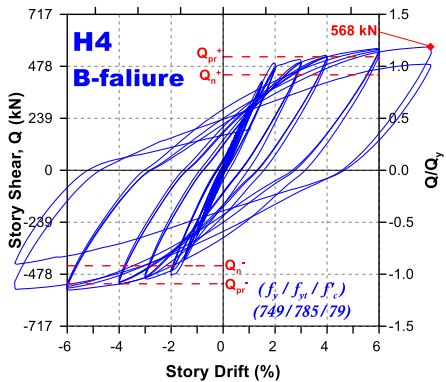
**M 組**

(550/420/42)



**H 組**

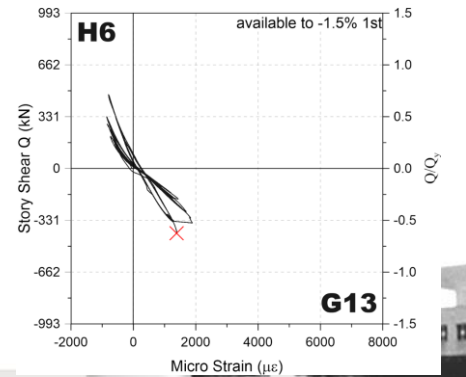
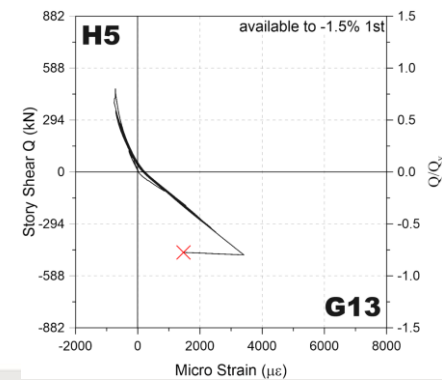
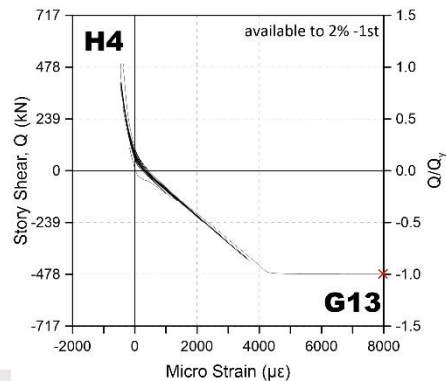
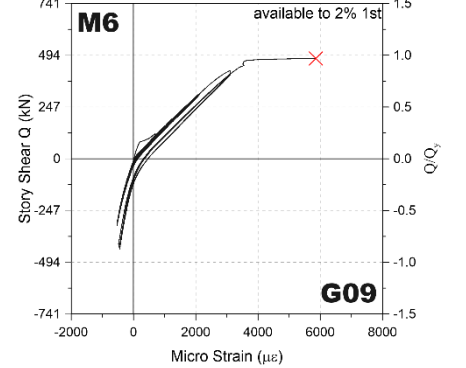
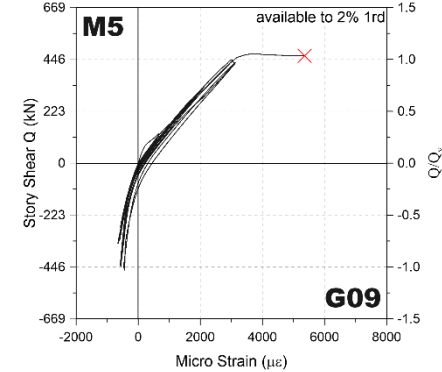
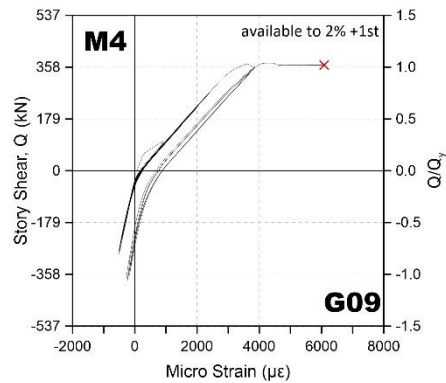
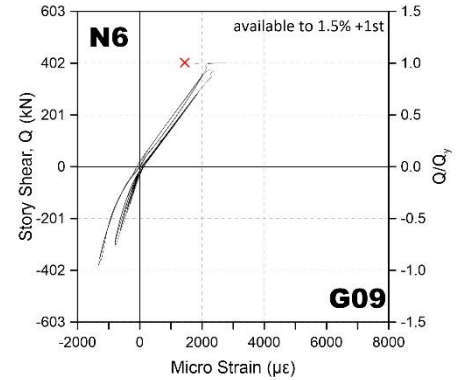
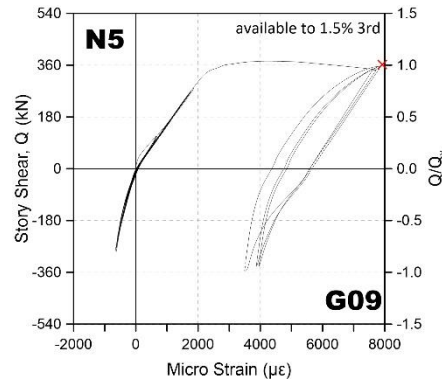
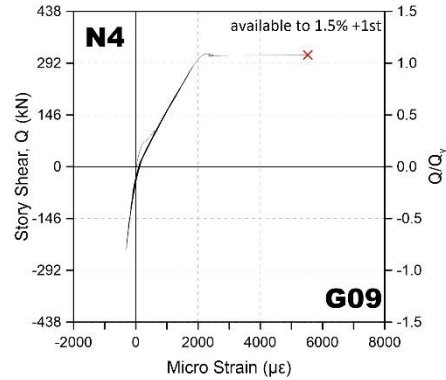
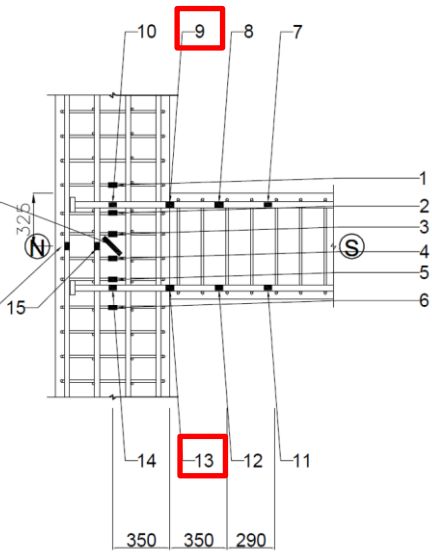
(690/690/69)



# 低軸力 ( $P = 0.10A_g f'_c$ ) 試體之試驗結果

Parameter ( $f_y/f_{yt}/f'_c$ )	ID	$\frac{V_u}{V_n}$	Design Failure Mode	$f'_c$	$Q_{max}$ (kN)	$\frac{f_{y,m}}{f_y}$	$\frac{Q_{max}}{Q_n}$	$\frac{Q_{max}}{Q_y}$	$\frac{Q_{max}}{Q_{pr}}$	$\frac{V_{jh,m}}{b_c \times h_c \times \sqrt{f'_c}}$	Test Failure Mode
N (420/280/28) $\alpha_o=1.25$	N4	0.81	B	39	373	1.11	1.42	<b>1.28</b>	1.14	0.81	B
	N5	1.01	BJ	34	431		1.32	<b>1.20</b>	1.07	1.00	BJ
	N6	1.23	J	33	454		1.24	<b>1.13</b>	0.98	1.08	BJ
M (550/420/42) $\alpha_o=1.25$	M4	0.86	B	43	423	1.03	1.22	<b>1.18</b>	0.99	0.88	B
	M5	1.08	BJ	50	530		1.24	<b>1.19</b>	1.00	1.01	B
	M6	1.31	J	45	506		1.06	<b>1.02</b>	<b>0.87</b>	1.03	<b>BJ</b>
H (690/690/69) $\alpha_o=1.20$	H4	0.81	B	79	568	1.09	1.29	<b>1.19</b>	1.09	0.87	B
	H5	1.01	BJ	70	705		1.30	<b>1.20</b>	1.09	1.14	BJ
	H6	1.23	J	86	751		1.24	<b>1.14</b>	1.05	1.10	BJ

# Local strain gauge readings





# Cons for $\ell_{dt}$ inclusio

$$\frac{A_{sh}}{sb_c} \geq 0.3 \frac{f'_c}{f_{yt}} \left( \frac{A_g}{A_{ch}} - 1 \right)$$

$$\frac{A_{sh}}{sb_c} \geq 0.09 \frac{f'_c}{f_{yt}}$$

For Grade **60, 80, and 100** headed bars in SMF joints with

- (a) #11 (36-mm) bars having  $A_{brg}/A_b \approx 5.3$
- (b) Joint transverse reinforcement conforming to ACI 318 Table 18.7.5.4(a)(b)
- (c) Column subjected to an axial force of  $0.10A_g f'_c$  at least

ACI 318-14 25.4.4.2

$$\ell_{dt} = \left( \frac{0.016 f_y \psi_e}{\sqrt{f'_c}} \right) d_b$$

psi unit

can be used with satisfactory anchorage performance

$$\ell_{dt} = \left( \frac{0.06 f_y \psi_e}{\sqrt{f'_c}} \right) d_b$$

kgf/cm<sup>2</sup> unit

ACI 318-19 18.8.5.2 For headed deformed bars satisfying 20.2.1.6, development in tension shall be in accordance with 25.4.4, by substituting a bar stress of **1.25fy** for **fy**.

$$\ell_{dt} = \left( \frac{1.25 f_y \psi_e \psi_p \psi_o \psi_c}{75 \sqrt{f'_c}} \right) d_b^{1.5}$$

psi unit

may be too conservative and shall be reviewed.

$$\ell_{dt} = \left( \frac{1.25 f_y \psi_e \psi_p \psi_o \psi_c}{32 \sqrt{f'_c}} \right) d_b^{1.5}$$

kgf/cm<sup>2</sup> unit



# 我國新版規範18章(耐震特別條款)

**18.5.5.2** 符合第20.2.1.6節和25.4.4.1節規定之擴頭竹節鋼筋，其受拉伸展長度 $l_{dt}$ 應至少為式(18.5.5.1)、 $8d_b$ 與15 cm之大值，且若擴頭鋼筋終止於符合第18.4.5.2節至18.4.5.4節橫向鋼筋圍束的構件自由端或符合第18.5.3節橫向鋼筋圍束之接頭核心內，則鋼筋間最小中心距允許降低至 $2.5d_b$ ，柱鋼筋最小淨保護層允許降低至 $1.5d_b$ 。

規範	ACI 318-14規範 我國新版規範(土木 401-110)
第18章 SMF接 頭內梁主 筋擴頭伸 展長度	$l_{dt} = \left( \frac{0.06f_y\psi_e}{\sqrt{f'_c}} \right) d_b$

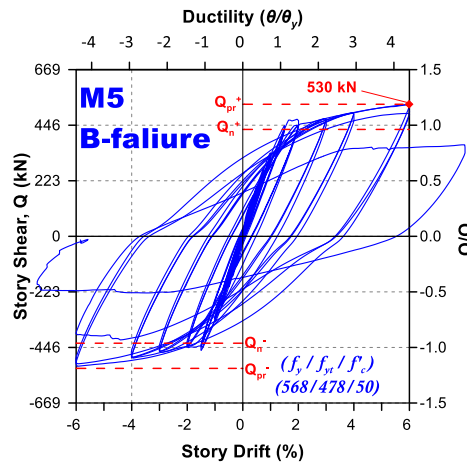
彎鉤(擴頭)受拉伸展長度 (kgf-cm單位)

Ldt	Bar	#6	#7	#8	#9	#10	#11
fy	f'c	D19	D22	D25	D29	D32	D36
4200	280	29	33	38	43	48	54
4200	350	26	30	34	39	43	48
4200	420	23	27	31	35	40	44
4200	560	20	24	27	31	34	38
4200	700	18	21	24	27	31	34
5600	280	38	45	51	58	65	72
5600	350	34	40	46	52	58	64
5600	420	31	36	42	47	53	59
5600	560	27	32	36	41	46	51
5600	700	24	28	32	36	41	45

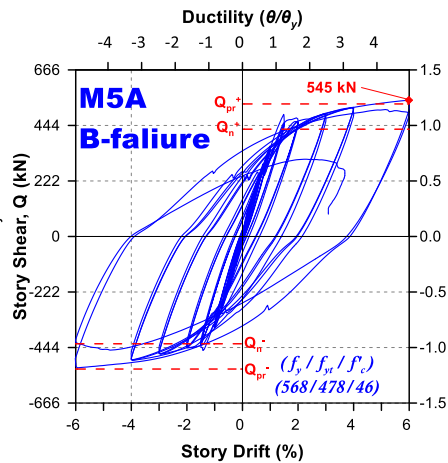
彎鉤伸展長度  $l_{dh} = \left( \frac{0.06f_y\psi_e}{\sqrt{f'_c}} \right) d_b$

# M5 & M5A / M6 & M6A ( $f_y=550 \text{ MPa}$ )

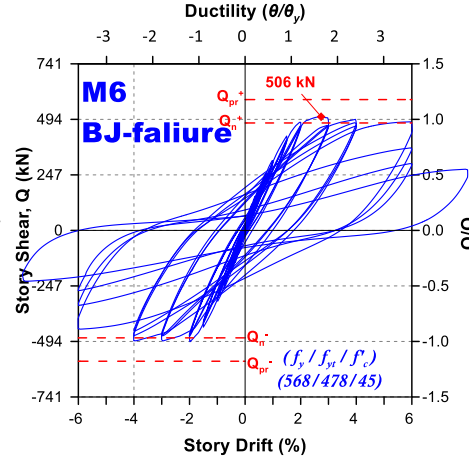
$$Q_{max}/Q_y = 530/446 = 1.19$$



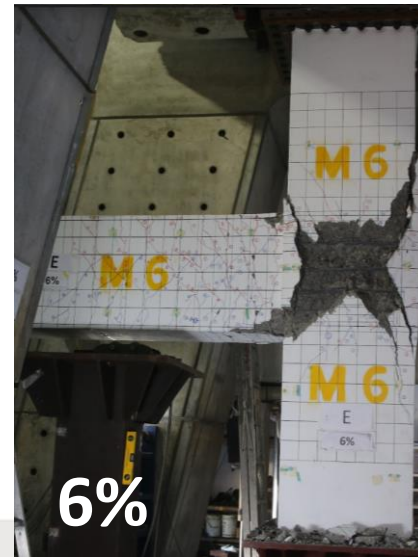
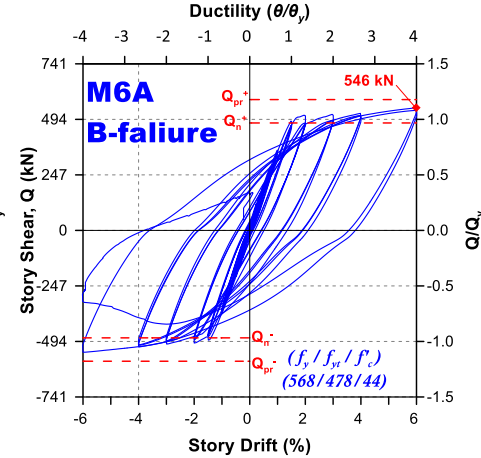
$$Q_{max}/Q_y = 545/444 = 1.23$$



$$Q_{max}/Q_y = 506/494 = 1.02$$

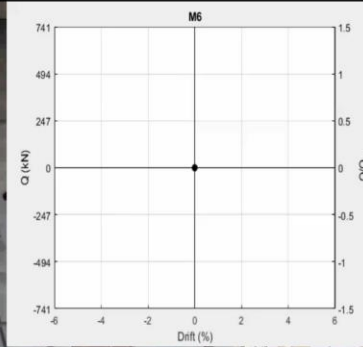


$$Q_{max}/Q_y = 546/494 = 1.11$$



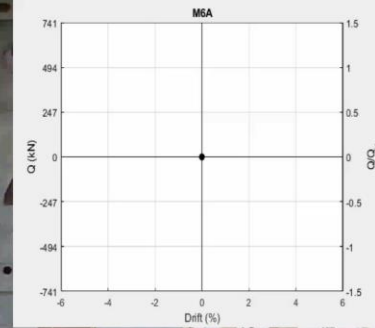
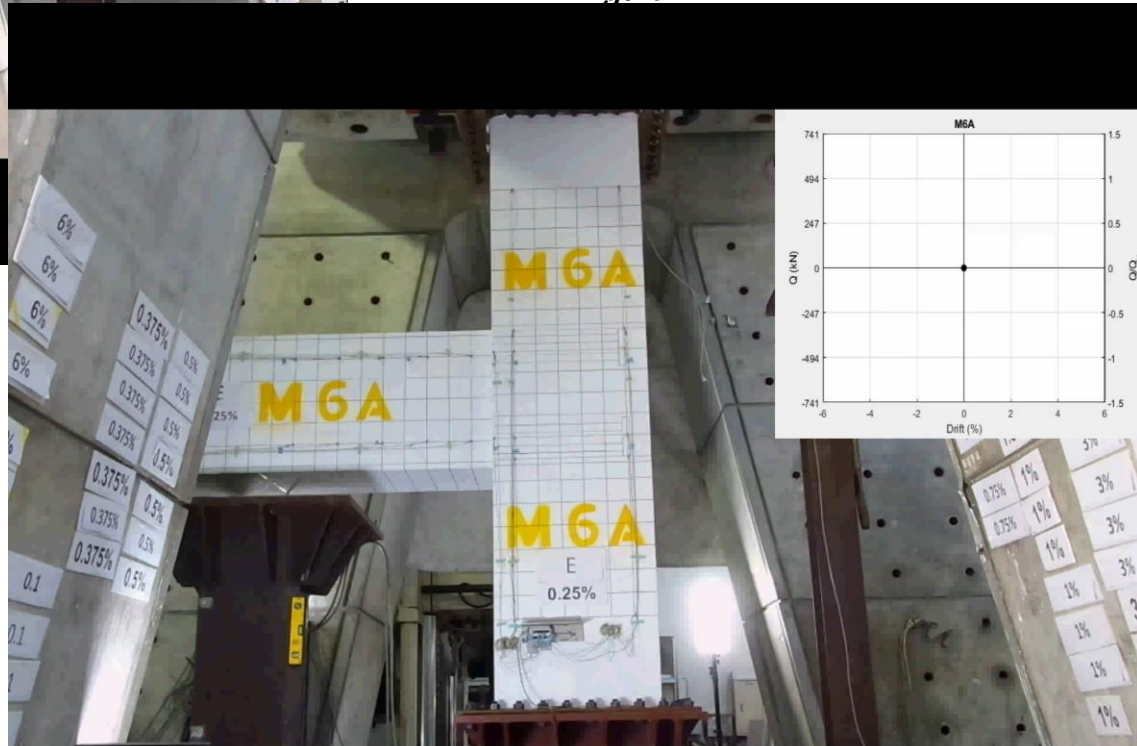
# 提高軸力對接頭之影響 M6 vs. M6A

$(f_y = 550 \text{ MPa})$



$$0.45A_g f'_c$$

$$0.10A_g f'_c$$





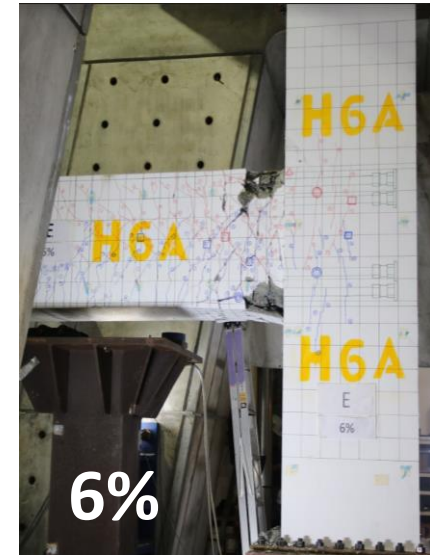
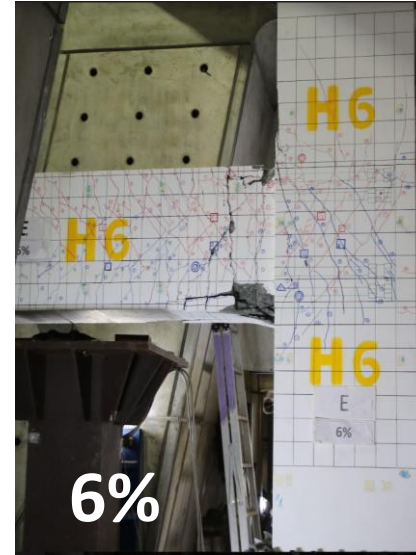
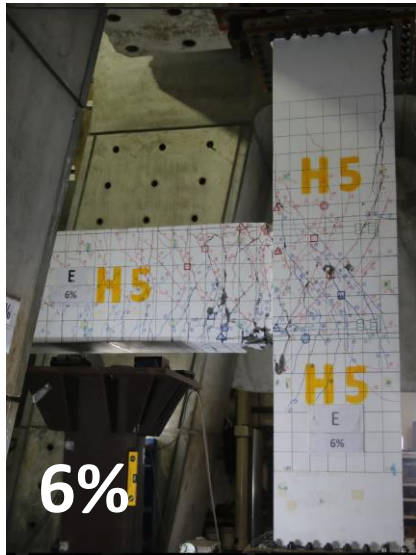
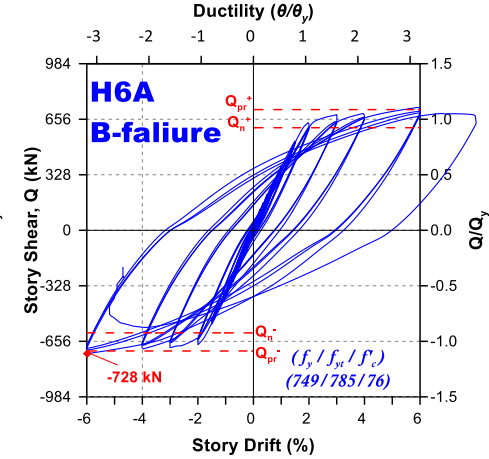
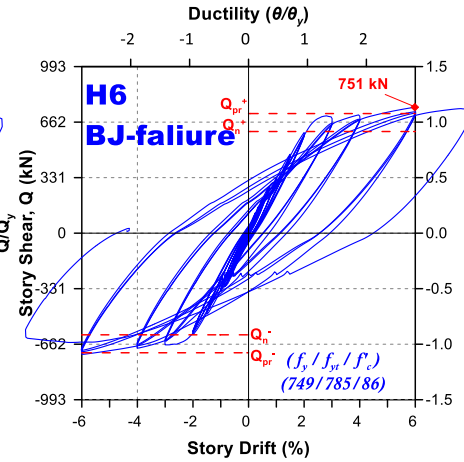
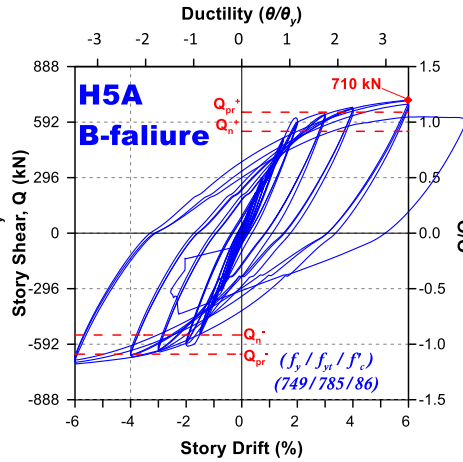
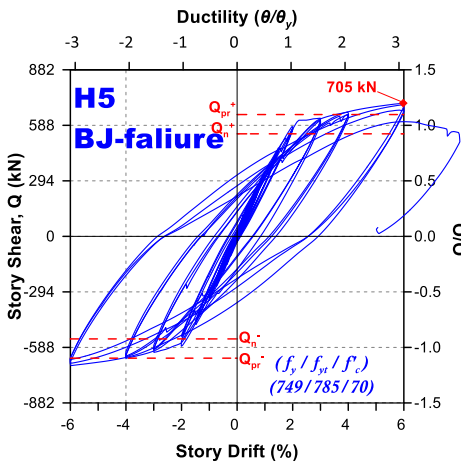
# H5 & H5A / H6 & H6A ( $f_y=690$ MPa)

$$Q_{max}/Q_y = 705/587 = 1.20$$

$$Q_{max}/Q_y = 710/592 = 1.20$$

$$Q_{max}/Q_y = 751/662 = 1.14$$

$$Q_{max}/Q_y = 728/656 = 1.11$$





# 高低軸力試體之試驗結果比較

Parameter Group	ID	$\frac{V_u}{V_n}$	Design Failure Mode	$f'_c$	$Q_{max}$ (kN)	$\frac{f_{y,m}}{f_y}$	$\frac{Q_{max}}{Q_n}$	$\frac{Q_{max}}{Q_y}$	$\frac{Q_{max}}{Q_{pr}}$	$\frac{V_{jh,m}}{b_c \times h_c \times \sqrt{f'_c}}$	Test Failure Mode
M ( $\alpha_o=1.25$ )	M5	1.08	BJ	50	530	1.03	1.24	<b>1.19</b>	1.00	1.01	B
	<b>M5A</b>		BJ→B	46			545	1.27	<b>1.23</b>	1.03	1.09
	M6	1.31	J	45	506		1.06	<b>1.02</b>	<b>0.87</b>	1.03	<b>BJ</b>
	<b>M6A</b>		J→BJ	44	546		1.14	<b>1.11</b>	0.94	1.11	B
H ( $\alpha_o=1.20$ )	H5	1.01	BJ	70	705	1.09	1.30	<b>1.20</b>	1.09	1.14	BJ
	<b>H5A</b>		BJ→B	86			710	1.31	<b>1.20</b>	1.10	1.04
	H6	1.23	J	86	751		1.24	<b>1.14</b>	1.05	1.10	BJ
	<b>H6A</b>		J→BJ	76	728		1.20	<b>1.11</b>	1.02	1.13	B

# 塑鉸區橫向鋼筋用量(18.4.5.4)

表18.4.5.4

橫向鋼筋	條件	適用表達式		
直線型閉合箍筋之 $A_{sh}/sb_c$	$P_u \leq 0.3A_g f'_c$ 與 $f'_c \leq 700 \text{ kgf/cm}^2$	(a)與(b)之較大值	$0.3 \left( \frac{A_g}{A_{ch}} - 1 \right) \frac{f'_c}{f_{yt}}$	(a)
			$0.09 \frac{f'_c}{f_{yt}}$	(b)
	$P_u > 0.3A_g f'_c$ 或 $f'_c > 700 \text{ kgf/cm}^2$	(a)、(b)與(c)之最大值	$0.2k_f k_n \frac{P_u}{f_{yt} A_{ch}}$	(c)
螺箍筋或圓形閉合 箍筋 $\rho_s$	$P_u \leq 0.3A_g f'_c$ 與 $f'_c \leq 700 \text{ kgf/cm}^2$	(d)與(e)之較大值	$0.45 \left( \frac{A_g}{A_{ch}} - 1 \right) \frac{f'_c}{f_{yt}}$	(d)
			$0.12 \frac{f'_c}{f_{yt}}$	(e)
	$P_u > 0.3A_g f'_c$ 或 $f'_c > 700 \text{ kgf/cm}^2$	(d)、(e)與(f)之最大值	$0.35k_f \frac{P_u}{f_{yt} A_{ch}}$	(f)

(c)(f)不適用接頭

實驗證明  
OK

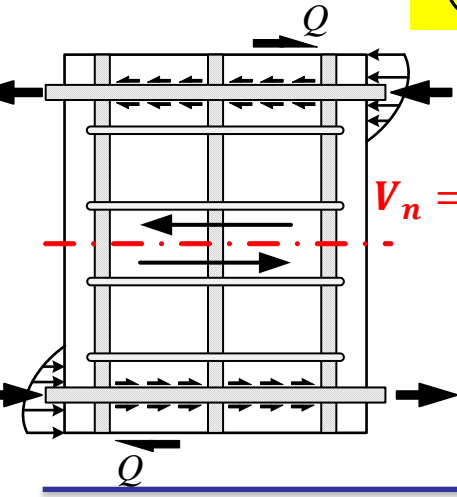
# 簡報大綱

- 我國規範修訂之背景說明
- 接頭最小深度 (土木401-112 18.5.2)
- 接頭橫向鋼筋 (土木401-112 18.5.3)
- 接頭剪力強度 (土木401-112 18.5.4)
- 受拉錨定長度 (土木401-112 18.5.5)
- 結語



# Concluding remarks

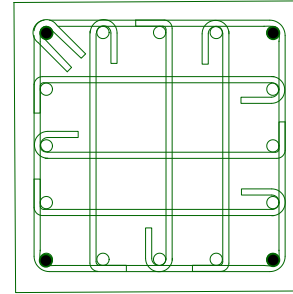
## ② Shear strength      ① Confinement



$$V_u = T + C - Q$$

$$V_n = \left( k + \frac{P_u}{A_g f'_c} \right) \sqrt{\frac{h_c}{h_b}} \sqrt{f'_c A_j}$$

## ① Confinement

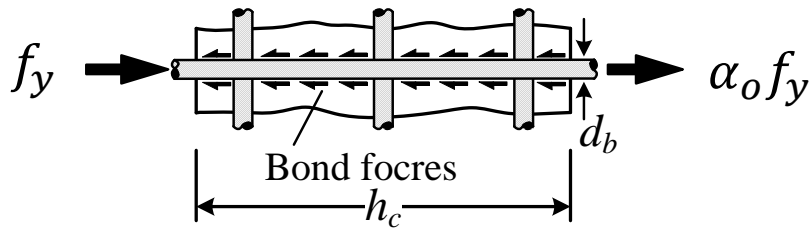


$$\frac{A_{sh}}{s b_c} \geq 0.3 \frac{f'_c}{f_{yt}} \left( \frac{A_g}{A_{ch}} - 1 \right)$$

$$\frac{A_{sh}}{s b_c} \geq 0.09 \frac{f'_c}{f_{yt}}$$

$$f_{yt} \leq 8000 \text{ kgf/cm}^2$$

## ③ Min. joint depth



$$h_c = \frac{1}{40} \frac{f_y}{\sqrt{f'_c}} d_b \geq 24 d_b \quad (\text{psi unit})$$

$$h_c = \frac{1}{10.6} \frac{f_y}{\sqrt{f'_c}} d_b \geq 24 d_b \quad (\text{kgf/cm}^2 \text{ unit})$$

## ④ Anchorage

$$l_{at} \geq \frac{0.06 f_y d_b}{\sqrt{f'_c}} \quad (\text{kgf/cm}^2)$$

$$\geq 8 d_b$$

$$\geq 150 \text{ mm}$$

$$\geq \underline{0.75 h_c}$$

最小間距  $2.5 d_b$

$$\sqrt{f'_c} \leq \sqrt{1000 \text{ kgf/cm}^2}$$

避免3%層間變位角發生嚴重滑移

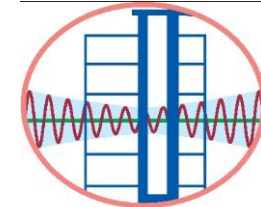


Thanks for your attention

- Questions?



2022 @ NCREE



NCREE



RUENTEX

簡報結束  
敬請指教



 **NSTC** 國家科學及技術委員會  
National Science and Technology Council

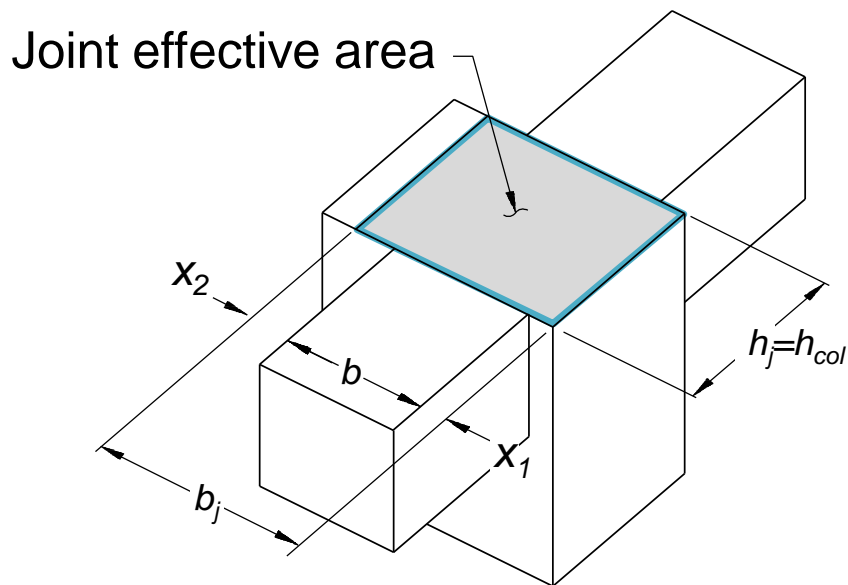


# Effective Joint Area

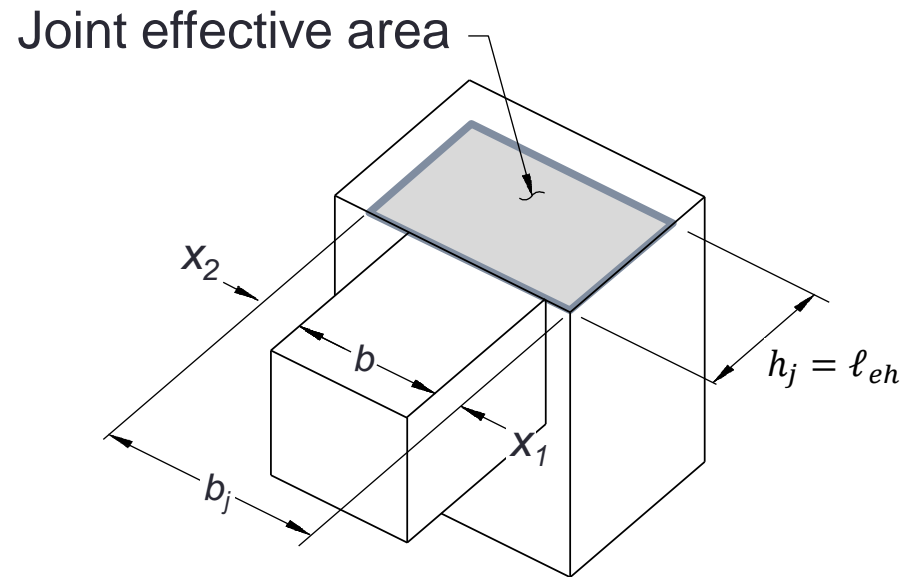
$$b_j = b + x_1 + x_2 \leq b_{col}$$

$$A_j = b_j \cdot h_j$$

其中 $x_1$ 及 $x_2$ 分別為梁兩邊至柱邊之距離(圖6.3)，代入上式計算時， $x_1$ 或 $x_2$ 值不得超過 $h_{col}/4$ 。[黃世建等人(2014)]



(a) 梁主筋貫穿梁柱接頭,  $h_j = h_{col}$



(b) 梁主筋錨定於接頭內,  $h_j = l_{eh}$

除非梁主筋之錨定長度皆超過3/4柱深度以上，  
接頭有效深度 $h_j$ 得為柱深度 $h_{col}$



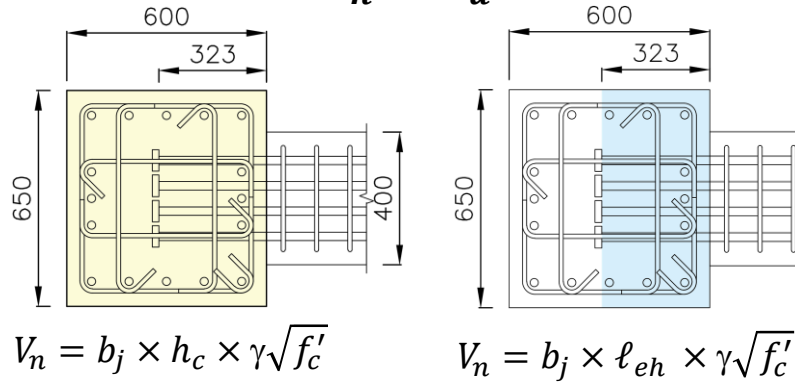
<i>Authors</i>	<i>Joint</i>	$f'_{c,m}$ (MPa)	$f_{y,m}$ (MPa)	$d_b$ (mm)	$\ell_{eh}$ (mm)	<i>Failure Mode</i>
Yoshida et al. (2000)	No. 1	38	562	19.1	263	J
	No. 2	38	562	19.1	263	J
	No. 3	31	562	19.1	263	J
Takeuchi et al. (2001)	O-2	61	586	25.4	267	BJ
Kiyohara et al. (2004)	No. 1	95	707	28.7	365	BJ
	No. 2	148	707	28.7	365	J
	No. 3	44	707	28.7	365	BJ
	No. 4	95	707	28.7	460	BJ
	No. 5	95	707	28.7	275	BJa
Lin et al. (2010)	T7	47	448	25.4	528	B
	T9	49	448	25.4	528	B
	T8	50	448	25.4	309、216	BJa
Lin et al. (2012)	TT1	50	465	25.4	309、216	BJa
	TT2	54	465	25.4	450、380	B
	TT3	50	465	25.4	309、309	B
Lin et al. (2014)	A318S1	36	456	25.4	358	BJ
	A318S2	45	456	25.4	358	BJ
	A318S3	51	456	25.4	358	BJ
	A352S1	43	456	25.4	323	BJa
	A352S2	39	456	25.4	323	BJa
	AAJS1	39	456	25.4	440	BJ
Lin et al. (2016)	LAMV	81	709	25.4	400	B
	HAMV	84	709	25.4	400	B
	LAHV	94	709	25.4	400	BJ
	HAHV	90	709	25.4	400	B
Lin et al. (2020)	JE1	50	494(#8)、483(#10)	25.4、32.2	500、400	B
	JE2	48	595	25.4	500、400	B
	JE3	43	595	25.4	400	B
Lee et al. (2023)	N4	39	462	35.8	580	B
	N5	34	462	35.8	580	BJ
	N6	33	462	35.8	580	BJ
	M4	43	568	35.8	580	B
	M5	50	568	35.8	580	B
	M5A	46	568	35.8	580	B
	M6	44	568	35.8	580	BJ
	M6A	44	568	35.8	580	B
	H4	79	749	35.8	580	B
	H5	70	749	35.8	580	BJ
	H5A	86	749	35.8	580	B
	H6	86	749	35.8	580	BJ
	H6A	76	749	35.8	580	B
	Ou et al. (2023)	NEBC	47	745	35.8	937



# Coordinate of Exterior Beam-Column Joints

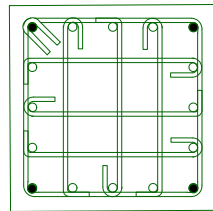
## Shear strength

$$\Phi V_n > V_u$$



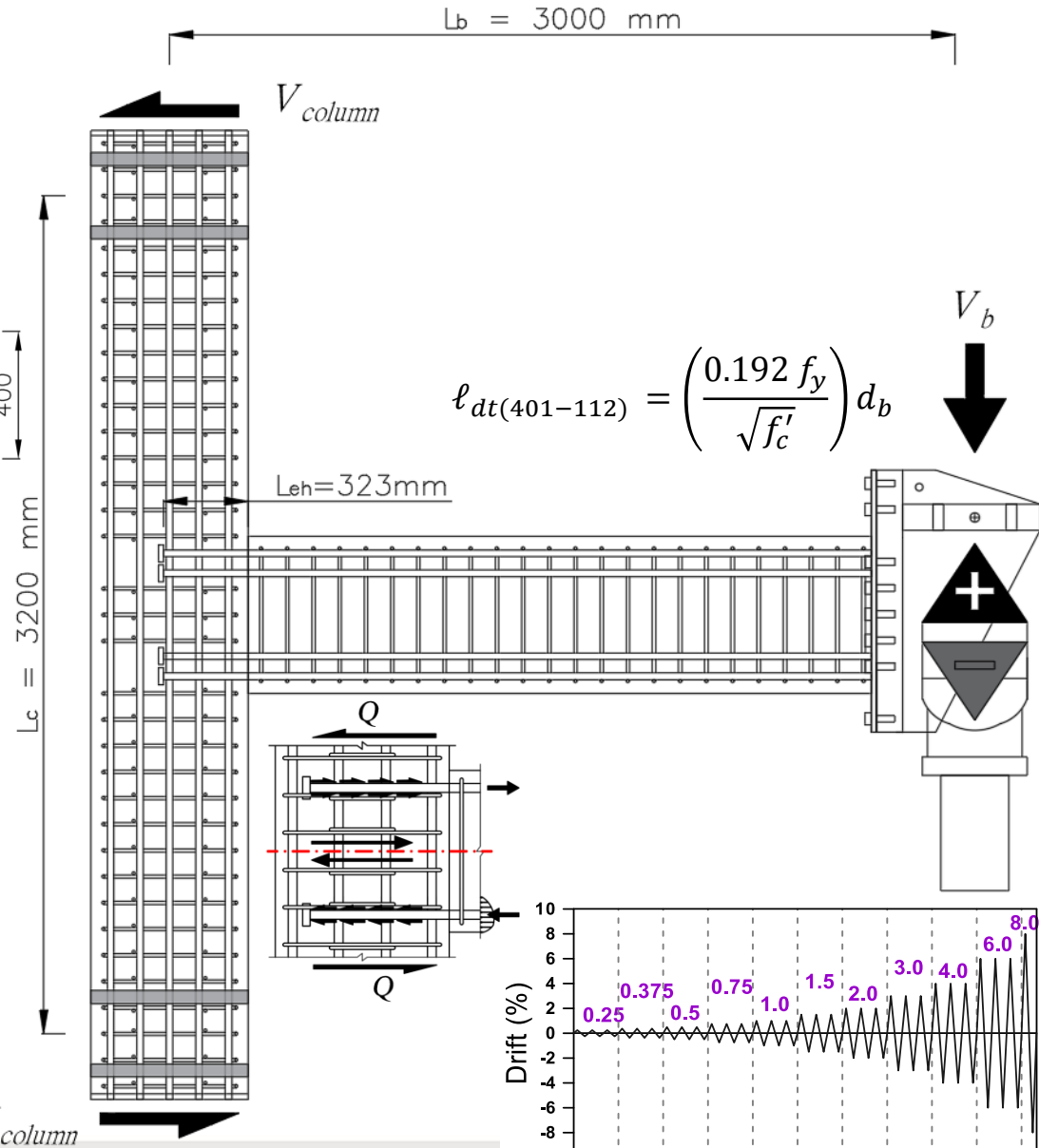
## Confinement

$$A_{sh,ratio} = \frac{A_{sh,pro}}{A_{sh,req}}$$

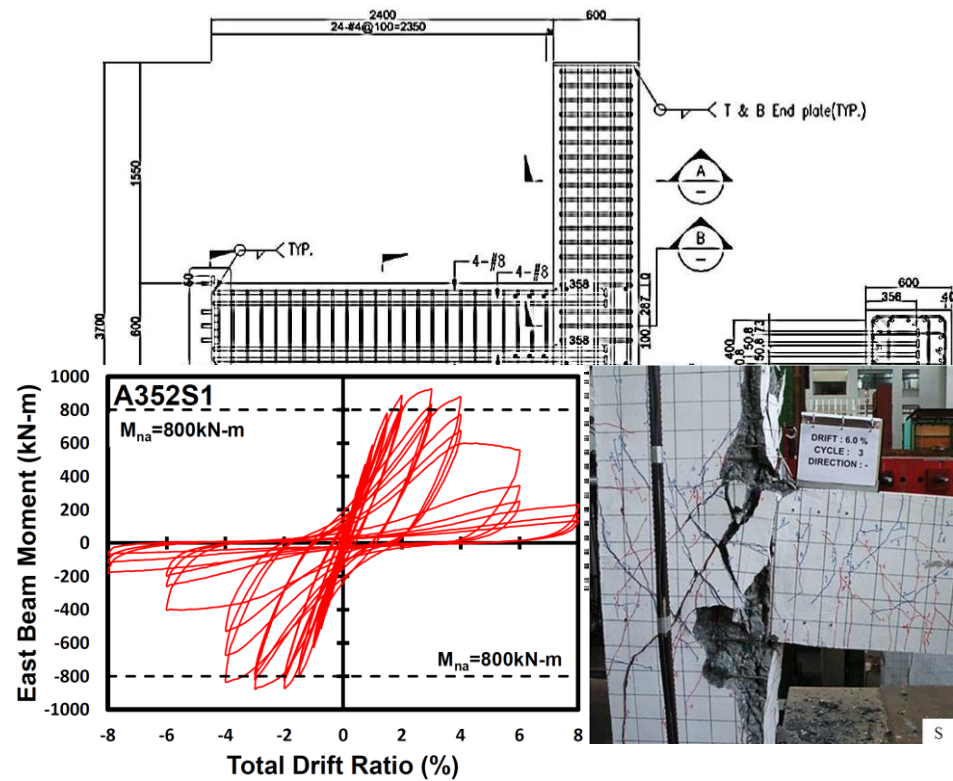
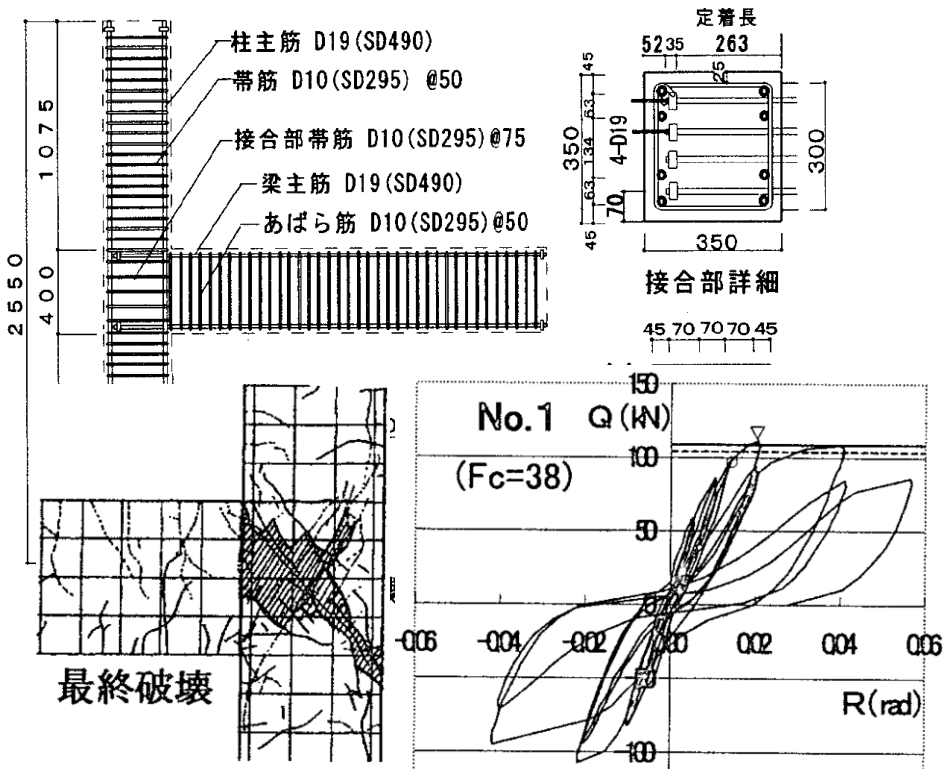


$$A_{sh,req} = \max \left\{ \begin{array}{l} 0.3 \left( \frac{A_g}{A_{ch}} - 1 \right) \frac{f'_c}{f_{yt}} \times s b_c \\ 0.09 \frac{f'_c}{f_{yt}} \times s b_c \end{array} \right.$$

$V_{column}$

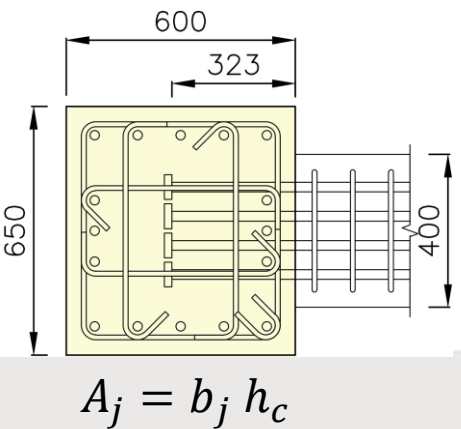
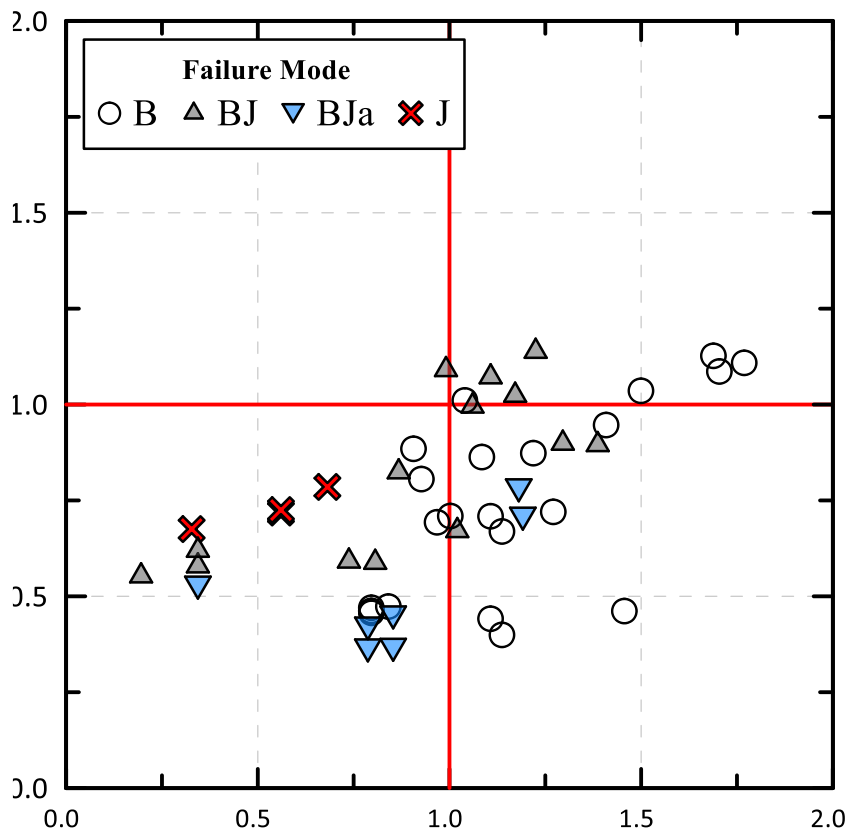
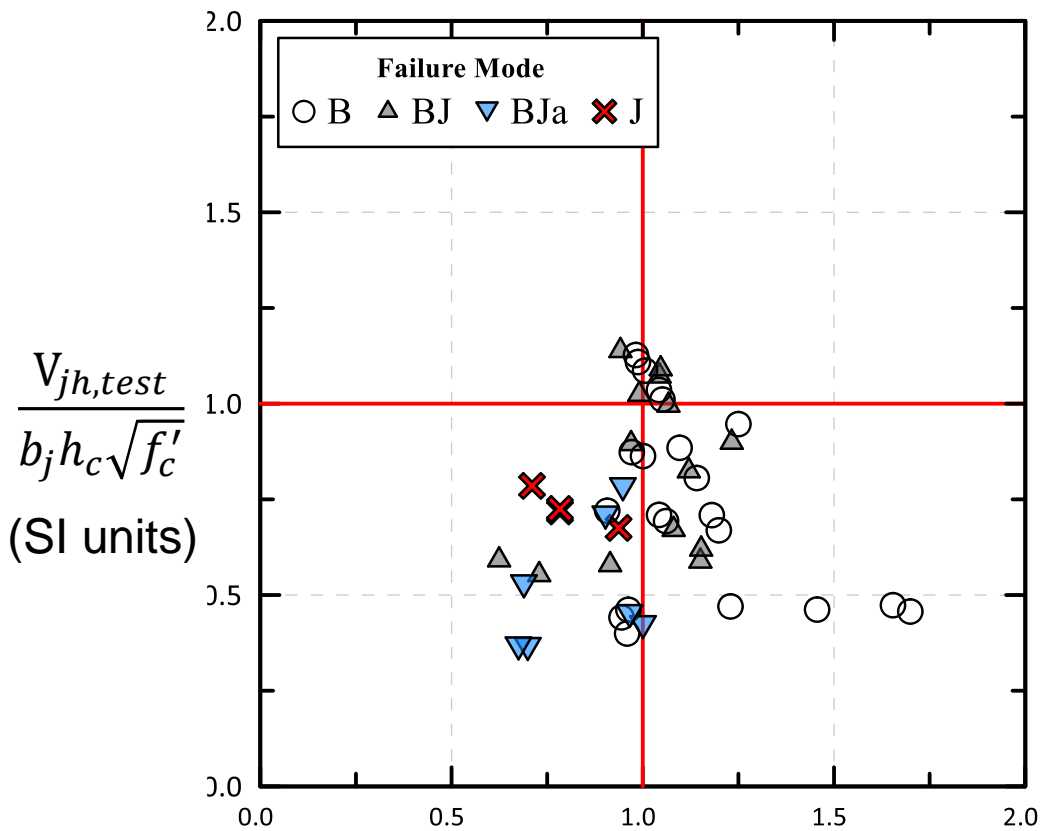


# 梁柱接頭接頭剪力與圍束試算



<i>Authors</i>	<i>Joint</i>	$f'_{c,m}$ (MPa)	$f_{y,m}$ (MPa)	$f_{yt,m}$ (MPa)	$\ell_{eh}$ (mm)	$\ell_{dt,m(401-112)}$ (mm)	$\frac{\ell_{eh}}{\ell_{dt,m(401-112)}}$	$\frac{A_{sh,pro}}{A_{sh,req}}$	<i>Failure Mode</i>
Yoshida et al. (2000)	No. 1	38	562	855	263	336	0.78	0.56	J
Lin et al. (2014)	A352S1	43	456	490	323	341	0.95	1.19	BJa

# 全試體47點之測試參數與破壞模式關係 (I)



$l_{eh} / l_{dt,m} (401-112)$

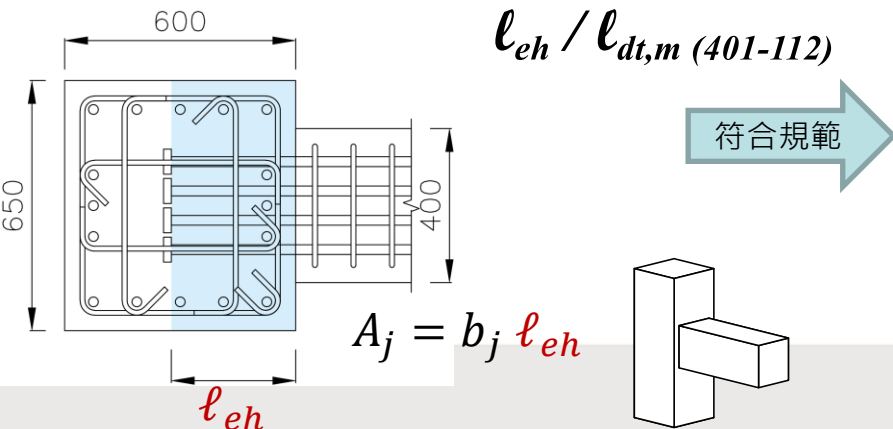
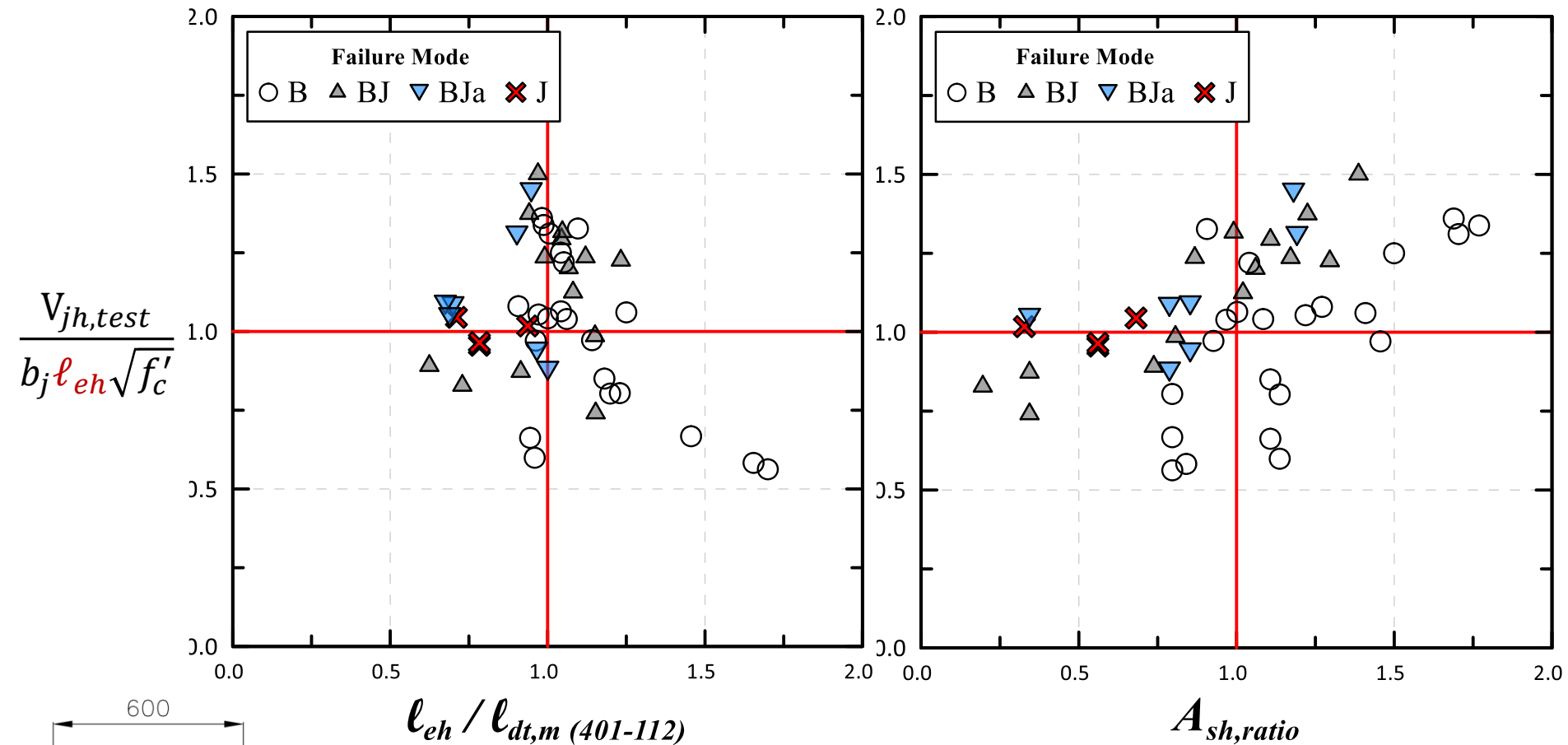
符合規範

$A_{sh,ratio}$

符合規範

$$\frac{A_{sh}}{s b_c} \geq \max \left\{ \begin{array}{l} 0.3 \left( \frac{A_g}{A_{ch}} - 1 \right) \frac{f'_c}{f_{yt}} \\ 0.09 \frac{f'_c}{f_{yt}} \end{array} \right.$$

# 全試體47點之測試參數與破壞模式關係 (II)

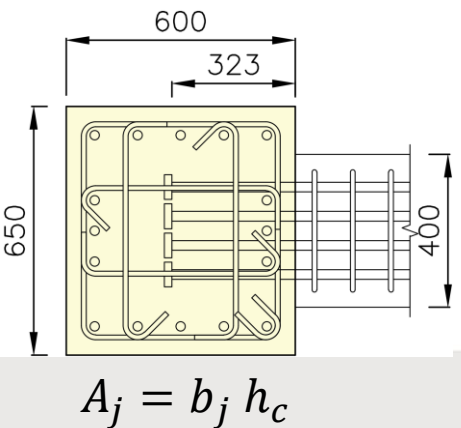
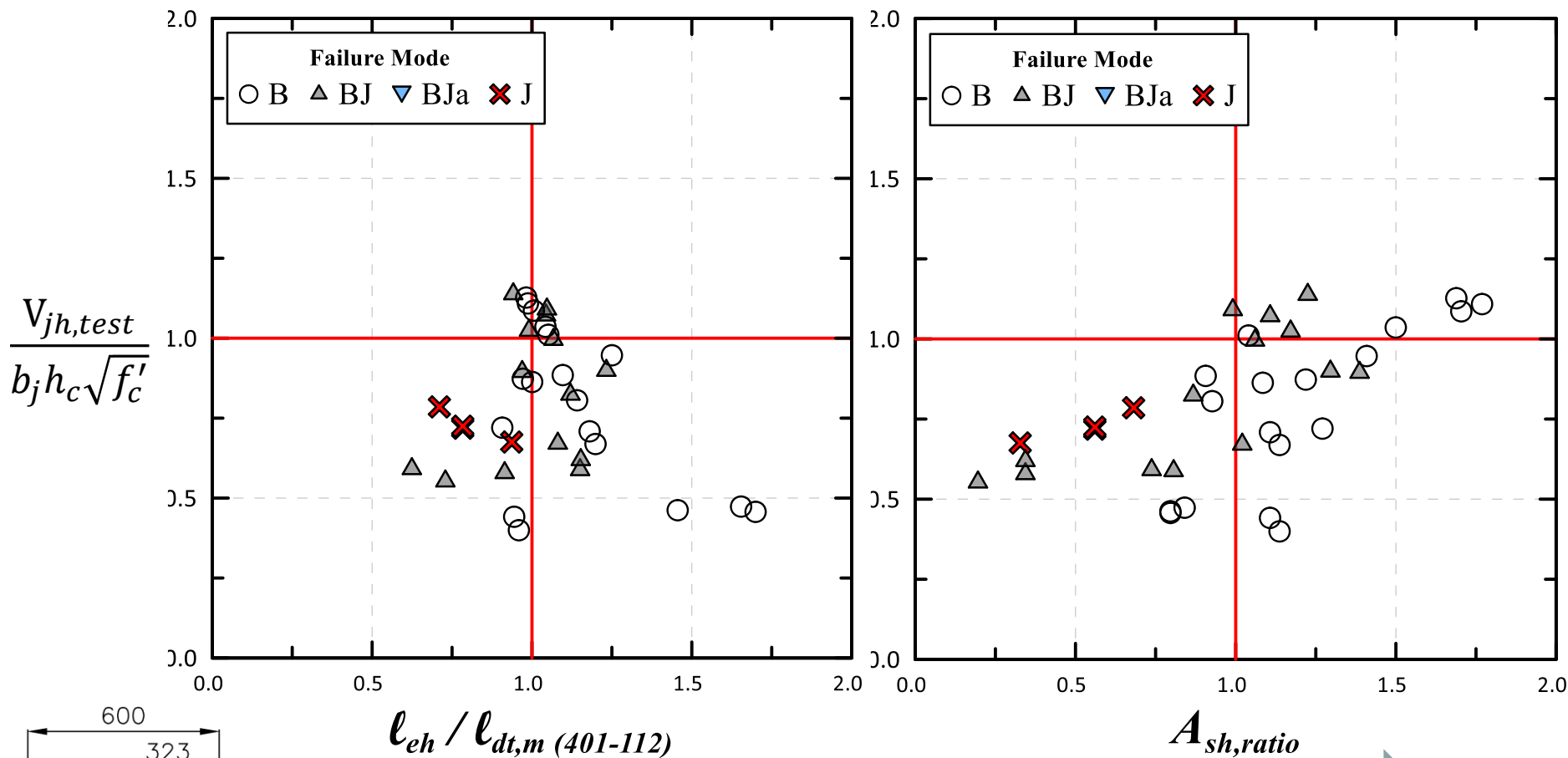


符合規範

$$\frac{A_{sh}}{s b_c} \geq \max \left\{ \begin{array}{l} 0.3 \left( \frac{A_g}{A_{ch}} - 1 \right) \frac{f'_c}{f_{yt}} \\ 0.09 \frac{f'_c}{f_{yt}} \end{array} \right.$$



# $l_{eh} > d/1.5$ 之試體測試參數與破壞模式分布圖



$l_{eh} / l_{dt,m} (401-112)$

符合規範

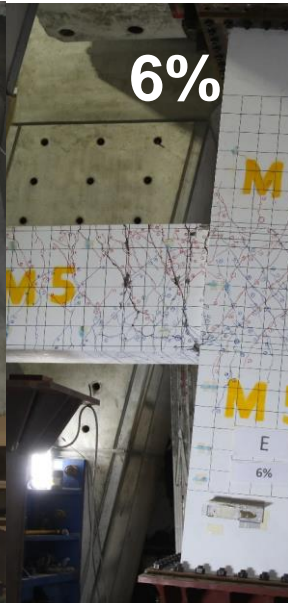
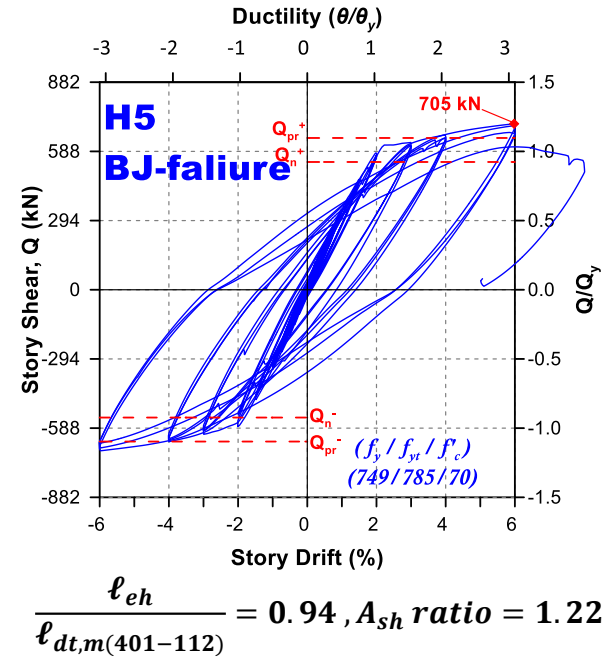
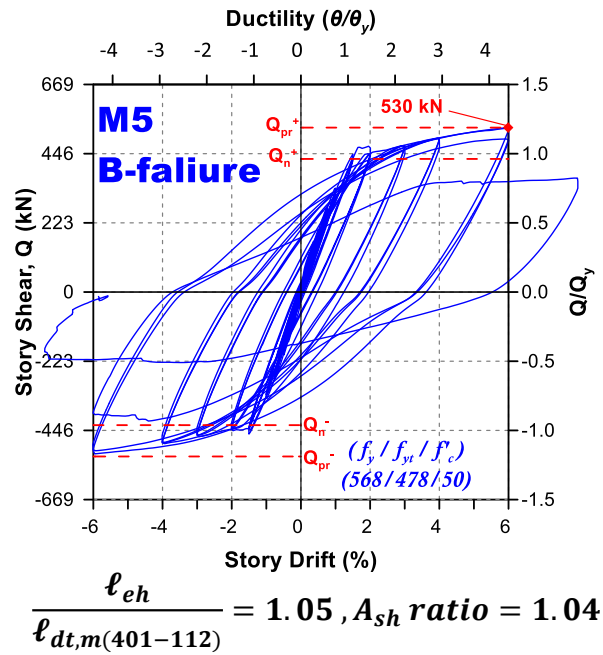
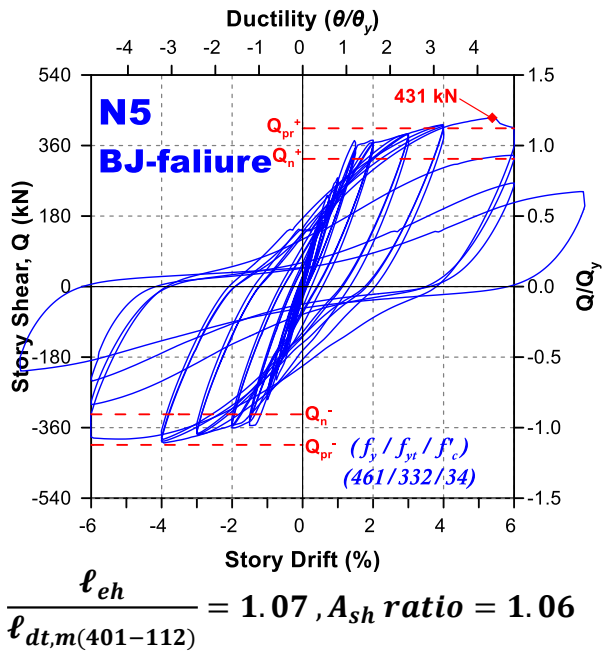
$A_{sh,ratio}$

符合規範

建議  $l_{eh}$  至少  $3/4$  柱深度 (則  $h_j = h_c$ )  
 若短於  $3/4$  柱深度, 亦不得少於  $d/1.5$   
 並修正接頭有效抗剪深度  $h_j = l_{eh}$

$$\frac{A_{sh}}{s b_c} \geq \max \left\{ \begin{array}{l} 0.3 \left( \frac{A_g}{A_{ch}} - 1 \right) \frac{f'_c}{f_{yt}} \\ 0.09 \frac{f'_c}{f_{yt}} \end{array} \right.$$

# 擴頭鋼筋梁柱接頭試驗 N5、M5、H5



# 我國新版規範18章(耐震特別條款)

**18.5.5.2** 符合第20.2.1.6節和25.4.4.1節規定之擴頭竹節鋼筋，其受拉伸展長度 $l_{dt}$ 應至少為式(18.5.5.1)、 $8d_b$ 與15 cm之大值，且若擴頭鋼筋終止於符合第18.4.5.2節至18.4.5.4節橫向鋼筋圍束的構件自由端或符合第18.5.3節橫向鋼筋圍束之接頭核心內，則鋼筋間最小中心距允許降低至 $2.5d_b$ ，柱鋼筋最小淨保護層允許降低至 $1.5d_b$ 。

規範	ACI 318-14規範 我國新版規範(土木 401-110)
第18章 SMF接 頭內梁主 筋擴頭伸 展長度	$l_{dt} = \left( \frac{0.06f_y\psi_e}{\sqrt{f'_c}} \right) d_b$

彎鉤(擴頭)受拉伸展長度 (kgf-cm單位)

Ldt	Bar	#6	#7	#8	#9	#10	#11
fy	f'c	D19	D22	D25	D29	D32	D36
4200	280	29	33	38	43	48	54
4200	350	26	30	34	39	43	48
4200	420	23	27	31	35	40	44
4200	560	20	24	27	31	34	38
4200	700	18	21	24	27	31	34
5600	280	38	45	51	58	65	72
5600	350	34	40	46	52	58	64
5600	420	31	36	42	47	53	59
5600	560	27	32	36	41	46	51
5600	700	24	28	32	36	41	45

彎鉤伸展長度  $l_{dh} = \left( \frac{0.06f_y\psi_e}{\sqrt{f'_c}} \right) d_b$